

В.И. Каширин

**Программа РОС:
расчет и оценка качества
оптических систем**

Взгляд изнутри

Екатеринбург, 2019

СОДЕРЖАНИЕ

Предисловие

Введение

I. Программа РОС

1. Состав проекта РОС и перечень модулей
2. Разработка Windows-приложений в среде Delphi
3. Прогон лучей через ОС
4. Расчёт волновой ошибки
5. Учёт дифракции посредством БПФ
6. Расчет ЧКХ
7. Тестирование ОС по искусственным объектам и снимкам реальных объектов
8. Оптимизация параметров
9. Ввод в программу новой ОС
10. Использование ОС из базы данных РОС
11. Установка и работа с каталогами стёкол
12. Асферические поверхности в оптической системе
13. Тестирование оптической системы
14. Масштабирование оптической системы
15. Нормализация размеров радиусов
16. Расчет допусков
17. Разработка и печать эскизов деталей
18. Связь с программой Zemax

II. Программа ОСТ

1. Интерферограмма и проблема восстановления фазы
2. Трассировка полос
3. Метод наименьших квадратов
4. Полиномы Цернике

III. Приложения

Предисловие

Какую задачу призван решить расчёт оптических систем?

Исходя из заданных критериев, предъявленных заказчиком к качеству изображения, требуется определить состав и значение внутренних параметров оптической системы.

Расчёту оптических систем (далее – ОС) только на русском языке посвящено бессчётное количество учебников, монографий и статей (см., например, список Литературы в Приложении 1). Кстати, любители модерна возмущаются, что в литературных ссылках приводятся работы, датированные «прошлым веком». Необходимо иметь в виду, что именно в пионерских, а также в ранних работах даётся наиболее обстоятельное описание существа рассматриваемых вопросов. Цитирующие или ссылающиеся на эти работы авторы, в целях экономии печатного места, а порой по лености, походя дают куцее, невнятное разъяснение, отчего суть вопросов исчезает, а понимание не образуется.

Каким образом прежде решалась задача расчёта ОС?

Все имеющиеся руководства по расчёту ОС сосредоточены на аналитическом, умозрительном рассмотрении предмета. Это объясняется «духом» той эпохи, когда учёный мир опирался в основном на «мощь» своего интеллекта и когда численные методы исследований ещё только-только входили в практику.

В XIX веке Зейделем был предложен и разработан, а его последователями доведён до совершенства алгебраический метод расчёта ОС, основанный на аналитической теории аберраций 3-го порядка. Задача получения заданного качества изображения в этой теории заменена задачей удовлетворения оптической системой искусственным математическим критерием – коэффициентам аберраций 3-го порядка, которым соответствуют идеализированные ошибки ОС: сферическая аберрация, кома, астигматизм, кривизна поля, дисторсия и две хроматические аберрации – хроматизм положения и хроматизм увеличения. Наивысшую завершённость алгебраический метод получил в работе В.Н. Чуриловского [5].

Многие расчётные программы и сегодня следуют так называемому принципу «разделения переменных», согласно которому на первой стадии расчёта параметры ОС определяются и оптимизируются в области Зейделя, и только на последней стадии расчёта система «улучшается тригонометрической подгонкой».

Однако такой подход неизбежно приводит к необходимости работы с системой в диалоговом режиме, с обязательным присутствием разработчика, к привязанности его к разрабатываемой системе. Кроме того, будучи встроенным в общий программный код, блок оптимизации ОС по коэффициентам Зейделя, будучи плодом раздвоения личности, только тормозит движение процесса к оптимуму, поскольку постоянно сбивает оптимизатор на ложный путь, уводя его от точного решения в сторону приближенного.

Электронно-вычислительные машины (ЭВМ), в середине XX века взявшие на себя всю рутинную работу по высокоточным вычислениям, в принципе изменили всю методологию разработки ОС. К тому времени алгоритмы оптимизации сложных систем и процессов достигли высокого уровня совершенства. Поэтому сегодня использование теории Зейделя при расчёте ОС воспринимается как атавизм: быстродействие современных ЭВМ позволяет при тестировании ОС производить прямую оценку её качества по изображению, как искусственных, программно синтезированных объектов, так и по снимкам реальных объектов. Это даёт возможность разработчику, однажды полностью поставив машине задачу, буквально из набора плоскопараллельных пластин получить в итоге все параметры объектива с ожидаемыми характеристиками.

В имеющейся литературе изложение практических приложений, начиная с прогона лучей через ОС и кончая теорией Зейделя, даётся в незавершённом виде, когда остаточные аберрации высокого порядка приводятся, как досадный диссонанс между стройной теорией Зейделя и результатами геометрического прогона лучей. Поэтому ни в одном руководстве по расчё-

ту ОС нет ни строчки программного кода, предоставляющего исследователю возможность дальнейшего развития и адаптации под свои нужды и предпочтения расчётной программы. Как в своё время умножение столбиком двух чисел считалось творческим процессом, так и программные коды в те годы (да и теперь ещё) относят к так называемому «ноу-хау».

Цель настоящего пособия состоит в том, чтобы на примере анализа исходного кода существующей расчётной программы РОС дать начинающему расчётчику внятные разъяснения, почему именно так, а не иначе, в ней ведётся исследование ОС. Это предоставит возможность исследователю ОС произвести самостоятельную адаптацию и развитие программы под свои нужды. Для привития практических навыков по алгоритмизации и программированию решения оптических задач к настоящему пособию прилагается одноимённый Лабораторный практикум.

Таких программ, как РОС, в мире разработан уже не один десяток, начиная со знаменитого Земакса и кончая мало кому известным OSODом, написанным на архаичном Фортране. Расчётчик оптики должен уметь не только профессионально пользоваться этими программами, но и модернизировать их, изменяя их код и включая в свою рабочую версию расчётной программы полезные элементы из стороннего софта.

При изложении материала основное внимание уделено моментам, менее всего освещённым в литературе, а потому наиболее трудным для понимания и реализации в коде. Предполагается, что с остальным программным кодом читатель окажется способным разобраться самостоятельно.

ЗАМЕЧАНИЕ.

В Приложениях ссылки на интернет-источники даны по состоянию на 18 июля 2019 года.

Введение

Наверное, не имеет смысла делать широкое и углублённое введение в основы расчёта ОС, поэтому дадим общую канву, так сказать, взгляд на эту область с высоты птичьего полёта.

ОС является сложным объектом проектирования, тысячами нитей связанным с физической оптикой, технологией, математикой, эргономикой и пр., пр. В таких случаях используются приёмы математического моделирования объектов и процессов. Во время своей работы расчетные программы производят численные эксперименты над математической моделью. В основе каждого такого эксперимента лежит тест ОС посредством прогона пучков лучей через неё.

Учёт явления оптической дифракции максимально приближает исследование качеств оптики к физической реальности и представляет собой самостоятельную проблему. Волновая ошибка, составляющая зрачковую функцию системы, естественным образом напрямую связана с дифракцией и сопряжёнными с нею функциями качества: функцией рассеяния точки (ФРТ) и частотно-контрастной характеристикой (ЧКХ). Именно зрачковая функция содержит в себе всю информацию об ОС и её потенциальных возможностях по обеспечению качества изображения.

Будучи плавно изменяемой, зрачковая функция ОС может быть посчитана с достаточной степенью точности для большинства ОС, что обеспечивает надёжное основание для объективной оценки качества системы. При дальнейших препарированиях зрачковой функции указанное информационное содержание сохраняется благодаря адекватности процедуры преобразования Фурье. Быстрое преобразование Фурье (БПФ) – это не абстрактный аппарат по учёту статистики в понятиях синус-косинус, а уникальное средство тончайшего математического анализа системы без явного взятия производных по зрачковой функции.

Столь же таинственной представляется начинающему расчётчику и технология расшифровки интерферограмм с целью оценки уровня волновых aberrаций в исследуемой ОС.

Особую роль и значение приобретают полиномы Цернике при расчёте ОС и, особенно, при регрессионном анализе интерферограмм, позволяющем реконструировать зрачковую функцию исследуемой ОС, т.е. восстановить фазу и размах волновой ошибки по форме полос на интерферограмме. Следует подчеркнуть, что полиномы Цернике, являясь совершенно незаменимым средством при регрессионном восстановлении зрачковой функции, при расчёте ОС выступают в качестве навязанного протеза: быстрого действия современных ЭВМ вполне достаточно для того, чтобы в реальном времени производить тестирование реальной ОС, а не заменять её характеристики искусственным полиномиальным суррогатом.

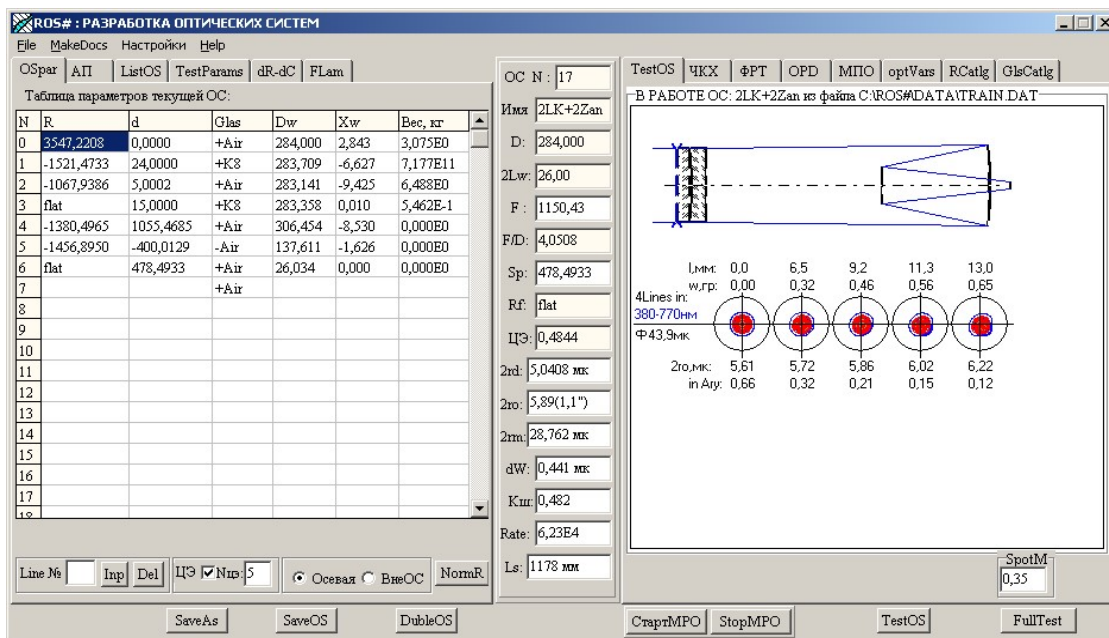
I. ПРОГРАММА РОС

Программа для исследования ОС создавалась не одно десятилетие.

Начало программе положено в 1977м, когда потребовалось определять продольные aberrации параболоида Ф180/5 при его изготовлении и контроле методом Фуко из центра кривизны.

Из-за отсутствия вычислительной техники первые ОС приходилось исследовать на клавишных калькуляторах, раскладывая в ряды синусы и косинусы. Затем, в 1980м, появился программируемый микрокалькулятор МК3-34, а в 1980х уже использовались «Искра», ДВК, РК-84. В 1990х появился «Спектрум» Клайва Синклера, и, наконец, в 1991м возникла IBM-386.

Программирование велось в машинных кодах, на Ассемблере, затем – на Бейсике, Паскале и на Си. Были перепробованы различные среды программирования: Борланд Паскаль (и Си), Визуальный Бейсик (и Си), а также Дельфи. Ближе всех по духу и объективной целесообразности пришлась среда Дельфи.



Главное окно программы РОС.

В 2004м программа РОС была оформлена на Паскале как самостоятельная программа для полноценной работы под ДОС, а в 2010м она была переведена под Windows XP-SP3 с помощью среды программирования Delphi-7-Lite.

В 2013 РОС подверглась фундаментальной переработке и по функциональным возможностям была доведена до уровня, необходимого для профессиональной работы: к программе были подключены отечественные и зарубежные каталоги стекол; показатели преломлений стекол стали браться не из таблиц, а рассчитываться по 13 аппроксимирующим формулам; была установлена связь с программой ZeMax; осознание роли зрачковой функции позволило ввести в программу тесты по сложным объектам – нескольким звездам, мИрам и снимкам реальных объектов. Последнее потребовало введения в программу алгоритмов обработки цифровых снимков и новых критериев оценки качества фотографических ОС (астрографов).

Проблема повышения разрешающей способности у полиапертурного телескопа (ПАТ) потребовала развития программы для работы с внеосевыми ОС.

Заманчивой оказалась идея создания безобъективного телескопа, регистрирующего с помощью матриц ПЗС непосредственно волновой фронт света, излучаемого объектом. Был введён блок чтения фотоснимков, полученных с помощью «Светоскопа» (Lite-Scop).

1. СОСТАВ ПРОЕКТА РОС И ПЕРЕЧЕНЬ МОДУЛЕЙ

Проект состоит из нескольких файлов разного функционального назначения.

Главным файлом является ROS.DPR – программа, организующая, запускающая и координирующая работу всего проекта.

Вот содержание этого файла:

```
program ROS;

uses
  Forms,
  Windows,
  Dialogs,
  main in 'main.pas' {frmMain},
  ROSsets in 'ROSsets.pas' {SetsForm},
  ShowLOS in 'ShowLOS.pas' {frmLOSshow},
  viewAPVP in 'viewAPVP.pas' {frmViewAPVP},
  ShowHelp in 'ShowHelp.pas' {frmHelp},
  About in 'About.pas' {aboutForm},
  FullTestOS in 'FULLTestOS.PAS' {frmFullTestOS},
  AllObjTest in 'AllObjTest.pas' {frmAllObjTest},
  Base in 'Base.pas',
  ClcOS in 'ClcOS.pas',
  CtgRR in 'CtgRR.pas',
  CtgGls in 'CtgGls.pas',
  SvLd in 'SvLd.PAS',
  OptUn in 'OptUn.PAS',
  WrkOS in 'WrkOS.PAS',
  GrROS in 'GrROS.pas',
  ChrOD in 'ChrOD.pas',
  Testing in 'Testing.pas',
  Utils in 'UTILS.PAS',
  PFwrk in 'PFwrk.pas',
  Face in 'Face.pas',
  FitUn in 'FitUn.pas',
  TstImg in 'TstImg.pas',
  WrkZmx in 'WrkZmx.pas';

{$R *.res}

begin
  Application.Initialize;
  Application.CreateForm(TfrmMain, frmMain);
  Application.Run;
end.
```

Модули Forms, Windows и Dialogs являются инструментальными средствами среды программирования Дельфи и обеспечивают работоспособность программы РОС в операционной среде Windows: создают окна, обеспечивают им связь с операционной системой и аппаратурой компьютера.

Следующие 8 модулей, также разработанные при непосредственном содействии программной среды Дельфи, формируют рабочие окна программы РОС (в скобках указаны названия «форм», присвоенные разработчиком):

'main.pas' {frmMain} – основное окно программы РОС,
'ROSsets.pas' {SetsForm} – окно с основными уставками программы,
'ShowLOS.pas' {frmLOSshow} – окно просмотра списка ОС,
'viewAPVP.pas' {frmViewAPVP} – окно для просмотра свойств асферических поверхностей,
'ShowHelp.pas' {frmHelp} – окно со справочной информацией о программе РОС,
'About.pas' {aboutForm} – завстака (рекламное окно «О программе»),
'FULLTestOS.PAS' {frmFullTestOS} – окно «Полный тест ОС»,
'AllObjTest.pas' {frmAllObjTest} – окно дифракционного тестирования ОС по всем искусственным объектам.

Далее перечислены все рабочие модули программы, написанные её разработчиком на языке Паскаль и обеспечивающие ей задуманную функциональность:

'Base.pas' – содержит все глобальные переменные программы, основные определения (типы), функции и процедуры,
'ChrOD.pas' – разработка и сохранение эскизов оптических деталей,
'ClcOS.pas' – здесь сосредоточены процедуры и функции по работе с оптикой,
'CtgGls.pas' – модуль для работы с оптическими стёклами,
'CtgRR.pas' – каталог радиусов пробных стёкол,
'Face.pas' – модуль с процедурами, масштабирующими интерфейс программы,
'FitUn.pas' – процедуры для работы с изображениями в FITS-формате,
'GrROS.pas' – процедуры по работе с графикой,
'OptUn.PAS' – процедуры оптимизации,
'PFwrk.pas' – процедуры для работы со зрачковой функцией,
'SvLd.PAS' – модуль с процедурами для загрузки/сохранения данных программы,
'Testing.pas' – процедуры для тестирования ОС,
'TstImg.pas' – процедуры для тестирования ОС по реальным изображениям,
'UTILS.PAS' – сборник вспомогательных процедур,
'WrkOS.PAS' – модуль с основными рабочими процедурами,
'WrkZmx.pas' – процедуры для межпрограммной связи с Земаксом.

2. РАЗРАБОТКА WINDOWS-ПРИЛОЖЕНИЙ В СРЕДЕ DELPHI

Более 10 лет ушло на то, чтобы прочувствовать особенности и освоить программирование Windows-приложений. Нельзя сказать, что в программировании я посторонний: учился в матклассе, с 1963-го приобщен к программированию – сначала на Алгол-60, затем на машинных кодах. И в руководствах по работе в среде Дельфи, вроде, недостатка нет. Однако для полноценной работы всё чего-то не доставало, пока однажды не пришло прозрение.

Процесс разработки оконного приложения состоит из двух разобъённых занятий:

1. Планирования взаимодействия Вашего приложения с компьютерной аппаратурой и с операционной средой и проектирования интерфейса Вашей программы согласно этого взаимодействия.
2. Разработка собственно программного кода, обеспечивающего требуемую функциональность Вашему приложению, которая производится тривиально на языке Паскаль.

Разработка Windows-приложения начинается с разработки его «формы» = «рамы» или главного окна приложения, которая заполняется управляющими элементами:

- кнопками, связывающими программные события с операционной средой Windows,
 - редакторскими окнами, предоставляющими пользователю возможность изменять рабочие параметры приложения,
 - панелями Image, на которые выводится графика программы,
 - чек-, комбо- и радио-боксами для выбора вариантов отклика программы,
 - метками для текстовых указаний,
- и т. д. и т. п.

Однако и этого будет недостаточно. Фирма Microsoft так поставила дело, что полную информацию поставщики компьютерной аппаратуры (клавиатуры, мониторов, мышей, модемов, принтеров, дисков и пр.) предоставляют только ей, а авторы руководств по программированию, соблюдая субординацию, но, в основном, из-за отсутствия этой информации, не вдаются в жизненно важные подробности. Поэтому без помощи программистов-любителей здесь не обойтись. Сведения приходится собирать по крупицам на форумах и в самиздатовских справках, огромную подборку которых собрал Валентин Озеров.

Принципиальную трудность в разработке Windows-приложений составляет вывод графики на панель Image. Тут не нужно вдаваться в нюансы, а просто на примерах, которыми изобилуют все известные руководства программирования в среде Дельфи, приобрести необходимые навыки.

Этот программный код состоит из нескольких обрамляющих строк, внутри которых располагаются графические операторы языка Паскаль:

With Image.Canvas do

Begin

Rectangle (x0, y0, x1, y1);

Moveto (x2, y2);

Lineto (x3, y3);

Textout (x4, y4, 'Text');

и т. п.

End;

Далее будут рассмотрены основные программные блоки проекта РОС, анализируя которые можно составить себе ясное представление о специфике программирования в среде Дельфи. Дистрибутив Delphi-7-Lite выбран по причине его компактности и завершённости.

3. ПРОГОН ЛУЧЕЙ ЧЕРЕЗ ОС

Программа РОС предназначена для расчёта оптических систем типа окуляр или объектив телескопа. Это означает, что в РОС принято, что лучи света приходят к входному зрачку (ВЗ) оптической системы от бесконечно удалённых космических объектов, т.е. параллельными пучками.

Каждый луч, входящий в ОС, преломляясь на каждой её поверхности, завершает свой зигзагообразный путь на фокальной поверхности. Таким образом, основной процедурой расчёта является прогон одного луча через всю систему, начиная с входного зрачка и заканчивая фокальной поверхностью.

Целесообразно для каждой системы изначально задать на её ВЗ неизменные координаты входящих лучей, y_0 и z_0 . Варьируя только направляющие косинусы u , v , w параллельного пучка лучей, проходящих через фиксированную координатную сетку на ВЗ, можно исследовать качество ОС по всему её полю зрения. Если при этом для каждого луча одновременно вычислять длину оптического пути, snl , то процедура прогона луча даст три координаты x_f , y_f и z_f на фокальной поверхности и величину волновой ошибки dW , которые в дальнейшем могут быть использованы для оценки качества ОС.

Приняв за оптимальную некоторую длину оптического пути snl_0 , можно определить величину волновой ошибки OPD (Optical Path Difference) для каждого луча, как разницу между реальной и оптимальной длинами путей: $dW = snl - snl_0$.

Совокупность значений волновых ошибок для всего монохроматического пучка лучей, направленного в ОС под одним и тем же углом и привязанного к координатам на входном зрачке, составляет зрачковую функцию ОС, Pupil Function.

Получив после прогона «нулевого» луча координаты x_{f0} , y_{f0} и z_{f0} его пересечения с фокальной поверхностью, можно определить поперечную ошибку для каждого последующего луча, как $dr = \sqrt{(\sqrt{y_f - y_{f0}})^2 + (\sqrt{z_f - z_{f0}})^2}$.

Просуммировав все ошибки для всего пучка лучей, можно определить наибольшую поперечную aberrацию, g_{max} , и среднеквадратическую ошибку $rsq = \sqrt{\text{sum}(dr) / n}$, где n – число лучей в пучке. Для волновых ошибок это будут, соответственно, размах ошибки W_{mx} и dW_{sq} .

Обычно за оптимальную длину snl_0 принимают длину оптического пути «нулевого» луча, входящего в ОС через центр ВЗ. Знание координат пересечения нулевого луча с фокальной плоскостью позволяет вычислять все полевые aberrации, в том числе, и дисторсию. В некоторых случаях, желая определить действительный размер пятна в точке поля, предварительно рассчитывают положение «центра тяжести» пятна и все вычисления проводят относительно него. Но нельзя забывать, что при этом пропадает информация о полевых ошибках, особенно о дисторсии. Особенно вредным оказывается такой подход при оптимизации системы, когда оптимизатор начнёт стремиться уменьшить осреднённый по полю и спектру размер пятна, невзирая на наличие дисторсии.

С формульным аппаратом (алгоритмом) прогона лучей через ОС можно ознакомиться в учебниках М.И. Апенко, Б.Н. Бегунова или в монографиях В.Н. Чуриловского, Г.Г. Слюсарева и др. Однако наиболее наглядно и лаконично алгоритмы прогона луча через сферические и planoидные поверхности изложены в книге Г.М. Попова «Асферические поверхности в астрономической оптике» [17].

Последовательность расчёта хода луча через асферические поверхности (АП) второго порядка (АП-2) взята из монографии Г.Г. Слюсарева [6], а через асферические поверхности высоких порядков (АП-ВП) – из книги В.Б. Леоновой «Автоматизация расчётов оптических систем» [12].

Все подпрограммы извлечены из действующего проекта программы РОС.

Тип float определён в модуле base как extended с мантиссой в 10 байт.

Подготовка координатной сетки на входном зрачке.
VzshiftZ и **VzshiftY** – смещение центра ВЗ с оптической оси; используется при расчете децентрированных или внеосевых ОС.

```
// заполнение координатных массивов z0 и y0 в точке m:
procedure setVZdim(a,r:float;var zz,yy:PVector;var m:integer);
begin
  zz^[m]:=r*sin(a)+VZshiftZ;
  yy^[m]:=r*cos(a)+VZshiftY;
  inc(m);
end;

// вычисление расстояния dr между зонами по числу зон n и размеру (Hk - Hv)
// световой зоны и заполнение координат для нулевого луча:
procedure set_dr(n:integer;var dr:float;var zz,yy:PVector;var m:integer);
begin
  if vneos then
    dr:=(Hk-VZshift)/n
  else
    dr:=(Hk-Hv)/n;
  yy^[0]:=VZshiftY;
  zz^[0]:=VZshiftZ;
  m:=1;
end;

// расчет сотовой координатной сетки (используется при оптимизации ОС) на ВЗ:
// В модуле base для nZon определено ограничение:
// maxZon=35. Максимальное число лучей: mn = 1 + 3*35*36 = 3781
procedure calcVZ;
var
  i,j,k,m: integer;
  a,c,da,r,dr: Float;
begin
  // вычисление зазора между зонами (dr) и заполнение координат для нулевого луча
  set_dr(nZon,dr,z0,y0,m);
  for i:=1 to nZon do
    begin
      c:=dr*i;
      k:=6*i;
      da:=pi2/k;
      r:=c;
      if CEkr<>0 then
        r:=c+Hv;
      for j:=0 to k-1 do
        begin
          a:=da*j;
  // заполнение координатных массивов z0 и y0 в точке m:
          setVZdim(a,r,z0,y0,m);
        end;
      end;
      mn0:=m;
    end;

// 550 лучей распределены равномерно по ВЗ для тестирования ОС
// и вывода информации в графическом виде.
// В модуле base определено:
// NzonMax = 10. Максимальное число лучей: mn = 550, не более.
procedure calcGVZ;
var
  i,j,k,m: integer;
  a,c,da,r,dr: Float;
begin
  set_dr(NzonMax,dr,gz0,gy0,m);
```

```

for i:=1 to NzonMax do
begin
  c:=dr*i;
  k:=NzonMax*i;
  da:=pi2/k;
  r:=c;
  if CEkr<>0 then
// для ОС с ЦЭ:
  r:=c+Hv;
  for j:=1 to k do
  begin
    a:=da*j;
    setVZdim(a, r, gz0, gy0, m);
  end;
end;
gmn:=m-1;
end;

```

Подпрограмма прогона луча через сферическую поверхность

u,v,w - направляющие косинусы луча, падающего на данную сферу,
x,y,z – исходные координаты пересечения луча с предыдущей поверхностью.
 В конце процедуры этими же переменными обозначены направляющие косинусы и координаты пересечения луча, преломлённого на данной поверхности.
PokPre = n – показатель преломления среды, предшествующей данной сфере,
nju = 1/n, rds – радиус кривизны данной сферы.

```

procedure oneWone(var x,y,z,v,w,u:float);
var a,c,d,f,sq: float;
begin
  gbk:=false; // = go back - в случае крушения
  a:=u*x-v*y-w*z;
  c:=2*(x-a*u) - (sqr(a) -sqr(x) -sqr(y) -sqr(z)) /rds;
  d:=sqr(u) -c/rds;
  if (d<0) then // признак крушения: нельзя извлечь корень из отрицательного числа
  begin
    gbk:=true;
    exit;
  end;
  f:=sqrt(d);
  a:=a+c/(u+f);
  snl:=snl+pokpre*a; // = длина оптического пути
  // координаты пересечения луча с данной сферой
  x:=a*u-x;
  y:=a*v+y;
  z:=a*w+z;
  sq:=1+sqr(nju)*(d-1);
  if (sq<0) then // признак крушения
  begin
    gbk:=true;
    exit;
  end;
  c:=sqrt(sq) -nju*f;
  a:=-c/rds;
  // направляющие косинусы преломлённого луча
  u:=nju*u+a*x+c;
  v:=nju*v+a*y;
  w:=nju*w+a*z;
end;

```

Подпрограмма прогона луча через асферическую поверхность 2го порядка

exctr – квадрат эксцентриситета данной АП-2.

Остальные обозначения – см. Комментарий к п/п oneWone.

```
procedure oneAP2 (var x,y,z,v,w,u:float);
var a,c,d,b,g,e,sr : Float;
begin
  gbk:=false; // = go back - в случае крушения
  e:=exctr/rds;
  a:=x*u-y*v-z*w;
  g:=a*u-x;
  c:=sqr(x)+sqr(y)+sqr(z)-sqr(a);
  d:=(2+e*g)*g-c/rds;
  sr:=sqr(u)+(d+e*c*sqr(u))/rds;
  if (sr<0) then // признак крушения: ОС не пропустила луч
  begin
    gbk:=true;
    exit;
  end;
  b:=sqrt(sr);
  a:=a-d/(b+u*(1+e*g));
  // координаты пересечения луча с данной АП-2:
  x:=a*u-x;
  y:=a*v+y;
  z:=a*w+z;
  snl:=snl+pokpre*a; // = длина оптического пути
  sr:=1+e*(sqr(y)+sqr(z))/rds;
  if (sr<0) then // признак крушения
  begin
    gbk:=true;
    exit;
  end;
  d:=sqrt(sr);
  b:=b/d;
  sr:=1+sqr(nju)*(sqr(b)-1);
  if (sr<0) then // признак крушения
  begin
    gbk:=true;
    exit;
  end;
  g:=(sqrt(sr)-nju*b)/d;
  a:=-g/rds;
  // направляющие косинусы преломлённого луча
  u:=nju*u+a*x*(1-exctr)+g;
  v:=nju*v+y*a;
  w:=nju*w+z*a;
end;
```

Подпрограмма прогона луча в области Зейделя через planoидную поверхность пластины Шмидта

Асферичность (стрелка) planoида:

$$x = a20 * \rho^2 + a40 * \rho^4,$$

где $\rho^2 = y^2 / t$, $t = y^2 + z^2$.

Остальные обозначения – см. Комментарии к п/п oneWone.

```
procedure onepSH (var x,y,z,v,w,u:float);
label 1;
var
  i: integer;
```

```

a,c,dx,g,k,L1,m,n,t,t2,dr : Float;
begin
  gbk:=false;
  L1:=x/u;
  // первое приближение для координат точки пересечения с КППШ
  y:=L1*v+y;
  z:=L1*w+z;
  x:=0;
  // 6 уточняющих шагов
  for i:=0 to 5 do
  begin
    t:=sqr(y)+sqr(z);
    t2:=sqr(t);
    dx:=t*a20+t2*a40-x;
    k:=2*(a20+t*2*a40); // производная от X
    m:=-k*y;
    n:=-k*z;
    c:=u+v*m+w*n;
    g:=dx/c;
  // очередные значения координат
    x:=u*g+x;
    y:=v*g+y;
    z:=w*g+z;
  // если изменения координат ничтожны
    if (abs(g)<eps) then
      break;
    end;
    a:=1+sqr(m)+sqr(n);
    snl:=snl+pokpre*(L1+x/u); // оптический путь
    dr:=(1-sqr(nju))*a+sqr(c*nju);
    if (dr<0) then // признак крушения
    begin
      gbk:=true;
      goto 1;
    end;
    a:=(sqrt(dr)-nju*c)/a;
  // направляющие косинусы преломлённого луча:
    u:=nju*u+a;
    v:=nju*v+m*a;
    w:=nju*w+n*a;
  1: end;

```

Подпрограмма прогона луча через planoидную поверхность высокого порядка

Асферичность (стрелка) planoида ВП:

$$x = a20 \cdot \rho^2 + a40 \cdot \rho^4 + a60 \cdot \rho^6 + a80 \cdot \rho^8 + a100 \cdot \rho^{10} + a120 \cdot \rho^{12},$$

где $\rho^2 = y^2/t$, $t = y^2 + z^2$.

a20 ... a120 – коэффициенты высокого порядка.

Остальные обозначения – см. Комментарии к п/п оперSH.

```

procedure onepVP(var x,y,z,v,w,u:float);
label 1;
var
  i: integer;
  a,c,dx,k,L1,m,n,t,t2,dr : Float;
begin
  gbk:=false;
  L1:=x/u;
  // первое приближение для координат точки пересечения луча с planoидом ВП
  x:=0;
  y:=L1*v+y;
  z:=L1*w+z;
  // 6 шагов приближения

```

```

for i:=0 to 5 do
begin
  t:=sqr(y)+sqr(z);
  t2:=sqr(t);
  dx:=t*(a20+t2*(a60+t2*a100))+t2*(a40+t2*(a80+t2*a120))-x;
// производная от dx:
  k:=2*(a20+t2*(2*a40+t2*(4*a80+t2*6*a120))+t2*(3*a60+t2*5*a100));
  m:=-k*y;
  n:=-k*z;
  c:=u+v*m+w*n;
  a:=dx/c;
// очередные значения координат
  x:=u*a+x;
  y:=v*a+y;
  z:=w*a+z;
// если изменения координат ничтожны
  if (abs(a)<eps) then
    break;
end;
a:=1+sqr(m)+sqr(n);
snl:=snl+pokpre*(L1+x/u); // оптический путь
dr:=(1-sqr(nju))*a+sqr(c*nju);
if (dr<0) then // признак крушения
begin
  gbk:=true;
  goto 1;
end;
a:=(sqrt(dr)-nju*c)/a;
// направляющие косинусы преломлённого луча:
u:=nju*u+a;
v:=nju*v+m*a;
w:=nju*w+n*a;
1: end;

```

Подпрограмма прогона луча через АП-ВП

Величина стрелки x асферической поверхности высокого порядка (АП-ВП) связана с меридиональной y и сагитальной z высотами на ней следующим соотношением:

$$y^2 + z^2 = 2rx + (e^2 - 1) * x^2 + K3 * x^3 + K4 * x^4 + K5 * x^5 + K6 * x^6,$$

где e^2 – квадрат эксцентриситета поверхности, r – радиус кривизны при вершине АП, $K3 \dots K6$ – коэффициенты высокого порядка, первоначально задаваемые произвольно малыми величинами, а в дальнейшем используемые программой в качестве переменных параметров и уточняемые в процессе оптимизации ОС.

y и z – координаты на поверхности в поперечном сечении;

x – «стрелка», определяемая вдоль оптической оси.

$p1$ и $p2$ – $1я$ и $2я$ производные, полученные из приведённого соотношения.

```

procedure oneAPVP(var x,y,z,v,w,u:float);
var
  i: integer;
  a,b,f,dx,p1,p2,t1,t2,m,s,nx,ny,nz,q1,q2,g,zn,L,L1,
  y0,z0,x2,y2z: float;
begin
  gbk:=false;
  m:=v/u;
  s:=w/u;
  L1:=x/u;
  y0:=L1*v+y;
  z0:=L1*w+z;
  t2:=sqr(m)+sqr(s)-K2;
  x:=0;

```

```

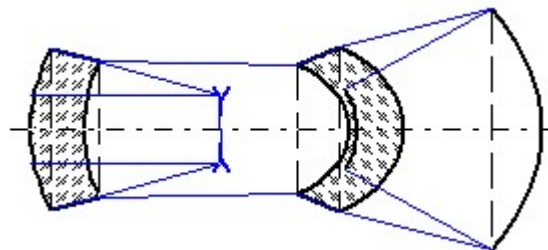
y2z:=sqr(y0)+sqr(z0);
t1:=2*(m*y0+s*z0)-K1;
// 10 шагов приближения:
for i:=0 to 9 do
begin
  x2:=sqr(x);
  f:=y2z+x*(t1-x2*(K3+x2*K5))+x2*(t2-x2*(K4+x2*K6));
  p1:=t1+x*(t2-x2*(2*K4+3*x2*K6))*2-x2*(3*K3+5*x2*K5);
  p2:=2*t2-x*(6*K3+x2*20*K5)-x2*(12*K4+x2*30*K6);
  a:=-f/p1;
  b:=-p2/p1;
  dx:=a*(1+a*b);
  x:=x+dx;
// если изменения координат ничтожно малы:
  if (abs(dx)<=eps) then
    break;
end;
L:=x/u;
// координаты точки пересечения луча с АП-ВП:
y:=y0+L*v;
z:=z0+L*w;
snl:=snl+pokpre*(L1+L); // оптический путь
// направляющие косинусы нормали к поверхности:
nx:=- (K1+2*x*(K2+x2*(2*K4+x2*3*K6))+x2*(3*K3+x2*5*K5));
ny:=2*y;
nz:=2*z;
zn:=sqrt(sqr(nx)+sqr(ny)+sqr(nz));
q1:=(v*ny+w*nz+u*nx)/zn;
a:=1-sqr(nju)*(1-sqr(q1));
if (a<=0) then // признак крушения
begin
  gbk:=true;
  a:=0;
end;
q2:=sign(q1)*sqrt(a);
g:=(q2-nju*q1)/zn;
// направляющие косинусы преломлённого луча
u:=nju*u+nx*g;
v:=nju*v+ny*g;
w:=nju*w+nz*g;
end;

```

Подпрограмма прогона луча через всю ОС

Это – универсальный блок, предназначенный для прогона одного луча через разнородную ОС, имеющую как сферические, так и асферические поверхности, как центрированные, так и смещенные с оси. При этом ОС может быть как обращенная, так и нормально ориентированная в пространстве.

Пример использования подпрограммы прогона лучей через всю ОС для построения её оптической схемы:



В подпрограмме oneAll использованы следующие обозначения:

u,v,w - направляющие косинусы луча, падающего на данную поверхность.

x, y, z – исходные координаты пересечения луча с предыдущей поверхностью; в конце процедуры этими же переменными обозначены направляющие косинусы и координаты луча на фокальной поверхности.

$\text{pokPre} = n$ – показатель преломления среды, предшествующей данной поверхности,
 $n_{ju} = 1/n$,

rds – радиус кривизны самой поверхности, если это сфера, или привершинной сферы АП.

snl – сумма произведений показателя преломления среды на геометрическую длину хода луча между двумя соседними поверхностями – суммарный оптический путь луча через всю ОС.

```

procedure oneall(var x,y,z,v,w,u:float) ;
var
  b1,b2,b3: boolean;
  i: integer;
  c,r,kx,ky,kz: float;
begin
  if revOS then
    snl:=0 // начальное значение длины оптического пути для обращённой ОС
  else
    snl:=y*v+z*w; // учет наклона входного зрачка (ВЗ) для оптического пути SNL
  // ns - число поверхностей в ОС, включая фокальную
  for i:=0 to ns-1 do
    begin
      rds:=rrs[i];
      r:=abs(rds);
      exctr:=ex[i];
      pokPre:=nCurr[i];
      nju:=eCurr[i]; // nju = n[i]/n[i+1]
    // при расчёте косой ОС:
      if kosina then
        if (r<flat) then
          begin
            // сдвигом имитируется наклон сфер на угол "dC" вокруг их осевых вершин
            c:=rds*dltc[i]; // сдвиг с оси, u-направление сдвига (0..360 gr)
            kx:=c*dltc[i]/2;
            ky:=c*usc[i];
            kz:=c*ucc[i];
            x:=x-kx;
            y:=y-ky;
            z:=z-kz;
          end
        else
          begin
            kx:=0;
            ky:=0;
            kz:=0;
          end;
      x:=ll[i]-x;
      a30:=a3[i]; // b:=0; K1 - 1й к-т ВП }
      if r<flat then
        b1:=false
      else
        b1:=true; //плоскость?
      if (abs(exctr)>eps) then
        b2:=true
      else
        b2:=false; //АП?
      if (abs(a30)>eps) then
        b3:=true
      else
        b3:=false; // АП-ВП?
      if ((not b2) and (not b3)) then
        oneWone(x,y,z,v,w,u) //b:=0; - АП нет
      else

```

```

if (b2 and (not b3) and (not b1)) then
  oneAP2(x,y,z,v,w,u)      //b:=1; - AP2
else
if (b2 and b3 and (not b1)) then // b:=2; - AP-ВП
begin
  K1:=2*rds;
  K2:=exctr-1;
  K3:=a30;
  K4:=a5^[i];
  K5:=a7^[i];
  K6:=a9^[i];
  oneAPVP(x,y,z,v,w,u);
end
else
if (b1 and b2 and (not b3)) then // b:=3; - КПШ
begin
  a20:=a2^[i];
  a40:=a4^[i];
  onepSh(x,y,z,v,w,u);
end
else
if (b1 and b2 and b3) then // b:=4; - КПШ-ВП
begin
  a20:=a2^[i];
  a40:=a4^[i];
  a60:=a6^[i];
  a80:=a8^[i];
  a100:=a10^[i];
  a120:=a12^[i];
  onepVP(x,y,z,v,w,u);
end;
if kosina then
begin
  x:=x-kx;
  y:=y+ky;
  z:=z+kz;
end;
// возврат на место}
if gbk then
begin
  inc(outRay);      // число лучей, не прошедших через ОС -
  break;
end
else
  inc(nray);      // число лучей, успешно прошедших ОС
// это значение будет использовано при определении коэффициента виньетирования,
// как отношения nRay/mn, где mn число лучей, направленных во ВЗ ОС
end;
end;

```

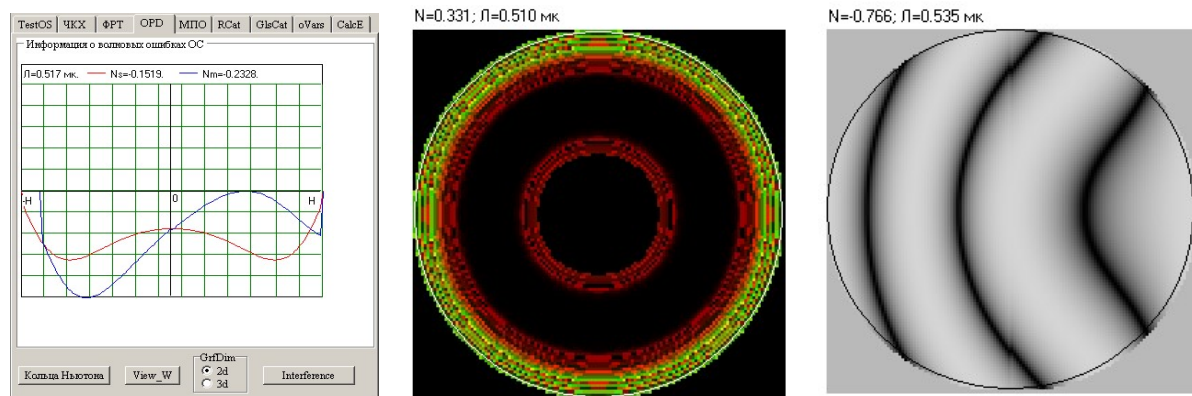
4. РАСЧЕТ ВОЛНОВОЙ ОШИБКИ

На первый взгляд может показаться: подумаешь, кому она нужна, волновая ошибка?! Ведь глаз всё равно реагирует на распределение освещенности, т.е. на размер и расстановку пятен. Однако все критерии качества, такие, как ФРТ и ЧКХ (см. далее), вычисляются посредством анализа волновых ошибок системы, которые составляют зрачковую функцию. Именно поэтому вычисление волновой ошибки – не формальное дополнение, а жизненно необходимая процедура, на которой базируется весь аппарат оценки качества оптики.

Казалось бы, чего проще: одновременно с прогоном лучей через ОС можно подсчитать и длину оптического пути луча. Но не тут-то было: при перефокусировках, необходимых для минимизации оценочных aberrаций, приходится фокальную поверхность перемещать не на один микрометр, отчего волновая ошибка катастрофически изменяется на недопустимо большую величину и сильно зависит от кривизны и наклонов фокальной поверхности.

Пытаясь обойти эти затруднения, расчётчики предлагают при вычислении волновой ошибки не доводить прогон луча до фокуса, а выбирать некую «выходную поверхность» – сферу или плоскость – расстояние от которой до фокуса произвольно. При этом упускают из вида, что таким образом останется неизвестным влияние этого расстояния и кривизны «выходной поверхности» на величину волновой ошибки.

Всё выше перечисленное было практически проверено и отвергнуто, поскольку не привело к сколько-нибудь приемлемому и стабильному результату. Поэтому пришлось воспользоваться идеей Г.М. Попова *рассчитывать волновую ошибку для обращённой ОС*, когда прогон лучей производится в обратном направлении, от фокальной поверхности в сторону ВЗ. Именно только таким образом удалось окончательно закрыть проблему точного расчёта зрачковой функции.



Слева – волновая ошибка системы в меридиональном и сагитальном сечениях зрачковой функции; посередине – интерференция в кольцах Ньютона, справа – в полосах.

Подпрограмма оптимизации последнего отрезка

Как было уже сказано, расчёт волновой ошибки производится для обращённой ОС, когда исследуемая ОС развёрнута задом-наперёд. Основной задачей процедуры оптимизации последнего отрезка является его минимизация. Оптимизацией последнего отрезка достигается не только минимально возможный размах волновой ошибки, что важно для объективной оценки качества системы, но становится возможным учёт формы волнового фронта и его наклонов.

Подпрограмма производит поиск такого последнего отрезка S_p (для нормально расположенной, не обращённой, ОС), при котором оптические пути нулевого и краевого лучей ока-

зываются равными между собой, а волновая ошибка для зоны 0.707 – минимальной. В итоге одновременно находится новый центр для ВЗ и определяются вспомогательные величины $op1$ – $op4$, используемые для коррекции наклона волнового фронта в подпрограмме расчета зрачковой функции CalcPFv, что гарантирует минимальные характеристики для волновой ошибки системы, а, значит, наивысшие значения для критериев качества ОС.

Здесь: Xfs – стрелка на фокальной сфере на высоте Yf над оптической осью, откуда исходит луч, а ui , vi и wi – направляющие косинусы исходящего луча, определяемые геометрически через фокус ОС и вычисляемые в подпрограмме CalcPFv.

```
procedure OptSpBkOS(yf : float);
var
  p1,p2,v2,w2,u2,x,y,z,v,w,u,xfs: float;
```

Вспомогательная функция для определения длины оптического пути в меридиональной плоскости:

```
function MB1:float;
begin
  x:=xfs;
  y:=yf;
  z:=0;
  v:=vi;
  w:=0;
  u:=ui;
  oneAll(x,y,z,v,w,u);
  result:=SNL;
end;
```

Вспомогательная функция для вычисления волновой ошибки косоуго луча:

```
function MB2:float;
begin
  x:=xfs;
  y:=yf;
  z:=0;
  v:=v2;
  w:=w2;
  u:=u2;
  oneAll(x,y,z,v,w,u);
  result:=SNL-(y-yc)*vi-(z-zc)*wi-optPath0;
end;
```

// основной блок:

```
var
  k: integer;
  c: float;
begin
  if (Rfs < flat) then
    xfs:=Rfs-sign(Rfs)*sqrt(sqr(Rfs)-sqr(yf))
  else
    xfs:=0;
// первоначальное смещение фокуса:
  c:=0.256;
  p1:=MB1;
  ll^ [0] :=ll^ [0]+c;
  p2:=MB1;
  for k:=0 to 4 do
  begin // optPath0=>min
    if p2<p1 then
      repeat
        p1:=p2;
        ll^ [0] :=ll^ [0]+c;
        p2:=MB1;
```

```

until p2>p1
else
repeat
p1:=p2;
l1^[0]:=l1^[0]-c;
p2:=MB1;
until p2<p1;
// уменьшаем смещение и 5 раз повторяем этот цикл
c:=c/8;
end;
optPath0:=MB1;
// новый центр ВЗ:
xc:=x;
yc:=y;
zc:=z;
SpBkOS:=l1^[0]; // Sp установлено с точностью 1 / 2^15 ~ 0.03 мкм
v2:=(H0-yf)/F1; // верхний край ВЗ
w2:=0;
u2:=sqrt(1-sqr(v2));
op2:=MB2;
v2:=- (H0+yf)/F1; // нижний край ВЗ
w2:=0;
u2:=sqrt(1-sqr(v2));
op3:=MB2;
v2:=vi;
w2:=H0/F1; // край ВЗ в сагиттальной плоскости
u2:=sqrt(1-sqr(v2)-sqr(w2));
op4:=MB2;
end;

```

Подпрограмма вычисления волновой ошибки для обращённой ОС

Вычисление зрачковой функции обращённой ОС в долях длины волны Lam в меридиональном сечении для точки на фокальной поверхности на расстоянии Yf от центра поля зрения. Путём поворота центрированной системы относительно оптической оси любой косой луч всегда можно расположить в меридиональной плоскости, поэтому волновую ошибку системы всегда считают для полевой точки, находящейся в меридиональной плоскости.

q – число сечений ВЗ в меридиональном и сагиттальном направлениях,
 ww – массив значений волновой ошибки на ВЗ (зрачковая функция ОС).

```

function CalcPFv(var ww:PVector;yf,Lam:float;q:integer):boolean;
var
Apodiz,zonAberAdd: boolean;
i,j,k,n,q2,q4,qrL,qrR,k0: integer;
a,b,ba,c0,c2,c4,da,Hv7,ka,Lad,mn,mx,r2,s,iy,jz,y1,y2,x,y,z,v,w,u,xfs: float;
begin
revOS:=true;
//разворачиваем ОС задом-наперёд:
setCurrOS;
q2:=q div 2;
q4:=q2 div 2;
yf:=yf*mirAng; // учёт разворота пакетов для мир
Lad:=1e3/Lam; // переводим микрометры в миллиметры
k0:=q4*q4;
if yf=0 then
yf:=eps;
if abs(Rfs)<flat then // вычисляем стрелку на фокальной сфере
xfs:=Rfs-sign(Rfs)*sqrt(sqr(Rfs)-sqr(yf))
else
xfs:=0;
da:=H0*difrImMast/q4; // шаг по ВЗ

```

```

if Rastajki then          // если нужно учесть затенение ВЗ растяжками
begin
  qrL:=q2-round(trast/2/da);
  qrR:=q2+round(trast/2/da);
end
else
begin
  qrL:=q2;
  qrR:=q2;
end;
ka:=pi*zonAberFreq/H0;
// если нужно учесть дополнительную зональную волновую ошибку
if zonAberAmp<>0 then
  zonAberAdd:=true
else
  zonAberAdd:=false;
// направляющие косинусы нулевого луча, идущего от фокуса к ВЗ:
vi:=yf/F1;
wi:=0;
ui:=sqrt(1-sqr(vi));
// оптимизируем последний отрезок:
OptSpBkOS(yf);
c2:=(op2-op3)/2/sqrt(H2); // наклон волнового фронта
// для вычисления стрелки на ближайшей сфере сравнения (ВСС) к волновому фронту:
c4:=op4/H2;
mx:=0;
mn:=0;
// если ОС аполизирована на нуль волновой ошибки:
if frmMain.Apodizat_ChBox.State=cbChecked then
  Apodiz:=true
else
  Apodiz:=false;
// далее обходится весь круглый ВЗ - от «-q4» до «+q4»;
// остальные точки в зрачковой функции - нулевые, они составляют «фальшборт»,
// необходимый процедуре БПФ для корректного анализа центральной, рабочей, зоны
// зрачковой функции.
for i:=q4 to q2+q4-1 do
if (i<=qrL) or (i>=qrR) then
begin
  if i<=qrL then
    iy:=da*(qrL-i-0.5);
  if i>=qrR then
    iy:=da*(qrR-i+0.5);
  y1:=iy;
  y2:=sqr(y1);
  for j:=q4 to q2+q4-1 do
  if (j<=qrL) or (j>=qrR) then
  begin
    if j<=qrL then
      jz:=da*(qrL-j-0.5);
    if j>=qrR then
      jz:=da*(qrR-j+0.5);
    r2:=y2+sqr(jz);
// если точка входит во ВЗ, экранированный до Нv, то из фокальной точки
// с координатами xfs, yfs и zfs в сторону ВЗ посылается луч, имеющий
// направляющие косинусы v, w, u :
if (r2<=H2) and (r2>=Hv2) then
begin
  x:=xfs;
  y:=yf;
  z:=0;
  v:=(iy-yf)/F1;
  w:=jz/F1;
  u:=sqrt(1-sqr(v)-sqr(w));
  oneAll(x,y,z,v,w,u);

```

```

// вычитаем наклоны ВЗ и стрелку на сфере, ближайшей к волновому фронту:
  b:=SNL-optPath0-(y-yc)*vi-(z-zc)*wi-c2*y1-c4*r2;
  if zonAberAdd then
    b:=b+zonAberAmp*sin(ka*sqrt(r2));
  // dW/Lam:
  b:=b*Lad;
// ищем максимум и минимум у зрачковой функции:
  if abs(b)>abs(mx) then
    mx:=b;
  if abs(b)<abs(mn) then
    mn:=b;
  ba:=b;
  ww^[i*q+j]:=ba;
end;
end;
end;
//с учётом знака:
maxW:=mx-mn;
mx:=0;
mn:=0;
s:=0;
k:=0;
for i:=q4 to q2+q4-1 do
  if (i<=qrL) or (i>=qrR) then
  begin
    if i<=qrL then
      iy:=da*(qrL-i-0.5);
    if i>=qrR then
      iy:=da*(qrR-i+0.5);
    y2:=sqr(iy);
    for j:=q4 to q2+q4-1 do
      if (j<=qrL) or (j>=qrR) then
      begin
        if j<=qrL then
          jz:=da*(qrL-j-0.5);
        if j>=qrR then
          jz:=da*(qrR-j+0.5);
        r2:=y2+sqr(jz);
        if (r2<=H2) and (r2>=Hv2) then
        begin
          n:=i*q+j;
          a:=ww^[n];
          // вычитаем "пьедестал"
          if abs(a)<>0 then
            b:=a-maxW
          else
            b:=a;
          if Apodiz then
            b:=0;
          ww^[n]:=b;
          if abs(b)>abs(mx) then
            mx:=b;
          if abs(b)<abs(mn) then
            mn:=b;
          s:=s+sqr(b);
          inc(k);
        end;
      end;
    end;
  end;
maxW:=mx-mn;
wsqv:=sqrt(s/k);
if maxW=0 then
  if mx=0 then
    maxW:=1
  else

```

```
    maxW:=mx;  
    CalcPFv:=true;  
    // возвращаемся к нормально ориентированной ОС:  
    revOS:=false;  
    setCurrOS;  
end;
```

5. УЧЁТ ДИФРАКЦИИ ПОСРЕДСТВОМ БПФ

Те, кому приходилось вычислять определённые интегралы, знают, что, во-первых, наиболее высокую точность даёт квадратура Гаусса, а, во-вторых, даже Гаусс не в силах вычислить точное значение определённого интеграла. Та же неопределённость препятствует исследованиям дифракционных явлений: прогон десятков тысяч лучей не даёт уверенного результата.

Поэтому появление математического аппарата под названием «преобразование Фурье» в корне изменило ситуацию. Доступной в инженерных вычислениях процедура стала только после открытия быстрых алгоритмов этих преобразований (БПФ).

В связи с указанными трудностями возникает резонное сомнение: для чего же тогда учитывать дифракцию и что это реально даёт?!

Исследования показывают, что размер пятна рассеяния, полученный путём геометрического прогона лучей, не соответствует действительности: дифракция не просто структурирует пятно, преобразуя равномерную интенсивность внутри него в волнообразную, но в принципе изменяет распределение яркости по пятну, *обесценивая таким образом результаты лучевых расчетов пятен рассеивания.*

Приведённый ниже программный код обработки зрачковой функции процедурой БПФ также принадлежит перу французского математика-программиста Jean Debord. Его использование оказалось целесообразнее прикрепления к программе РОС известной динамической библиотеки FFTW3.DLL, занимающей более полумегабайта дискового пространства и, соответственно, значительный объём оперативной памяти компьютера.

```
procedure doFFT(var InArray: PCompVec; NumSamples: Integer);
```

```
function IsPowerOfTwo(X: Integer): Boolean;
```

```
var I, Y: Integer;
```

```
begin
```

```
  Y:=2;
```

```
  for I:=1 to 25 do
```

```
  begin
```

```
    if X=Y then
```

```
    begin
```

```
      IsPowerOfTwo:=True;
```

```
      Exit;
```

```
    end;
```

```
    Y:=Y shl 1;
```

```
  end;
```

```
  IsPowerOfTwo := False;
```

```
end;
```

```
function NumberOfBitsNeeded(Pof2: Integer): Integer;
```

```
// вычисляет показатель двойки для числа строк/столбцов
```

```
var i: Integer;
```

```
begin
```

```
// 226 = максимальное целое для IBM = 69 108 864 = 8192x8192
```

```
  for i:=0 to 26 do
```

```
    if ((Pof2 and (1 shl i)) <> 0) then
```

```
    begin
```

```
      NumberOfBitsNeeded:=i;
```

```

    Exit;
end;
end;

function ReverseBits(ix,NBits:Integer):Integer;
// обращение номеров элементов
var i,Rev: Integer;
begin
    Rev:=0;
    for i:=0 to NBits-1 do
    begin
        Rev:=(Rev shl 1) or (ix and 1);
        ix:=ix shr 1;
    end;
    ReverseBits:=Rev;
end;

var
    NumBits,I,J,K,N,BlockSize,BlockEnd: Integer;
    Delta_angle,Delta_ar,Alpha,Beta,Tr,Ti,Ar,Ai: Float;
    outArray: PCompVec;
begin
// проверяем, является ли число членов массива производным 2
if not IsPowerOfTwo(NumSamples) or (NumSamples < 2) then
begin
    showMessage('NSec='+inttostr(NSec)+
        '- д.б. степени 2: '+vk+'32,64,128,...');
    Exit;
end;
// определяем показатель степени с основанием 2
NumBits := NumberOfBitsNeeded(NumSamples);
// формируем рабочие массивы
DimCompVec(outArray,NumSamples);
for I := 0 to NumSamples - 1 do
begin
    J := ReverseBits(I, NumBits);
    OutArray^[J].re := InArray^[I].re;
    OutArray^[J].im := InArray^[I].im;
end;
BlockEnd := 1;
BlockSize := 2;
// Преобразуем входной массив
while BlockSize <= NumSamples do
begin
    Delta_angle := pi2 / BlockSize;
    Alpha := Sin(0.5 * Delta_angle);
    Alpha := 2.0 * Alpha * Alpha;
    Beta := Sin(Delta_angle);
    I := 0;
    while I < NumSamples do
begin
        Ar:=1;
        Ai:=0;
        J := I;

```

```

for N := 0 to BlockEnd - 1 do
begin
  K := J + BlockEnd;
  Tr := Ar * OutArray^K.re - Ai * OutArray^K.im;
  Ti := Ar * OutArray^K.im + Ai * OutArray^K.re;
  OutArray^K.re := OutArray^J.re - Tr;
  OutArray^K.im := OutArray^J.im - Ti;
  OutArray^J.re := OutArray^J.re + Tr;
  OutArray^J.im := OutArray^J.im + Ti;
  Delta_ar := Alpha * Ar + Beta * Ai;
  Ai := Ai - (Alpha * Ai - Beta * Ar);
  Ar := Ar - Delta_ar;
  Inc(J);
end;
I := I + BlockSize;
end;
BlockEnd := BlockSize;
BlockSize := BlockSize shl 1;
end;
// заменяем входные данные выходными
for i:=0 to NumSamples-1 do
begin
  inArray[i].re:=outArray[i].re;
  inArray[i].im:=outArray[i].im;
end;
// освобождаем память
DelCompVec(outArray, NumSamples);
end;

```

6. РАСЧЁТ ФРТ И ЧКХ

Имея в своём распоряжении зрачковую функцию, легко получить дифракционное пятно рассеяния, ФРТ, и частотно-контрастную характеристику, ЧКХ.

Процедура **preparePF** производит преобразование фазы волновой ошибки в \sin - \cos значения, и она используется во всех процедурах перед выводом информации о форме волнового фронта и пр.

Нет необходимости подвергать преобразованию весь двумерный массив зрачковой функции – достаточно обработать центральный круг: если размерность всего массива q^*q , то информация об ошибке ОС содержится в круге диаметром $q_2 = q/2$. При этом $q_4 = q_2/2$ - полу-диаметр круга.

Величина $da = H_0/q_4$ – линейный масштаб по ВЗ.

В подпрограмме учитывается толщина растяжек **trast**, на которых держится вторичное или диагональное зеркало телескопа.

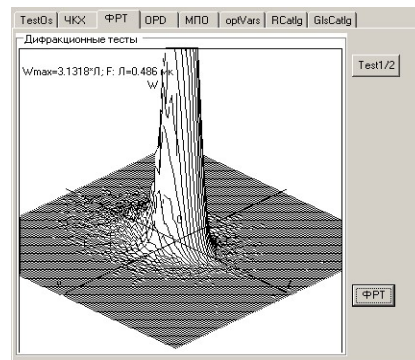
```
// befor CalcPSF
procedure preparePF(q:integer;var wc,ws:PVector);
var
  b1: boolean;
  i,j,n,q2,q4,qrL,qrR: integer;
  d3,da,iy,jz,r2,y2: float;
begin
  q2:=q div 2;
  q4:=q2 div 2;
  da:=H0*diffrImMast/q4;
  if Rastajki then
  begin
    qrL:=q2-round(trast/2/da);
    qrR:=q2+round(trast/2/da);
  end
  else
  begin
    qrL:=q2;
    qrR:=q2;
  end;
  // сканируем весь ВЗ, от -Н до +Н; 0.5 – смещение на полделения.:
  for i:=q4 to q2+q4-1 do
  if (i<=qrL) or (i>=qrL) then
  begin
    if i<=qrL then
      iy:=da*(q2-i-0.5);
    if i>=qrR then
      iy:=da*(qrR-i+0.5);
  // Для внеосевой ОС учитываем смещение ВЗ:
  if vneos then
    iy:=iy+VZshiftY;
  y2:=sqr(iy);
  for j:=q4 to q2+q4-1 do
  if (j<=qrL) or (j>=qrR) then
```

```

begin
  if j<=qrL then
    jz:=da*(qrL-j-0.5);
  if j>=qrR then
    jz:=da*(qrR-j+0.5);
  if vneos then
    jz:=jz+VZshiftZ;
  r2:=y2+sqr(jz);
  b1:=false;
// Учитываем (b1:=true) только рабочую (кольцевую) область ВЗ:
  if (r2<=H2) then
    b1:=true;
// Исключаем (b1:=false) экранированную область ВЗ:
  if ((not vneos) and (r2<Hv2)) then
    b1:=false;
  if b1 then
    begin
      n:=j+i*q;
// волновая ошибка ws определена в долях длины волны, поэтому d3 – это фаза:
      d3:=pi2*ws^[n];
      wc^[n]:=cos(d3);
      ws^[n]:=sin(d3);
    end;
  end;
end;
end;
end;

```

Псевдо-объемный График ФРТ:



```

// транспонирование квадрантов большой матрицы,
// образованной из одномерного массива V
procedure ReorgVector(var V:PVector;q:integer);
var
  i,j,k,q2: integer;
  ww,ff: PMatrix;
begin
  q2:=q div 2;
// формируем два вспомогательных массива:
  DimMatrix(ww,q2,q2);
  DimMatrix(ff,q2,q2);
  for i:=0 to q2-1 do
    for j:=0 to q2-1 do
// ... и вписываем в них данные:
    begin
      ww^[i]^j:=V^[q*i+j];
      ff^[i]^j:=V^[q*(q2+i)+q2+j];
    end;
// квадранты 1 и 4
  for i:=0 to q2-1 do
    for j:=0 to q2-1 do
    begin
      V^[q*i+j]:=ff^[i]^j;
      V^[q*(q2+i)+q2+j]:=ww^[i]^j;
    end;

```

```

    end;
    for i:=0 to q2-1 do
        for j:=0 to q2-1 do
            begin
                ww^[i]^j:=V^[q*i+q2+j];
                ff^[i]^j:=V^[q*(q2+i)+j];
            end;
        // квадранты 2 и 3
        for i:=0 to q2-1 do
            for j:=0 to q2-1 do
                begin
                    V^[q*i+q2+j]:=ff^[i]^j;
                    V^[q*(q2+i)+j]:=ww^[i]^j;
                end;
            // опускаем левую половину результирующей матрицы на 1 строку:
            for i:=q-1 downto 1 do
                for j:=0 to q2-1 do
                    begin
                        k:=q*i+j;
                        V^[k]:=V^[k-q];
                    end;
                //
                DelMatrix(ww,q2,q2);
                DelMatrix(ff,q2,q2);
            end;

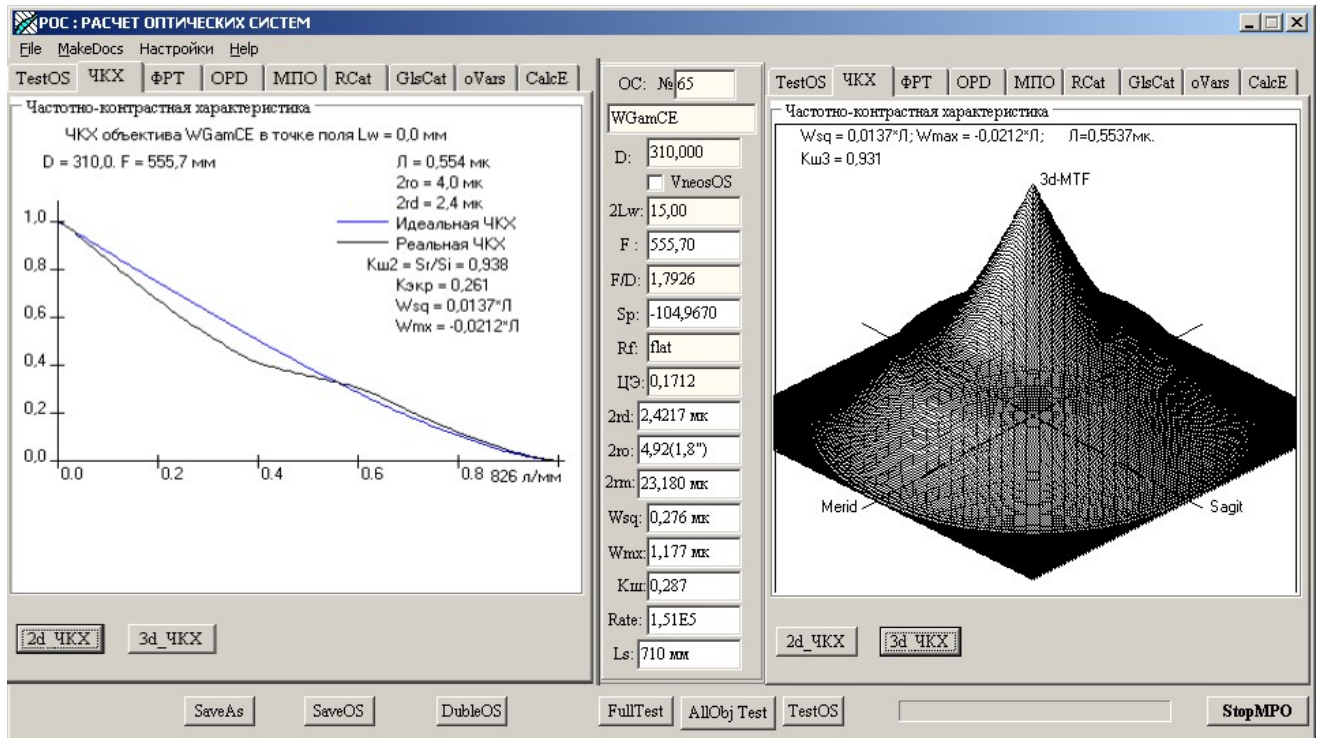
// CalcPSFarr производит БПФ входящей зрачковой
// функции (ФЗ), вычисляет в каждой точке яркость как сумму квадратов мнимой и реальной
// составляющих и реорганизует массив, переставляя местами квадранты результирующей
// матрицы, развёрнутой, как и все входящие массивы, в одномерный массив-вектор
function CalcPSFarr(
    wc: PVector; // массив ФЗ на q*q
    m0: integer; // = q
    var ws: PVector; // выходной массив Pupil Spread Function
    var mx: float // максимальное значение в массиве данных
): boolean; // false==out
var
    a,mx: float;
    i,k0,q: integer;
    outdat: PCompVec;
begin
    q:=m0;
    k0:=q*q;
    // формируем комплексный выходной рабочий массив
    DimCompVec(outdat,k0);
    for i:=0 to k0-1 do
        begin
            outdat^[i].re:=wc^[i];
            outdat^[i].im:=ws^[i];
        end;
    // ... и отправляем его на БПФ:
    doFFT(outdat,k0);
    mx:=0;

```

```

// возводим реальную и мнимую результирующие в квадрат и суммируем:
for i:=0 to k0-1 do
begin
  a:=sqr(outdat^[i].re)+sqr(outdat^[i].im);
  ws^[i]:=a;
// ищем в массиве максимальное значение:
  if (a > mx) then
    mx:=a;
end;
// исключаем деление на нуль при нормировании массива:
if (mx = 0) then
  mx:=1;
mrx:=mx;
// освобождаем память от рабочего массива:
DelCompVec(outdat,k0);
// реорганизуем результат, переставляя у матрицы квадранты:
ReorgVector(ws,q);
// сообщаем программе об успешном завершении работы:
CalcPSFarr:=true;
end;

```



2х- и 3х-мерные графики ЧКХ

```

// вычисление массива VV данных для ЧКХ
function CalcMTFarr(
  var vv:PVector; // MTF q-array
  q0:integer;     // q==2*D
  L:float        // =Lw
):boolean;      // false = out
var
  i,j,k0,n,q,q2: integer;
  a,mx: float;
  wc,ws: PVector;
  outdat: PCompVec;

```

```

begin
  q:=q0;
  k0:=q*q;
  q2:=q div 2;
  // два массива: реальная и мнимая составляющие
  DimVector(wc,k0);
  DimVector(ws,k0);
  if not CalcPFv(ws,L,Lambda,q) then
  // если зрачковая функция не посчитана
  begin
    CalcMTFarr:=false;
    exit;
  end;
  // подготавливаем массивы данных:
  preparePF(q,wc,ws);
  if not CalcPSFarr(wc,q,ws,mx) then
  // если массив данных ФРТ не посчитан:
  begin
    CalcMTFarr:=false;
    exit;
  end;
  // in ws - PSF
  DimCompVec(outdat,k0);
  // готовим массивы для второго БПФ:
  for i:=0 to k0-1 do
  begin
    outdat^[i].re:=0;
    outdat^[i].im:=ws^[i];
  end;
  // отправляем массивы на БПФ:
  doFFT(outdat,k0);
  // производим обработку результата БПФ:
  for i:=0 to q-1 do
    for j:=0 to q-1 do
      begin
        n:=j+i*q;
        wc^[n]:=sqrt(sqr(outdat^[n].re)+sqr(outdat^[n].im));
      end;
  // освобождаем память:
  DelCompVec(outdat,k0);
  // переставляем квадранты результирующей матрицы:
  ReorgVector(wc,q);
  n:=q*(q2-1)+q2;
  mx:=0;
  for i:=0 to q2-1 do
  // переносим данные из массива WC в массив VV и ищем максимум:
  begin
    a:=wc^[n+i];
    vv^[i]:=a;
    if abs(a)>mx then
      mx:=abs(a);
    end;
  mxm:=mx;
  if mxm=0 then

```

```

// предотвращаем деление на нуль:
  mxm:=1;
  for i:=0 to q2-1 do
// нормируем массив VV
  vv^[i]:=vv^[i]/mxm;
// освобождаем память:
  DelVector(wc,k0);
  DelVector(ws,k0);
// сообщаем об успехе:
  CalcMTFarr:=true;
end;

// расчёт данных для построения 3x-мерной ЧКХ
procedure Calc3dMTF(var ps,mt:PVector;var mx:float);
var
  i,j,k0,n,q: integer;
  a,L: float;
  wc,ws: PVector;
  outdat: PCompVec;
begin
  q:=NSec;
  k0:=q*q;
// формируем вспомогательные массивы
  DimVector(wc,k0);
  DimVector(ws,k0);
  for n:=0 to k0-1 do
// переносим зрачковую функцию во вспомогательный массив
  ws^[n]:=puplFunc^[n];
// делаем предобработку ФЗ
  preparePF(q,wc,ws);
  if CalcPSFarr(wc,q,ws,mx) then
// если массив ФРТ получен успешно, работаем дальше
  Begin
// формируем массив комплексных чисел и заполняем его
  DimCompVec(outdat,k0);
  for i:=0 to k0-1 do
  begin
    outdat^[i].re:=0;
    outdat^[i].im:=ws^[i];
  end;
// производим БПФ
  doFFT(outdat,k0);
  mx:=0;
  for i:=0 to q-1 do
    for j:=0 to q-1 do
// обрабатываем полученные данные
  begin
    n:=j+i*q;
    a:=sqrt(sqr(outdat^[n].re)+sqr(outdat^[n].im));
    mt^[n]:=a;
    if a>mx then
// находим максимальное значение
    mx:=a;
  end;

```

```
// освобождаем память
  DelCompVec (outdat, k0) ;
// преобразуем результирующую матрицу
  ReorgVector (mt, q) ;
end;
// освобождаем память
  DelVector (wc, k0) ;
  DelVector (ws, k0) ;
end;
```

7. ТЕСТИРОВАНИЕ ОС ПО ИСКУССТВЕННЫМ ОБЪЕКТАМ И СНИМКАМ РЕАЛЬНЫХ ОБЪЕКТОВ

При обсуждении на Астрофоруме программы РОС Андреем Зубаревым было высказано пожелание производить программное тестирование оптических систем по искусственным объектам: по одной или двум звёздам, по двум линиям или многоштриховым мИрам. Игорь Николаевич Панкратов посоветовал попробовать тестировать по снимку реального небесного объекта, например, по снимку Юпитера.

Оба совета были учтены в программном коде РОС в процедуре **MakeImgPF**.

В этом программном блоке синтезированная ФЗР формируется из одиночной ФЗ1 по следующему алгоритму:

1. Тест-объект разбивается на ряд точек, угловое расстояние между которыми выбирается меньше разрешающей способности объектива, так, чтобы после синтеза эти точки сливались в сплошную линию;
2. Для каждой точки тест-объекта вычисляются углы смещения в меридиональной и сагитальной плоскостях относительно его центральной точки;
3. В процедуре **makeArr** производится синтез результирующей ФЗР из ФЗ1 путем наклона последней на углы, посчитанные в п. 2.

Опыт показал: поскольку угловые размеры тест-объектов составляют малую величину, то нет необходимости вычислять ФЗ для каждой точки тест-объекта, а достаточно иметь ФЗ1 для его центральной точки, соответствующей углу поля, для которого обычно уже посчитана ФЗ1. Это экономит время тестирования и практически не вносит заметных ошибок.

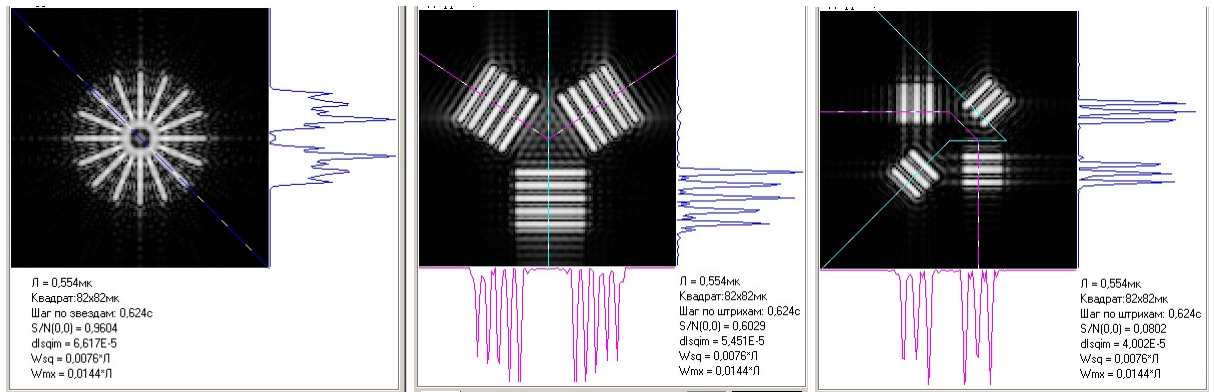
```
procedure MakeImgPF(m:byte;var ww1,ww2:PVector) ;
// pupil Func for: 2 or 4stars, 3 or 4-Mir
var
  q,q2,q4,qrL,qrR,m0: integer;
  da,dc: float;

procedure makeArr(k0:integer;v0,w0,db,de:float) ;
// формирование синтезированной ФЗР по ФЗ1 одной звезды
var
  bl: boolean;
  i,j,k,n: integer;
  b,c,s1,s2,iy,jz,r2,y2: float;
begin
  for i:=q4 to q4+q2-1 do
  // поиск на ФЗ незатенённой рабочей точки
  if (i<=qrL) or (i>=qrR) then
  begin
    if i<=qrL then
      iy:=da*(qrL-i-0.5);
    if i>=qrR then
      iy:=da*(qrR-i+0.5);
    if vneos then
      iy:=iy+VZshiftY;
    y2:=sqr(iy);
```

```

for j:=q4 to q4+q2-1 do
if (j<=qrL) or (j>=qrR) then
begin
if j<=qrL then
jz:=da*(qrL-j-0.5);
if j>=qrR then
jz:=da*(qrR-j+0.5);
if vneos then
jz:=jz+VZshiftZ;
r2:=sqr(jz)+y2;
b1:=false;
if (r2<=H2) then
b1:=true;
if ((not vneos) and (r2<sqr(Hv))) then
b1:=false;
if b1 then
// если найденная точка принадлежит незатенённой области ВЗ
begin
n:=j+i*q;
if band then
// если необходимо посчитать интерференционную полосу
PuplFunc^[n]:=iy*v0+ PuplFunc ^[n]
Else
// иначе синтезируем ФЗР
begin
s1:=0;
s2:=0;
c:=PuplFunc^[n];
for k:=0 to k0-1 do
// синтезируем линию из К-точек
begin
b:=(iy*(v0+db*k)+jz*(w0+de*k)+c)*pi2;
// суммируем фазы
s1:=s1+cos(b);
s2:=s2+sin(b);
end;
// охраняем результат в рабочих массивах
ww1^[n]:=ww1^[n]+s1;
ww2^[n]:=ww2^[n]+s2;
end;
end;
end;
end;
end;
end;
end;

```



Тестирование ОС по синтезированным мирам: радиальной, 3х- и 4х-штриховой.

```

procedure Img;
// преобразование изображения реального тест-объекта в ФЗ
procedure makeIm(m:float;v0,w0:float);
var
  i,j: integer;
  iy,jz: float;
procedure summator(n:integer;ka:float);
var
  b: float;
begin
  b:=(iy*v0+jz*w0+PuplFunc^[n])*pi2;
  ww1^[n]:=cos(b)*ka+ww1^[n];
  ww2^[n]:=sin(b)*ka+ww2^[n];
end;

var
  k: integer;
  a,r2,y2: float;
begin
  for i:=q4 to q4+q2-1 do
  if (i<=qrL) or (i>=qrR) then
  begin
  if i<=qrL then
    iy:=da*(qrL-i-0.5);
  if i>=qrR then
    iy:=da*(qrR-i+0.5);
  y2:=sqr(iy);
  for j:=q4 to q4+q2-1 do
  if (j<=qrL) or (j>=qrR) then
  begin
  if j<=qrL then
    jz:=da*(qrL-j-0.5);
  if j>=qrR then
    jz:=da*(qrR-j+0.5);
  r2:=y2+sqr(jz);
  if (r2<=H2)
  then
    summator(q*i+j,m);
  end;
  end;
end;
end;

```

```

var
  i,j,i0,j0,h,w: integer;
  di,dy,Isa,Isq,mx: float;
  PrgsBar: TProgressBar;
begin
  w:=fitImage.col;
  h:=fitImage.lin;
  Isq:=fitImage.Isqv;
  i:=nSec div 2;
  if w>i then
    w:=i;
  if h>i then
    h:=i;
  PrgsBar:=frmMain.PAT_PrgsBar;
  PrgsBar.position:=0;
  i0:=w div 2;
  j0:=i0;
  PrgsBar.Max:=h;
  PrgsBar.Step:=1;
  for j:=0 to h-1 do
  begin
    dy:=(j-j0)*dc;
// устраним «зависание» компьютера
    Application.ProcessMessages;
    for i:=0 to w-1 do
      // на вход БПФ будет подан не сигнал, а его контраст!
      makeIm(kadr^[j]^[i]/Isq, (i-i0)*dc,dy);
// прогресс-бар добавляет «кубик» в информационную линейку
      PrgsBar.StepIt;
    end;
  end;

// 7*7 Stars
procedure PolSta;
var
  ot: PVector;

  procedure BuildPFforPolSta(k,n:integer);
// преобразование меридиональной ФЗ в пространственную ФЗ:
  var
    b: boolean;
    i,j: integer;
    z: float;
  begin
    if (k = 0) and (n = 0) then
      exit;
    z:=(abs(k)+abs(n))/sqrt2;
    b:=false;
    if (k*n > 0) then
      b:=true;
// зрачковая функция в массиве ot повернута на 90 градусов
    for i:=q4 to q4+q2-1 do
      for j:=q4 to q4+q2-1 do
        ot^[q*j+i]:=PuplFunc^[q*i+j];

```

```

// модифицируем зрачковую функцию:
if (k = 0) then
// для горизонтальной оси - поворот зрачковой функции на 90 градусов
for i:=q4 to q4+q2-1 do
  for j:=q4 to q4+q2-1 do
    begin
      PuplFunc^[q*i+j]:=ot^[q*i+j];
    end
  else
    if b then
// если знаки у k и n одинаковые (квадранты 1 и 3):
    for i:=q4 to q4+q2-1 do
      for j:=q4 to q4+q2-1 do
        begin

PuplFunc^[q*i+j]:=(abs(n)*ot^[q*i+j]+abs(k)*PuplFunc^[q*i+j])/z;
        end
      else
        if (n < 0) then
// если знаки разные и n отрицательный (2 квадрант):
        for i:=q4 to q4+q2-1 do
          for j:=q4 to q4+q2-1 do
            begin
              PuplFunc^[q*i+j]:=(n*ot^[q*i+j]+k*PuplFunc^[q*i+j])/z;
            end
          else
            if (n <> 0) then
// если знаки разные и n не нулевой (4 квадрант):
            for i:=q4 to q4+q2-1 do
              for j:=q4 to q4+q2-1 do
                begin
                  PuplFunc^[q*i+j]:=- (n*ot^[q*i+j]+k*PuplFunc^[q*i+j])/z;
                end;
            end;
        end;
end;

var
  i,j,i0: integer;
  c,d0,r: float;
begin
// считываем заданные для данного теста уставки:
with frmMain do
  begin
    i0:=paracorrInt('sPolSta',sPolSta_Ed.Text); // число звёзд на Lw
// смещение между звёздами в дифр. тестах:
    starShift:=paraCorrEx('Сдвиг звезд',starShift_Ed.Text)*usec/2;
// расстояние между звёздами на изображении поля:
    d0:=paracorrEx('dPolSta',dPolSta_Ed.Text)*StarShift*1e3/Lambda/2;
  end;
// шаг между звёздами на поле, в мм
  c:=Lw/i0/sqrt2;
  DimVector(ot,q*q);
  for i:=-i0 to i0 do
    for j:=-i0 to i0 do
      begin

```

```

if CalibrImg then
// для эталона - нулевая волновая ошибка:
  ZeroDim(PuplFunc,q)
else
  begin
// меняя знак у r, разворачиваем зрачковую функцию на 180 градусов:
  r:=-sqrt(sqr(c*i)+sqr(c*j))*sign(i);
  if (i = 0) then
    if (j < 0) then
      r:=-r;
// вычисляем зрачковую функцию для данной точки поля:
  CalcPFv(PuplFunc,r,Lambda,q);
  end;
// преобразуем зрачковую функцию для 1й звезды
// - в зависимости от её положения на поле:
  BuildPFforPolSta(i,j);
// формируем ФЗ для всего звёздного поля:
  makeArr(1,d0*i,d0*j,0,0);
  end;
  DelVector(ot,q*q);
end;

```

// текст РОС формируется из 33 точек

```

procedure ros;
var b: float;
begin
  b:=dc*sqrt2;
  // буква O
  makeArr(5,1*b,-3*b,-b,b);
  makeArr(5,3*b,-1*b,-b,b);
  makeArr(1,-2*b,2*b,0,0);
  makeArr(1,2*b,-2*b,0,0);
  // буква P
  makeArr(5,-8*b,-4*b,b,-b);
  makeArr(3,-4*b,-4*b,-b,b);
  makeArr(1,-7*b,-3*b,0,0);
  makeArr(1,-5*b,-5*b,0,0);
  // буква C
  makeArr(5,6*b,2*b,-b,b);
  makeArr(2,5*b,7*b,-b,b);
  makeArr(2,8*b,4*b,-b,b);
  makeArr(1,3*b,7*b,0,0);
  makeArr(1,7*b,3*b,0,0);
end;

```

// формирование 4х-штриховой миры

```

procedure mi4;
var
  i:integer;
  b0: float;
begin
  b0:=0.6667*dc;
  i:=18;
  makeArr(i,13*dc,5*dc,0,b0);

```

```

makeArr(i,9*dc,5*dc,0,b0);
makeArr(i,5*dc,5*dc,0,b0);
makeArr(i,-6*dc,-6*dc,-b0,0);
makeArr(i,-6*dc,-10*dc,-b0,0);
makeArr(i,-6*dc,-14*dc,-b0,0);
b0:=b0*0.6667;
makeArr(i,-10.6*dc,5*dc,-b0,b0);
makeArr(i,-7.8*dc,7.8*dc,-b0,b0);
makeArr(i,-5*dc,10.6*dc,-b0,b0);
makeArr(i,3.8*dc,-11.5*dc,b0,b0);
makeArr(i,6.6*dc,-14.3*dc,b0,b0);
makeArr(i,9.4*dc,-17.1*dc,b0,b0);
end;

// формирование 3х-штриховой миры по 5 линий
procedure mi3;
var
  i: integer;
  b0,e0: float;
begin
  b0:=0.43*dc;
  e0:=1.57*b0;
  i:=25;
  makeArr(i,26.5*dc,-9.5*dc,0,2*b0);
  makeArr(i,22.5*dc,-9.5*dc,0,2*b0);
  makeArr(i,18.5*dc,-9.5*dc,0,2*b0);
  makeArr(i,14.5*dc,-9.5*dc,0,2*b0);
  makeArr(i,10.5*dc,-9.5*dc,0,2*b0);
  makeArr(i,-13*dc,4*dc,e0,b0);
  makeArr(i,-15.25*dc,7.25*dc,e0,b0);
  makeArr(i,-17.5*dc,10.5*dc,e0,b0);
  makeArr(i,-19.75*dc,13.75*dc,e0,b0);
  makeArr(i,-22*dc,17*dc,e0,b0);
  makeArr(i,-13*dc,-4*dc,e0,-b0);
  makeArr(i,-15.25*dc,-7.25*dc,e0,-b0);
  makeArr(i,-17.5*dc,-10.5*dc,e0,-b0);
  makeArr(i,-19.75*dc,-13.75*dc,e0,-b0);
  makeArr(i,-22*dc,-17*dc,e0,-b0);
end;

// две линии
procedure Li2;
var a,b: float;
begin
  a:=dc*2; b:=dc/2;
  makeArr(30,a,-15*b,0,b);
  makeArr(30,-a,-15*b,0,b);
end;

// 4 или 14 точек
procedure star4(i0:integer);
var
  i: integer;
  a,c,d,f,r,s8,c8: float;

```

```

begin
  f:=pi/8;
  c8:=cos(f);
  s8:=sin(f);
  for i:=0 to i0 do
  begin
    r:=(4+i)*dc;
    a:=r/sqrt2;
    c:=r*c8;
    d:=r*s8;
    makeArr(1,a,a,0,0);
    makeArr(1,-a,a,0,0);
    makeArr(1,-a,-a,0,0);
    makeArr(1,a,-a,0,0);
    makeArr(1,r,0,0,0);
    makeArr(1,0,r,0,0);
    makeArr(1,-r,0,0,0);
    makeArr(1,0,-r,0,0);
    makeArr(1,c,d,0,0);
    makeArr(1,c,-d,0,0);
    makeArr(1,d,c,0,0);
    makeArr(1,d,-c,0,0);
    makeArr(1,-c,d,0,0);
    makeArr(1,-c,-d,0,0);
    makeArr(1,-d,c,0,0);
    makeArr(1,-d,-c,0,0);
  end;
end;

// 2 звезды
procedure sta2;
var
  ii: integer;
  a: float;
begin
  ii:=round(ParaCorrEx('i1/i2 для двойных
звёзд',frmMain.Ii2zv_Ed.Text));
  a:=2*dc;
  makeArr(1,a,0,0,0);
  makeArr(ii,-a,0,0,0);
end;

// одна звезда
procedure stal;
begin
  makeArr(1,0,0,0,0);
end;

procedure intrfrnce;
// формирование интерференционной полосы
var
  i,j,n: integer;
  a,y2,z2: float;
begin

```

```

// основная ФЗ
makeArr(1,0,0,0,0);
// ФЗ, наклонённая на угол dc*2
makeArr(1,2*dc,0,0,0);
for i:=q4 to q4+q2-1 do
begin
  if i<q2 then
    y2:=sqr(da*(q2-i-0.5))
  else
    y2:=sqr(da*(q2-i+0.5));
  for j:=q4 to q4+q2-1 do
  begin
    if j<q2 then
      z2:=sqr(da*(q2-j-0.5))
    else
      z2:=sqr(da*(q2-j+0.5));
    if ((y2+z2)<=H2) then
// для рабочей зоны ВЗ формируем sin-cos-массивы
    begin
      n:=j+i*q;
      a:=BuildW^[n]*pi2;
      ww1^[n]:=ww1^[n]+cos(a);
      ww2^[n]:=ww2^[n]+sin(a);
    end;
  end;
end;
end;

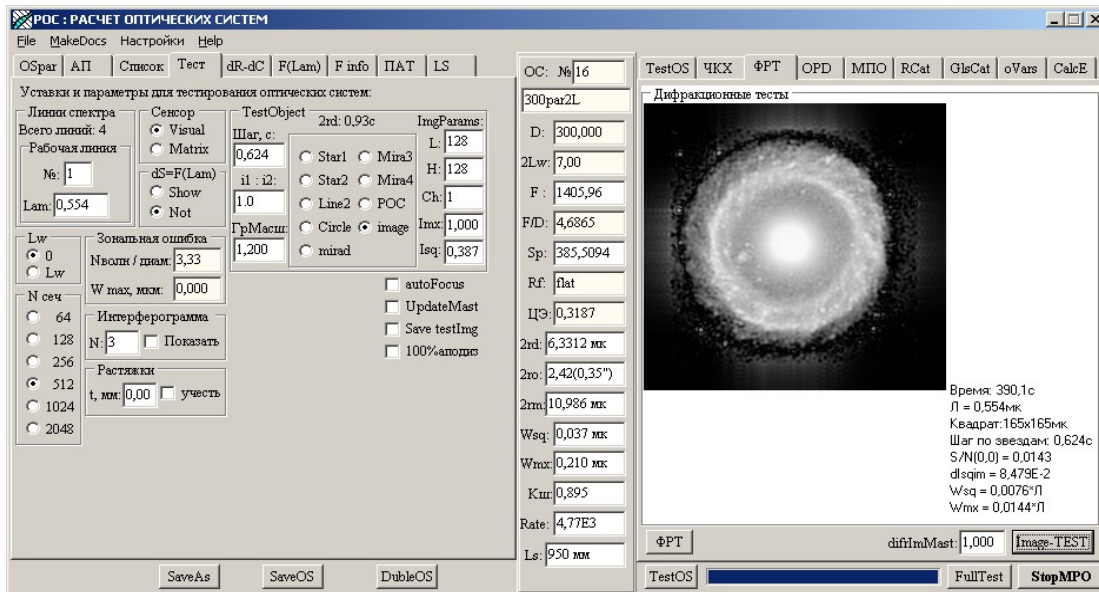
begin
q:=nSec;
m0:=q*q;
q2:=q div 2;
q4:=q div 4;
da:=Hk*difrImMast/q4;
if rastajki then
begin
  qrL:=q2-round(trast/2/da);
  qrR:=q2+round(trast/2/da);
end
else
begin
  qrL:=q2;
  qrR:=q2;
end;
// шаг=4*dc=2*Lam*Alf
dc:=1e3*starShift/Lambda/2;
if band then
  intrfrnce
else
  case m of
    0: sta1;
    1: sta2;
    2: Li2;
    3: star4(0);
  end;
end;

```

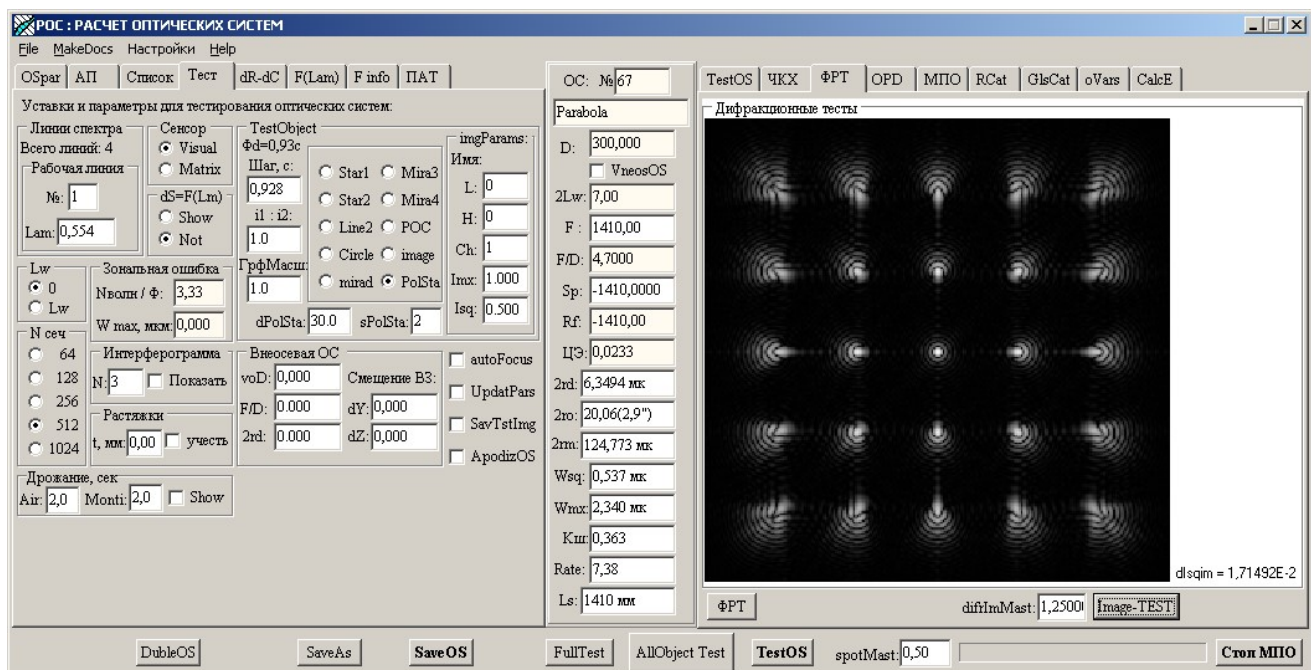
```

4: star4(16);
5: mi3;
6: mi4;
7: ros;
9: PolSta;
else
  Img;
end;
end;
end;
end;

```



Пример тестирования системы по снимку кольцевой туманности процедурой `Img`.



Тестирование параболоида по полю из искусственных звёзд процедурой `PolSta`.

8. ОПТИМИЗАЦИЯ ПАРАМЕТРОВ

Исходный вариант ОС крайне редко может устроить заказчика, поэтому приходится производить автоматическую коррекцию параметров системы, пытаясь улучшить её характеристики. Для этих целей в разных программах используются различные алгоритмы оптимизации параметров систем, причём авторы расчётных программ обычно ограничиваются каким-то одним, обычно методом наименьших квадратов (МНК), например, Земакс К. Мура, Демос В. Устинова. Д. Дилворс, автор Synopsys, сосредоточился на алгоритме pseudo-second-derivative (PSD), дополнив его «глобальным» методом «отжига» simulation annealing (SimAnn).

В программе РОС используются восемь алгоритмов:

- Lmgold – метод линейного спуска, основанный на «золотом сечении»,
- PostSecDer – использование результатов предыдущих шагов спуска,
- Marquardt – с применением вторых производных оценочной функции,
- SimplexNM – безградиентный алгоритм Нелдера и Мида,
- BFGS – градиентный метод Бroyдена-Флетчера-Голдфарба-Шенно,
- GlobalSearch – глобальный метод систематического поиска,
- GeneticAlgo – глобальный «генетический» алгоритм поиска,
- SimulAnneal – глобальный метод «отжига».

По своему определению оптимизация всегда локальна, поскольку призвана выбрать лучшее решение из имеющихся. Кроме того, для оптической системы, имеющей определённый состав (структуру), в узких рамках технического задания в принципе может существовать только локальный минимум. Тем не менее практика доказала целесообразность наличия богатого набора «локальных» алгоритмов оптимизации оптических систем.

Так, локальный метод оптимизации Marquardt, в котором используются, помимо производных первого порядка (градиента), ещё и производные второго порядка, эффективен только на начальном этапе оптимизации систем, далёких от совершенства. Буквально за два-три цикла ему удаётся улучшить систему до удовлетворительного уровня. Но дальше он начинает буксовать, так как на равнине вторые производные близки к нулю.

Градиентный метод BFGS по времени и по эффективности наиболее приемлем на среднем этапе оптимизации. Этот универсальный метод – комплексный: в нем определяется градиент, как вектор, указывающий направление спуска, но основную работу выполняет программный блок линейной оптимизации LMgold. Несмотря на некоторое замедление, расчёт направляющего градиента вносит в поисковую работу осмысленность действий. Не менее эффективным в BFGS является программный блок, который, используя результаты предыдущей итерации, не вычисляя вторых производных, вносит элемент глобальной оптимизации, делая долгосроч-

ный прогноз процесса оптимизации. К алгоритму BFGS на его входе (в подпрограмме New-Grad) была удачно подключена производная 3-го порядка.

Надо заметить, что BFGS работает «по-крупному», игнорируя нюансы. Так, алгоритм LMgold, с помощью которого BFGS, осуществляет линейный спуск одновременно по всем переменным оптимизации – в отличие, например, от покоординатного спуска. Причём шаг вдоль каждой переменной выбирается пропорционально её производной, что оставляет возможность спрятаться настоящему минимуму вблизи этой срединной траектории.

Алгоритм А. Нелдера и Р. Мида, SimplexNM, благодаря своеобразию и «въедливости», оказывается целесообразным на конечных этапах оптимизации и особенно в тупиковых ситуациях на равнине, когда требуется наивысшая чувствительность к малейшим перепадам в топографии оптимизационной местности.

И хотя никакой метод не может выжать из системы более того, на что она способна по своей природе, каждый «локальный» метод позволяет достигать только ему присущий минимум. Причём варьируя параметрами метода, можно всякий раз получать новый минимум, нередко более глубокий, чем предыдущий или достигнутый с помощью других алгоритмов оптимизации. Таким образом, «локальные» методы оптимизации проявляют свои «глобальные» возможности.

Дополнительно к локальным методам в РОС можно подключать метод «глобальной» оптимизации, «метод отжига» (SimAnn), обеспечивающий «унифицированное» по всему полю пятно, а также «генетический алгоритм» GeneticAlgo и метод глобального поиска, Global-Search.

Формирование скалярного вектора переменных оптимизации

```
procedure insertVars;  
var kp: integer;
```

pu – текущий вектор переменных (толщин, радиусов и т.п.),
np и zp – векторы с номерами переменных в прямом и возвратном ходе,
la – текущий счетчик переменных оптимизации,
kp – глобальный счётчик в списке переменных оптимизации.

```
procedure insV(var pu:PVector;var np,zp:PbVector;var la:integer);  
var i,j,k: integer;  
begin  
  la:=0; // начинаем счёт с нуля  
  for i:=0 to ns-1 do // сканируем всю ОС, от ВЗ до Фокуса  
  begin  
    j:=np^[i]; // параметр с номером j отмечен как переменная  
    k:=zp^[i]; // номер при возвратном ходе луча  
    if ((j=i) and (k=45)) then  
  // номер параметра I совпал с отмеченным номером j;  
  // 45 – прочерк, т.е. через параметр нет возвратного хода  
  begin  
    pX^[kp] :=pu^[i]; // заполняем формальный список переменных  
    // оптимизации значением конкретного параметра  
    inc(la); // увеличиваем текущий счётчик на единицу  
    inc(kp); // увеличиваем на единицу глобальный счётчик  
  end;
```

```

end;
end; {insV}

// формируется массив pX активных параметров:
begin
  kp:=0; // обнуляем глобальный счётчик переменных оптимизации
  insv(rrs,nbb,zbb,abdim); // добавляем в список радиуса
  insv(l1,n11,z11,aldim); // добавляем в список толщины
  if asfer then
  // если в ОС имеются АП
  begin
    insv(ex,nex,zex,aadim); // добавляем в список эксцентриситеты
    if asfVP then begin
  // если ОС содержит АП-ВП
    insv(a3,nex,zex,aadim); // добавляем в список К3
    insv(a5,nex,zex,aadim); // добавляем в список К5
    insv(a7,nex,zex,aadim); // добавляем в список К7
    insv(a9,nex,zex,aadim); // добавляем в список К9
    end;
  end;
  // фиксируем общее число активных переменных оптимизации:
  actiVar:=kp;
end; {insertVars}

```

РОС : РАСЧЕТ ОПТИЧЕСКИХ СИСТЕМ

File MakeDocs Настройки Help

ОСpar АП Список Тест dR-dC F(Lam) F info ПАТ LS

Таблица параметров текущей ОС:

N	R	d	Glas	Dw	Xw	Вес, кг
0	2247.3693	8,0000	+Air	310,22	6,338	4,520E0
1	-3239.4027	31,0000	+LK7	309,40	-3,645	4,126E0
2	-526.9333	646,3350	+Air	254,86	-15,555	1,951E-2
3	-1009.1857	27,2500	+LK7	257,56	-9,329	0,000E0
4	-526.9333	-27,2500	-LK7	246,34	-14,383	0,000E0
5	-191.4903	-406,7128	-Air	89,84	-2,412	0,000E0
6	-5292.0220	-5,0000	-LK7	87,79	-0,066	0,000E0
7	flat	-121,2140	-Air	15,00	0,000	0,000E0
8			-Air			
9						
10						
11						
12						
13						
14						
15						
16						
17						
18						

ОС: №65

WGAmCE

D: 310,000

VneOS

2Lw: 15,00

F: 521,72

F/D: 1,6830

Sp: -56,1214

Rf: flat

ЦЭ: 0,1712

2rd: 2,2736 мк

2ro: 7,76(3,1")

2rm: 35,317 мк

Wsq: 0,613 мк

Wmx: 2,806 мк

Kш: 0,154

Rate: 5,80E3

Лs: 529 мм

TestOS ЧКХ ФРТ OPD MPO RCat GlsCat oVars CalcE

В РАБОТЕ ОС: WGAmCE из файла C:\ROS\DATA\TRAIN.DAT

Старт: 21:59:56 2rd=2,4304 мк Step: 10

F0=521.7 мм F=557.693 мм

2ro=6.132 мк ИДЕТ ОПТИМИЗАЦИЯ 2ro=4.1533 мк

2rmax=35.317 мк Rate0=6.54E3 Зон: 4; Лучей: 16.; Звезд: 3 2rmax=23.8569 мк

in Axy0=15.594% in Axy=28.605% 2rs=12.26773 мк

dw0=0.6134 мк Wsq=0.28595 мк

Оптимизируется: 2ro+Wsq Время:22:00:32

step	1	2	3	4	5	6	7	8	9	10
2ro:	5.107	4.332	4.299	4.284	4.263	4.235	4.226	4.189	4.142	4.153
Wsq:	0.338	0.291	0.290	0.289	0.289	0.289	0.288	0.288	0.287	0.286
Wmx:	1.624	1.265	1.239	1.192	1.218	1.206	1.215	1.238	1.236	1.213
Kш:	0.189	0.231	0.244	0.239	0.269	0.280	0.286	0.269	0.286	0.286

SpotM: 0.35

SaveAs SaveOS DupleOS FullTest AllObj Test TestOS StopMPO

Программа РОС на 11м шаге оптимизации параметров ОС

sq2ro – это основной программный блок, управляющий ходом оптимизации: производится изменение значений параметров в списке переменных оптимизации, затем ОС тестируется в новой точке пространства переменных оптимизации.

{ \$F+ }

// вычисляет значение целевой функции качества

```

// optX - зашифрованный перечень варьируемых переменных
function sq2ro(var optX:pVector): float; {целевая функция качества}
var kp,kpm: integer;
// внесение изменений в параметры ОС по результатам оптимизации:
procedure inpp(var c:char;var np,zp:PbVector;var opu:PVector);
var
  i,j,m,sn: integer;
  b,cr,h: float;
begin
  for i:=0 to ns-1 do
  begin
    j:=np^[i];
    m:=zp^[j];
    if (j = i) then
    begin
      if (m = 45) then
      begin
        if (c = 'r') then
        // если оптимизируемый параметр - R или 1/R:
        begin
          cr:=optX^[kp];
          if MPObyC then
          // если оптимизация идёт по кривизнам поверхностей:
          if (cr = 0) then
          // для плоскости:
          b:=9e9
          else
          // для прочих:
          b:=1/cr
          else
          // если оптимизация идёт по радиусам поверхностей:
          b:=cr;
          // берём значение полудиаметра текущей поверхности:
          h:=abs(hh1^[i])+1;
          if ((abs(b)-h) < 0) then
          // если значение предлагаемого радиуса меньше полудиаметра,
          // то препятствуем возникновению коллапса:
          b:= h*sign(b);
          end
          else
          // иначе - предложение принимается:
          b:=optX^[kp];
          if (c = 'l') then
          // если оптимизируемый параметр - толщина:
          begin
            sn:=sign(opu^[i]);
            if (sign(b) <> sn) then
            // не позволяем изменять знак у толщин, оставляя его с тем же
            // знаком,но почти нулевым, - чтобы была возможность его увеличивать
            b:=eps*q;
            end;
          // остальные типы переменных переносятся как есть, без изменений:
          opu^[i]:=b;
          if (kp < kpm) then

```

```

// если не больше числа параметров, то наращиваем глобальный счетчик
  inc(kp);
end
else
// если параметр пассивный:
begin
  b:=opu^[m];
  case c of
    'l': b:=b*sign_d^[i]+ofst_d^[i]; // учитываем знак и смещение
    'r': b:=b*scaleR^[i];           // учитываем масштаб
    'e': b:=b*scaleEx^[i];         // учитываем масштаб
  end;
  pu^[i]:=b; // вставляем изменённое значение параметра
end;
end;
end;

// основной блок подпрограммы sq2ro:
var
  ch: char;
  i: integer;
  sum: float;
begin
  kp:=0; // обнуляем глобальный счётчик
  kpm:=abdim; // число переменных радиусов
// вносим изменения в разного типа параметры ОС:
  if kpm<>0 then
// если радиуса включены в состав переменных оптимизации
  begin
    ch:='r'; // признак радиуса
    inpp(ch,rrs,nbb,zbb);
  end;
  if aldim<>0 then
// если толщины включены в состав переменных оптимизации
  begin
    ch:='l'; // признак толщины
// наращиваем глобальный счётчик на число переменных толщин
    inc(kpm,aldim);
    inpp(ch,ll,nll,zll);
  end;
  if (asfer and (aadim<>0)) then
  begin
    ch:='e'; // признак АП
    inc(kpm,aadim);
    inpp(ch,ex,nex,zex);
    if KPSH then
// если в системе имеются коррекционные пластины Шмидта:
  begin
    calcH;
    for i:=0 to ns-1 do
      if (i=nex^[i]) then
        begin
          if ((abs(ex^[i])>mizOpt) and (abs(rrs^[i])>=flat)) then
            updateOPK(i); // обновляем планоидную поверхность
        end;
      end;
    end;
  end;
  end;
end;

```

```

    end;
end;
if asfVP then
// если АП-ВП:
begin
    inc(kpm,aadim);
    inpp(ch,a3,nex,zex);
    inc(kpm,aadim);
    inpp(ch,a5,nex,zex);
    inc(kpm,aadim);
    inpp(ch,a7,nex,zex);
    inc(kpm,aadim);
    inpp(ch,a9,nex,zex);
end;
end;
{вычисление функции качества при новых параметрах ОС; minro=1e-5}
    CRate; // вычислили характеристики качества обновлённой ОС
    sum:=0; // обнуляем значение функции качества
// и вычисляем её значение при новых параметрах ОС:
if b0 then // если установлена опция «стабилизировать фокус»
    sum:=sum+sqr((Fp-F1)*wesF);
if b1 then // если нужно стабилизировать последний отрезок
    sum:=sum+sqr((abs(11^[ns-1])-LastD)*wesSp);
if b2 then // если нужно уменьшить дрожание до кружка Эйри
    sum:=sum+sqr((F1*Droj-rdfr)*wesDrj);
if b3 then // если нужно уменьшить пятно до кружка Эйри
    sum:=sum+sqr((srod-minro)*wes2ro);
if b4 then // если нужно уменьшить 2гомах до кружка Эйри
    sum:=sum+sqr((maxRo-rdfr)*wes2rmx);
if b5 then // если нужно уменьшить dWsq до minro
    sum:=sum+sqr((swar-minro)*wesWsqv);
if b6 then // если нужно уменьшить dWmax до minro
    sum:=sum+sqr((swam-minro)*wesWmx);
if b7 then // если нужно увеличить рейтинг до Ratemax
    sum:=sum+sqr((maxRate-Rate)*wesRate);
if b8 then // если нужно увеличить псевдо-Кш до 1
    sum:=sum+sqr((1-sumAry)*wesKsh);
inc(Nsq2ro); // число вычислений sq2ro
result:=sqrt(sum); // значение целевой функции качества
end;
{$F-}

{=====}

```

Далее следует программный код (процедуры F_r, LMgold, CalcGrad, BFGS и др.), заимствованный из пакета программных модулей на Паскале, выложенного Jean Debord в сети Internet для свободного пользования, и адаптированный к особенностям программы РОС.

{ проба целевой функции в точке с приращением формальных параметров на $r \cdot DeX$, где DeX – значение градиента (первой производной от целевой функции по параметру pX)}

```

function F_r(r:float):float;
var i: integer;

```

```

begin
  for i:=0 to nvar do
    Xt^[i]:=pX^[i]+r*DeX^[i];
    F_r:=sq2ro(Xt);
  end;

```

{=== алгоритм линейного спуска с применением «золотого сечения»:
 модифицирует переменную оптимизации до 1000 * Gradient
 GOLD = 1.61803398874989484821, CGOLD = 1 - GOLD =====}

```

procedure LMgold;
var
  A,B,C,Fa,Fb,Fc,F1,F2,X0,X1,X2,X3: Float;
  k: integer;
{_____ проба целевой функции в точке «золотого сечения» _____}
procedure MB2;
begin
  C:=B+GOLD*(B-A);
  Fc:=F_r(C);
end;
{_____}
begin
  A:=0;
  B:=1;
  Fa:=fu;
  Fb:=F_r(B);
  if Fb>Fa then
  begin
    FSwap(A,B);
    FSwap(Fa,Fb);
  end;
  MB2;
  while Fc<Fb do
  begin
    A:=B;
    B:=C;
    Fa:=Fb;
    Fb:=Fc;
    MB2;
  end;
  if A>C then
  begin
    FSwap(A,C);
    FSwap(Fa,Fc);
  end;
  X0:=A;
  X3:=C;
  if (C-B)>(B-A) then
  begin
    X1:=B;
    F1:=Fb;
    X2:=B+CGOLD*(C-B);
    F2:=F_r(X2);
  end

```

```

else
begin
  X2:=B;
  F2:=Fb;
  X1:=B-CGOLD*(B-A);
  F1:=F_r(X1);
end;
k:=1;
// GoldIter = 100, precesion = eps = 1.65e-10.
while ((k<GoldIter) and (abs(X3-X0)>precesion*(abs(X1)+abs(X2))))
do
  if F2<F1 then
  begin
    X0:=X1;
    X1:=X2;
    F1:=F2;
    X2:=X1+CGOLD*(X3-X1);
    F2:=F_r(X2);
    inc(k);
  end
  else
  begin
    X3:=X2;
    X2:=X1;
    F2:=F1;
    X1:=X2-CGOLD*(X2-X0);
    F1:=F_r(X1);
    inc(k);
  end;
  if F1<F2 then
  fu:=F_r(X1)
  else
  fu:=F_r(X2);
// переносим полученные значения переменных из Xt в pX:
  copyVector(pX,Xt,0,nvar);
end;

{===== вычисление градиента =====}

procedure CalcGrad;
var
  t,dlx,Fpls,Fmns: Float;
  i: Integer;
begin
  for i:=0 to nvar do
  begin
    t:=pX^[i];
    if t<>0 then // в работе участвуют только ненулевые переменные
    begin
      dlx:=delPar*t; // образуем приращение переменной
      pX^[i]:=t-dlx; // уменьшаем переменную
      Fmns:=sq2ro(pX); // вычисляем целевую функцию
      pX^[i]:=t+dlx; // увеличиваем переменную
      Fpls:=sq2ro(pX); // вычисляем целевую функцию
    end;
  end;
end;

```

```

// Получаем значение градиента с удвоенной точностью:
  pG^[i]:=(Fpls-Fmns)/(dlx*2);
  pX^[i]:=t;          // возвращаем переменной исходное значение
end
else
  pG^[i]:=0;         // если переменная нулевая
end;
end;

{=====}
// В отличие от CalcGrad здесь используется производная 3го порядка:
{=====}
procedure NewGrad;
var
  a,d,pr1,pr2,pr3,t,dlx,Fpls,Fmns: Float;
  i: Integer;
begin
  for i:=0 to nvar do
  begin
    t:=pX^[i];
    if t<>0 then
    begin
      dlx:=delPar*t;
      pX^[i]:=t-dlx;
      Fmns:=sq2ro(pX);
      pX^[i]:=t+dlx;
      Fpls:=sq2ro(pX);
      pr1:=(Fpls-Fmns)/(dlx*2);
      pr2:=(Fpls-fu*2+Fmns)/sqr(dlx);
      pG^[i]:=pr1;
      if abs(pr2)>eps then
      begin
        a:=-pr1/pr2;
        if fu>Rdfr then
          d:=sqr(a)-Rdfr*2/pr2
        else
          d:=sqr(a)-fu*2/pr2;
        if d>0 then
          DeX^[i]:=a+sqrt(d)
        else
          DeX^[i]:=a;
        if pr1<usec then
          begin
            pX^[i]:=t+dlx*2;
            // вычисление производной 3го порядка:
            pr3:=(sq2ro(pX)-Fpls*3+Fmns*3-fu)/dlx/sqr(dlx);
            if pr3<>0 then
              DeX^[i]:=-pr2*2/pr3
            else
              DeX^[i]:=pr1;
            end;
          end
        else
          DeX^[i]:=-pr1;
        end;
      end;
    end;
  end;
end;

```

```

    pX^[i]:=t;
end
else
    DeX^[i]:=0;
end;
end;

```

{===== алгоритм Бройдена-Флетчера-Голдфарба-Шенно =====}

```

procedure BFGS;
var
    i,j,itr,n: integer;
    sum1,sum2,r1,r2: float;
begin
    n:=nvar;
    NewGrad; //
    if AbsMax(pG,n)<ibm0 then
// если максимальный градиент ничтожно мал, выходим из процедуры:
    begin
        ConOpt:=true;
        exit;
    end;
// формируем начальную матрицу-псевдогессиан:
    for i:=0 to n do
        for j:=0 to n do
            if i=j then
                pH^[i]^[j]:=1
            else
                pH^[i]^[j]:=0;
        end;
    itr:=1;
    repeat
        if quit then
// если пользователь прервал процесс, выходим из процедуры:
        begin
            ConOpt:=true;
            exit;
        end;
        mxm:=AbsMax(DeX,n);
        if (mxm>2) then
// если градиенты велики, нормируем их по максимуму:
        for i:=0 to n do
            DeX^[i]:=DeX^[i]/mxm;
// сохраняем предыдущие значения переменных и градиентов:
        CopyVector(OldX,pX,0,n);
        CopyVector(OldG,pG,0,n);

// делаем линейный спуск:
        LMSearch;
// вычисляем градиенты при новых значениях переменных:
        CalcGrad;
// вычисляем приращения градиентов и переменных оптимизации:
        for i:=0 to n do
            begin
                dG^[i]:=pG^[i]-OldG^[i];
            end;
        end;
    until ConOpt;

```

```

    dx^[i]:=pX^[i]-OldX^[i];
    end;
// вычисляем вспомогательные величины:
for i:=0 to n do
begin
    sum1:=0;
    for J:=0 to n do
        sum1:=sum1+pH^[i]^[J]*dG^[J];
        HdG^[i]:=sum1;
    end;
    sum1:=0;
    sum2:=0;
    for i:=0 to n do
    begin
        r1:=dG^[i];
        sum1:=sum1+r1*dx^[i];
        sum2:=sum2+r1*HdG^[i];
    end;
    if ((sum1<>0) and (sum2<>0)) then
    begin
        for i:=0 to n do
        begin
            R1dx^[i]:=dx^[i]/sum1;
            R2HdG^[i]:=HdG^[i]/sum2;
            pU^[i]:=R1dx^[i]-R2HdG^[i];
            P2U^[i]:=sum2*pU^[i];
        end;
        for i:=0 to n do
        begin
            r1:=r1dx^[i];
            r2:=r2hdg^[i];
            sum2:=p2u^[i];
// модифицируем псевдо-гессиан:
            for j:=0 to n do
                pH^[i]^[j]:=pH^[i]^[j]+r1*dx^[j]-r2*HdG^[j]+sum2*pU^[j];
            end;
// вычисляем аналитические значения градиентов:
            for i:=0 to n do
            begin
                sum1:=0;
                for j:=0 to n do
                    sum1:=sum1-pH^[i]^[j]*pG^[j];
                    DeX^[i]:=sum1;
                end;
            end;
            Inc(itr);
            Application.ProcessMessages;
            until ((itr>=itMaxBfgs) or conOpt);
        end;

```

{===== алгоритм PSD =====}

```
procedure PSD;
```

```

// post-second derivative algorithm:
var
  i,j,itr,n: integer;
  deg: float;
begin
  n:=nvar;
// входим в процедуру с новыми значениями градиента:
  NewGrad;
  itr:=1;
  repeat
    if AbsMax(pG,n)<ibm0 then
      qut:=true;
    if qut then
      begin
        ConOpt:=true;
        exit;
      end;
// Сохраняем старые значения переменных и градиентов:
    CopyVector(OldX,pX,0,n);
    CopyVector(OldG,pG,0,n);
// если градиент велик, нормируем по максимуму:
    mxm:=AbsMax(DeX,n);
    if (mxm>1) then
      for i:=0 to n do
        DeX^[i]:=DeX^[i]/mxm;
// делаем линейный спуск по целевой функции:
    LMSearch;
// вычисляем новый градиент:
    CalcGrad;
// прогнозируем градиент, учитывая результаты оптимизации:
    for i:=0 to n do
      begin
        deg:=pG^[i]-OldG^[i];
        if deg=0 then
          DeX^[i]:=0
        else
          DeX^[i]:=-pG^[i]*abs(pX^[i]-OldX^[i])/deg;
      end;
    Inc(itr);
// посыл на обновление ситуации в операционной системе:
    Application.ProcessMessages;
  until ((itr >= itMaxBFGS) or conOpt);
end;

{===== симплекс-алгоритм А. Нелдера и Р. Мида =====}

procedure Simplex;
var
  iH,iL: integer;

// обновление симплекс-матрицы:
  procedure UpdateSimplex(Y:Float;pQ:PVector);
  begin
    pF^[iH]:=Y;

```

```

    CopyVector (pp^[iH], pQ, 0, nVar) ;
end;

var
  Flag: Boolean;
  corr, maxCorr, f0, sum, Ystar, Y2star: Float;
  i, j, iter, m: Integer;
begin
  m:=nVar+1;
  Iter:=1;
  F0:=9e9;
// сохраняем старые значения переменных:
  for i:=0 to m do
    CopyVector (pp^[i], pX, 0, nVar) ;
{ формируем симплекс-матрицу с новыми значениями переменных. Коэффици-
циент simplexStep определяет диапазон варьирования переменных:}
    for I :=0 to nVar do
      pp^[i]^[i]:=pp^[i]^[i]*simplexStep;
// вычисляем целевые функции при новых переменных:
    for i:=0 to m do
      pF^[i]:=sq2ro(pp^[i]);
    repeat
      iL:=0;
      iH:=0;
// находим номера с мин. и макс. значениями целевой функции:
      for i:=1 to m do
        if (pF^[I] < pF^[iL]) then
          iL:=I
        else
          if (pF^[I] > pF^[iH]) then
            iH:=I;
        if (pF^[iL] < F0) then
          F0:=pF^[iL];
// вычисляем вспомогательные величины и обновляем симплекс-матрицу:
      for J:=0 to nVar do
        begin
          Sum:=0;
          for I:=0 to m do
            if (i <> iH) then
              Sum:=Sum+pp^[I]^[J];
          Pbar^[j]:=Sum/m;
        end;
      for j:=0 to nVar do
        Pstar^[J]:=2*Pbar^[J]-pp^[iH]^[J];
      Ystar:=sq2ro(Pstar);
      if (Ystar < pF^[iL]) then
        begin
          for J:=0 to nVar do
            P2star^[J]:=Pstar^[J]*3-Pbar^[J]*2;
          Y2star:=sq2ro(P2star);
          if (Y2star < pF^[iL]) then
            UpdateSimplex(Y2star, P2star)
          else
            UpdateSimplex(Ystar, Pstar);

```

```

end
else
begin
  I:=0;
  Flag:=False;
  repeat
    if ((I <> iH) and (pF^[I] > Ystar)) then
      Flag:=True;
      Inc(I);
    until (Flag or (I > m));
    if Flag then
      UpdateSimplex(Ystar,Pstar)
    else
      begin
        if (Ystar <= pF^[iH]) then
          UpdateSimplex(Ystar,Pstar);
        for J:=0 to nVar do
          P2star^[J] := (pp^[iH]^ [J]+Pbar^[J])/2;
        Y2star:=sq2ro(P2star);
        if (Y2star <= pF^[iH]) then
          UpdateSimplex(Y2star,P2star)
        else
          for i:=0 to m do
            for J:=0 to nVar do
              pp^[i]^ [J] := (pp^[i]^ [J]+pp^[iL]^ [J])/2;
            end;
          end;
        MaxCorr:=0;
        for J:=0 to nVar do
          begin
            Corr:=Abs(pp^[iH]^ [J]-pp^[iL]^ [J]);
            if (Corr > MaxCorr) then
              MaxCorr:=Corr;
            end;
          Inc(Iter);
        until ((MaxCorr < eps) or (Iter > itMaxSimp));
        // переносим из симплекс-матрицы в pX значения новых переменных:
        CopyVector(pX,pp^[iL],0,nVar);
        // вычисляем новое значение целевой функции:
        fu:=pF^[iL];
      end;

```

Процедура вычисления гессиана, содержащего градиенты и 2е производные целевой функции по параметрам оптимизации.

```

{$F+}
procedure NumHessGrad;
var
  Delta,Xminus,Xplus,Fminus,Fplus: PVector;
  Temp1,Temp2,F,F2plus: Float;
  I,J: Integer;
Begin
// формируем рабочие динамические массивы:
  DimVector(Delta,nVar);

```

```

    DimVector(Xminus,nVar);
    DimVector(Xplus,nVar);
    DimVector(Fminus,nVar);
    DimVector(Fplus,nVar);
// вычисляем исходное значение целевой функции:
    F:=sq2ro(pX);
// для каждой переменной вычисляем приращение и её значение:
    for I:=0 to nVar do
    begin
        if (pX^[I] <> 0) then
            Delta^[I]:=Abs(pX^[I])*eps
        else
            Delta^[I]:=eps;
            Xplus^[I]:=pX^[I]+Delta^[I];
            Xminus^[I]:=pX^[I]-Delta^[I];
        end;
// вычисляем значения целевой функции для +/- значений переменных:
    for I:=0 to nVar do
    begin
        Temp1:=pX^[I];
        pX^[I]:=Xminus^[I];
        Fminus^[I]:=sq2ro(pX);
        pX^[I]:=Xplus^[I];
        Fplus^[I]:=sq2ro(pX);
        pX^[I]:=Temp1;
    end;
// вычисляем 1е и 2е производные от целевой функции по переменным:
    for I:=0 to nVar do
    begin
        pG^[I]:=(Fplus^[I]-Fminus^[I])/2/Delta^[I];
        pH^[I]^ [I]:=(Fplus^[I]+Fminus^[I]-F*2)/Sqr(Delta^[I]);
    end;
// вычисляем частные производные 2го порядка и строим гессиан:
    for I:=0 to nVar-1 do
    begin
        Temp1:=pX^[I];
        pX^[I]:=Xplus^[I];
        for J:=Succ(I) to nVar do
        begin
            Temp2:=pX^[J];
            pX^[J]:=Xplus^[J];
            F2plus:=sq2ro(pX);
            pH^[I]^ [J]:=(F2plus-Fplus^[I]+Fplus^[J]+F)/Delta^[I]/Delta^[J];
            pH^[J]^ [I]:=pH^[I]^ [J];
            pX^[J]:=Temp2;
        end;
        pX^[I]:=Temp1;
    end;
// освобождаем память от массивов:
    DelVector(Delta,nVar);
    DelVector(Xminus,nVar);
    DelVector(Xplus,nVar);
    DelVector(Fminus,nVar);
    DelVector(Fplus,nVar);

```

```
end;
{$F-}
```

Процедура ParamConv проверяет завершение процесса оптимизации, когда приращения переменных становятся ничтожно малыми.

```
function ParamConv: Boolean;
var
  i: Integer;
  Conv: Boolean;
  a: float;
begin
  i:=0;
  Conv:=True;
  repeat
    a:=OldX^[i];
// проверка приращения переменных оптимизации на «мизерность»:
    Conv:=(Conv and (Abs(pX^[i]-a) < FMax(eps, eps*Abs(a))));
    Inc(i);
  until ((Conv=False) or (i > nVar));
  ParamConv:=Conv;
end;
```

// ===== алгоритм Марквардта =====

```
procedure Marquardt (canvas:Tcanvas; OSparGr, ASurfGrd:TStringGrid);
var
  Lam, Lam1 : Float;      { Marquardt's lambda }
  i, j      : Integer;    { Loop variable }
  Det, F_min : Float;     { Determinant of H }
  F1       : Float;      { New minimum }
  Lambda_Ok : Boolean;    { Successful Lambda decrease }
  Conv      : Boolean;    { Convergence reached }
  Done      : Boolean;    { Iterations done }
  ErrCode   : Integer;    { Error code }
  Lbound, Ubound: integer;
begin
  Lam:=marqLamb0; // даём множителю начальное значение
  F_min:=sq2ro(pX); // начальное значение целевой функции
  LBound:=0;
  Ubound:=nVar;
  j:=0; // обнуляем счетчик для вывода информации
  Conv:=False;
  Done:=False;
  Repeat
// сохраняем старое значение переменных оптимизации:
    CopyVector (OldX, pX, Lbound, Ubound);
// вычисляем гессиан:
    NumHessGrad;
// изменяем знаки градиентов на противоположные:
    for i:=Lbound to Ubound do
      pG^[i]:=-pG^[i];
    if Conv then { Newton-Raphson iteration }
      begin
```

```

// если переменные уже не изменяются, сохраняем гессиан и градиент:
CopyMatrix (pp, pH, Lbound, Lbound, Ubound, Ubound) ;
CopyColFromVector (pp, pG, Lbound, Ubound, Succ (Ubound) ) ;
// вычисляем определитель гессиана:
ErrCode:=GaussJordan (pp, Lbound, Ubound, Succ (Ubound) , Det) ;
if (ErrCode = MAT_OK) then
begin
// если OK, сохраняем градиент и вычисляем новые переменные:
CopyVectorFromCol (DeX, pp, Lbound, Ubound, Succ (Ubound) ) ;
for i:=Lbound to Ubound do
pX^[i]:=OldX^[i]+DeX^[i];
end;
Done:=True;
end
else { Marquardt iteration }
begin
repeat
// сохраняем гессиан и градиент:
CopyMatrix (pp, pH, Lbound, Lbound, Ubound, Ubound) ;
CopyColFromVector (pp, pG, Lbound, Ubound, Succ (Ubound) ) ;
// увеличиваем множитель на единицу:
Lam1:=1+Lam;
// увеличиваем диагональ гессиана:
for i:=Lbound to Ubound do
pp^[i]^ [i]:=Lam1*pH^[i]^ [i];
Lambda_OK:=False;
// вычисляем определитель гессиана:
ErrCode:=GaussJordan (pp, Lbound, Ubound, Succ (Ubound) , Det) ;
if (ErrCode = MAT_OK) then
begin
// если OK, сохраняем новые значения переменных и градиента:
CopyVector (pX, OldX, Lbound, Ubound) ;
CopyVectorFromCol (DeX, pp, Lbound, Ubound, Succ (Ubound) ) ;
// делаем линейный спуск по целевой функции:
LMsearch;
F1:=fu;
// проверяем, насколько велик спуск по целевой функции:
Lambda_Ok:=((F1-F_min) < F_min*eps);
if (not Lambda_Ok) then
// если спуск мал, увеличиваем множитель:
Lam:=Lam*marqKincdwn;
if (Lam > marqLambMax) then
// если множитель превысил максимальное значение, сообщаем об этом:
ErrCode:=OPT_BIG_LAMBDA;
end;
until (Lambda_Ok or (ErrCode <> MAT_OK));
// проверяем переменные на изменяемость:
Conv:=ParamConv;
// уменьшаем множитель:
Lam:=Lam/marqKincdwn;
F_min:=F1;
inc(j);
if (j=50) then
begin

```

```
// если пора, выводим информацию о ходе оптимизации на экран:
  Loop (canvas, OSparGr, ASurfGrd);
  j:=0;
  end;
end;
until (qut or Done or (ErrCode <> OPT_OK));
fu:=F_min;
end;
```

```
// =====Метод имитации отжига SimAnn =====
```

Несколько вспомогательных процедур для вычисления случайных чисел:

```
procedure RMarIn(Seed1, Seed2 : Integer);
begin
  XR1:=Seed1;
  XR2:=Seed2;
  C1:=0;
  C2:=0;
end;

function IRanMar: LongInt;
var
  Y1,Y2: LongInt;
begin
  Y1:=18000*XR1+C1;
  XR1:=Y1 and 65535;
  C1:=Y1 shr 16;
  Y2:=30903*XR2 + C2;
  XR2:=Y2 and 65535;
  C2:=Y2 shr 16;
  IRanMar:=(XR1 shl 16)+(XR2 and 65535);
end;

function RanMar: Float;
begin
  RanMar:=(IRanMar+2147483648.0)/4294967296.0;
end;
```

Процедура быстрой сортировки чисел по убыванию значений:

```
procedure QSort(X:PVector;Lbound,Ubound:Integer);
  procedure Sort(L,R:Integer);
  var
    I,J: Integer;
    U,V: Float;
  begin
    I:=L;
    J:=R;
    U:=X^[ (L+R) div 2];
    repeat
      while (X^[I] < U) do
        inc(i);
```

```

    while (U < X^[J]) do
      dec(j);
    if (I <= J) then
      begin
        V:=X^[I];
        X^[I]:=X^[J];
        X^[J]:=V;
        inc(i);
        dec(j);
      end;
    until (I > J);
    if (L < J) then
      Sort(L,J);
    if (I < R) then
      Sort(I, R);
    end;
  begin
    Sort(Lbound,Ubound);
  end;

```

// ----- выделение из массива медианного значения -----

```

function Median(X:PVector;Lbound,Ubound:Integer): Float;
var
  N,N2: Integer;
begin
  N:=Ubound-Lbound+1;
  N2:=(N div 2)+Lbound-1;
  QSort(X,Lbound,Ubound);
  if Odd(N) then
    Median:=X^[N2+1]
  else
    Median:=(X^[N2]+X^[N2+1])/2;
  end;

```

Процедура InitTempr вычисляет массив из N_Eval случайных значений целевой функции и принимает в нём медианное значение за исходную величину при поиске минимума.

```

function InitTempr: Float;
var
  F,F1: Float;
  i,k,N_inc : Integer;
begin
  N_inc:=0;
  F:=sq2ro(pX);
  K:=0;
  for I:=1 to N_EVAL do
    begin
// вычисляем целевую функцию для случайного значения переменной:
      pX^[K]:=Xmn^[K]+RanMar*Range^[K];
      F1:=sq2ro(pX);
      if (F1 > F) then

```

Если целевая функция возросла, увеличиваем счётчик N_inc и запоминаем приращение целевой функции:

```
begin
  Inc(N_inc);
  DeltaF^[N_inc] := F1 - F;
end;
```

Если целевая функция уменьшилась, меняем исходное значение на уменьшенное:

```
F := F1;
Inc(K);
if (K > nVar) then
  K := 0;
end;
if (N_inc > 0) then
```

Если целевая функция возрастала, то из массива выбираем медианное значение:

```
  InitTempr := Median(DeltaF, 1, N_inc) / LN2
Else
```

Если целевая функция не возрастала:

```
  InitTempr := 1;
end;
```

Процедура принимает решение, допустимо ли приращение целевой функции:

```
function Accept(dF, T: Float; var N_inc, N_acc: Integer): Boolean;
begin
  if (dF < 0) then
    Accept := True
  else
    begin
      Inc(N_inc);
      if (Exp(-dF/T) > RanMar) then
        begin
          Accept := True;
          Inc(N_acc);
        end
      else
        Accept := False;
      end;
    end;
end;
```

```
function SAparConv(X, Stp: PVector): Boolean;
var
  I: Integer;
  Conv: Boolean;
begin
  I := 0;
  Conv := True;
  repeat
```

```

    Conv:=(Conv and (Stp^[I] < FMax(eps,eps*Abs(X^[I]))));
    Inc(I);
until ((Conv = False) or (I > nVar));
SAparConv:=Conv;
end;

// программный код «глобального» алгоритма «имитации отжига»
procedure SimAnn(canvas:Tcanvas;OSparGr,ASurfGrd:TStringGrid);
var
    I,J,K,n,N_inc,N_acc,Lbound,Ubound : Integer;
    sum,dv,F,F1,F_min,dF,Ratio,T,oX : Float;
    Stp: PVector;
    Nacc: PIntVector;
begin
    LBound:=0;
    Ubound:=nVar;
    DimVector(Stp,Ubound);
    DimIntVector(Nacc,Ubound);
    for i:=0 to nvar do
    begin
        dv:=abs(dVsimAnn*pX^[i])/2;
        Xmn^[i]:=pX^[i]-dv;
        Xmx^[i]:=pX^[i]+dv;
        Range^[i]:=dv*2;
        Stp^[i]:=dv;
        Xt^[i]:=pX^[i];
    end;
    F:=sq2ro(pX);
    F_min:=F;
    T:=InitTempr;
    n:=0;
    repeat
        N_inc:=0;
        N_acc:=0;
        sum:=0;
        for i:=1 to SA_Nt do
            begin
                for J:=1 to SA_Ns do
                    for K:=Lbound to Ubound do
                        begin
                            oX:=pX^[K];
                            pX^[K]:=pX^[K]+(RanMar*2-1)*Stp^[K];
                            if ((pX^[K] < Xmn^[K]) or (pX^[K] > Xmx^[K])) then
                                pX^[K]:=Xmn^[K]+RanMar*Range^[K];
                            F1:=sq2ro(pX);
                            dF:=F1-F;
                            if Accept(dF,T,N_inc, N_acc) then
                                begin
                                    Inc(Nacc^[K]);
                                    F:=F1;
                                end
                            else
                                pX^[K]:=oX;
                            end
                        end
                    end
                end
            end
        end
    until (N_acc=Nacc);
end;

```

```

        if (F < F_min) then
            begin
                Xt^[K]:=pX^[K];
                F_min:=F;
            end;
        end;
    for K:=Lbound to Ubound do
        begin
            Ratio:=Int(Nacc^[K])/Int(SA_Ns);
            sum:=sum+Ratio;
            if (Ratio > 0.6) then
                begin
                    Stp^[K]:=Stp^[K]*(1+((Ratio-0.6)/0.4)*N_FACT);
                    if (Stp^[K] > Range^[K]) then
                        Stp^[K]:=Range^[K];
                    end
                end
            else
                if (Ratio < 0.4) then
                    Stp^[K]:=Stp^[K]/(1+((0.4-Ratio)/0.4)*N_FACT);
                Nacc^[K]:=0;
            end;
        end;
    if (sum/SA_Nt/SA_Ns/nVar <=0.9) then
        T:=T*SA_Rt;
    if SPARConv(Xt,Stp) then
        ConOpt:=true;
    inc(n);
    if (n=12) then
        begin
            tSimAnn:=T;
            fu:=F_min;
            Loop(canvas,OSparGr,ASurfGrd);
            n:=0;
        end;
    Application.ProcessMessages;
until (qut or conOpt);
for K:=Lbound to Ubound do
    pX^[K]:=Xt^[K];
fu:=sq2ro(pX);
DelVector(Stp,Ubound);
DelIntVector(Nacc,Ubound);
end;

```

{===== Genetic Algo =====}

```

procedure GenAlg(canvas:Tcanvas;Grd0,Grd1:TStringGrid);
var
    pC1,pC2,pD,pM: PMatrix;
    Fn: PVector;

procedure Mutate(i:Integer);
var
    J: Integer;
begin

```

```

for J:=0 to nVar do
begin
  pC1^[i]^ [J] :=Xmn^[J]+RanMar*Range^[J] ;
  pC2^[i]^ [J] :=Xmn^[J]+RanMar*Range^[J] ;
  pD^[i]^ [J] :=RanMar;
  pM^[i]^ [J] :=pD^[i]^ [J]*pC1^[i]^ [J]+(1-pD^[i]^ [J])*pC2^[i]^ [J] ;
end;
end;

procedure Cross(i1,i2,i:Integer);
var
  J,K: Integer;
begin
  for J:=0 to nVar do
  begin
    if (RanMar < 0.5) then
      K:=i1
    else
      K:=i2;
    pC1^[i]^ [J] :=pC1^[K]^ [J] ;
    if (RanMar < 0.5) then
      K:=i1
    else
      K:=i2;
    pC2^[i]^ [J] :=pC2^[K]^ [J] ;
    pD^[i]^ [J] :=RanMar;
    pM^[i]^ [J] :=pD^[i]^ [J]*pC1^[i]^ [J]+(1-pD^[i]^ [J])*pC2^[i]^ [J] ;
  end;
end;

procedure Homozygote(i:Integer);
begin
  CopyVector(pC1^[i],pM^[i],0,nVar);
  CopyVector(pC2^[i],pM^[i],0,nVar);
end;

function GA_Func(i:Integer): float;
begin
  CopyVector(Xt,pM^[i],0,nVar);
  GA_Func:=sq2ro(Xt);
end;

procedure CompFunc;
var
  i,J,K: Integer;
  A: Float;
begin
  if qut then
    exit;
  for i:=0 to GA_NP-1 do
    Fn^[i]:=GA_Func(i);
  for i:=0 to GA_NP-1 do
  begin
    K:=i;

```

```

A:=Fn^[i];
for J:=i+1 to GA_NP-1 do
  if (Fn^[J] < A) then
    begin
      K:=J;
      A:=Fn^[J];
    end;
  FSwap(Fn^[i],Fn^[K]);
  for J:=0 to nVar do
    begin
      FSwap(pC1^[i]^[J],pC1^[K]^[J]);
      FSwap(pC2^[i]^[J],pC2^[K]^[J]);
      FSwap(pD^[i]^[J],pD^[K]^[J]);
      FSwap(pM^[i]^[J],pM^[K]^[J]);
    end;
  end;
  if (Fn^[0] < fu) then
    begin
      fu:=Fn^[0];
      CopyVector(pX,pM^[0],0,nVar);
    end;
end;

```

```

procedure GenPop(NS:integer);

```

```

var
  i,i1,i2: integer;
  F0: Float;
begin
  if qut then
    exit;
  for i:=NS+1 to GA_NP-1 do
    begin
      i1:=Trunc(RanMar*NS)+1;
      repeat
        i2:=Trunc(RanMar*NS)+1
      until (i2 <> i1);
      F0:=FMax(Fn^[i1],Fn^[i2]);
      repeat
        Cross(i1,i2,i);
      until (GA_Func(i) <= F0);
    end;
  for i:=0 to GA_NP-1 do
    begin
      if (RanMar < GA_MR) then
        Mutate(i);
      if (RanMar < GA_HR) then
        Homozygote(i);
    end;
  end;
end;

```

```

var
  i,NS: Integer;
  f0: float;
begin

```

```

DimMatrix (pC1, GA_NP, nVar) ;
DimMatrix (pC2, GA_NP, nVar) ;
DimMatrix (pD, GA_NP, nVar) ;
DimMatrix (pM, GA_NP, nVar) ;
DimVector (Fn, GA_NP) ;
f0:=fu;
for i:=0 to nVar do
begin
  Xmn^[i]:=pX^[i]*(1-vRange) ;
  Xmx^[i]:=pX^[i]*(1+vRange) ;
  Range^[i]:=Xmx^[i]-Xmn^[i] ;
end;
NS:=Trunc (GA_NP*GA_SR) ;
nGraFun:=0;
for i:=0 to GA_NP-1 do
  Mutate(i) ;
CompFunc;
for i:=0 to GA_NG-1 do
begin
  if qut then
    break;
  Loop (canvas, Grd0, Grd1) ;
  GenPop (NS) ;
  CompFunc;
  fu:=sq2ro (pX) ;
  if (fu < f0) then
  begin
    f0:=fu;
    GraFun^[nGraFun]:=fu;
    inc (nGraFun) ;
  end;
end;
DelMatrix (pC1, GA_NP, nVar) ;
DelMatrix (pC2, GA_NP, nVar) ;
DelMatrix (pD, GA_NP, nVar) ;
DelMatrix (pM, GA_NP, nVar) ;
DelVector (Fn, GA_NP) ;
if fu < f0 then
  vRange:=-vRange*sqrt (fu/f0) ;
end;

```

В последних версиях РОС встроен новый алгоритм глобального поиска минимума оценочной функции, **GlobalSearch**.

При обсуждении на Астрофоруме программы РОС Владилен Санакоев предложил глобальный поиск новых решений вести по методу «ковровой бомбардировки» и тем самым навёл на мысль об использовании идей планирования эксперимента. Суть этого подхода заключается в методичном поточечном исследовании заданного диапазона варьирования **vRange** оптимизируемых параметров через определённый шаг. В каждой исследуемой точке по определённому правилу задаются новые параметры ОС и производится одношаговая их оптимизация Симплекс-методом. Затем система переводится в следующую точку, оптимизируется и т.д., пока не будет просканирован весь заданный диапазон **vRange** пространства параметров.

Из всех исследованных точек за решение принимается точка, в которой оценочная функция достигла самого глубокого минимума.

Основным недостатком всех локальных методов оптимизации, в которых вычисляется градиент и которые задействованы в программе РОС, является использование в них одной и той же процедуры LMgold линейного спуска, для которой в процедуре F_r по всем направлениям градиента вычисляется шаг, пропорциональный унифицированному коэффициенту r. С одной стороны, это – срединный, «царский» путь, но, с другой стороны, не пропускает ли такой подход возможных локальных минимумов, лежащих вблизи срединной траектории?

Чтобы повысить вероятность обнаружения таких минимумов в новом алгоритме глобального поиска **GlobalSearch** использован генератор случайных чисел RanMar, обеспечивающий разброс значений переменных оптимизации в пределах половины шага по диапазону варьирования переменных vRange. Остальная работа по поиску «сокрытых минимумов» в окрестности исследуемой точки производится по алгоритму SimplexNM с 6000 рабочих циклов.

```
procedure GlobalSeach(canvas:Tcanvas;Grd0,Grd1:TStringGrid);
var
  i,imn: integer;
  mn: float;

  procedure GScycle(z:float);
  var
    j,k: integer;
    r: float;
  begin
    // вводим новые значения переменных оптимизации:
    for j:=0 to nVar do
    // случайный разброс - в пределах полушага по диапазону vRange:
      pX^[j]:=oldX^[j]*((RanMar-0.5)/GS_Np+z);
    // вычисляем значение целевой функции в плановой точке:
      fu:=sq2ro(pX);
    // ищем ближайший минимум:
      Simplex(6000);
      k:=i*2;
      if (z > 0) then
        inc(k);
      if (fu < mn) then
    // если минимум ниже глобального, сохраняем его и информируем:
      begin
        imn:=k;
        mn:=fu;
        CopyVector(Xt,pX,0,nVar); // сохранение найденных min-Vars
        Loop(canvas,Grd0,Grd1); // вывод данных в inf-окно
      end;
    // информация о текущем состоянии процесса:
      ClrZon(canvas,15,200,wTestOS-5,215); // очистка старой строки
    // информацию о минимуме дополняем информацией о текущем значении:
      canvas.TextOut(20,202,
        'imn='+inttostr(imn)+' . Fgmn='+FormatFloat('0.000',mn*1e3)+
        ' . i='+inttostr(k)+' , Fgi='+FormatFloat('0.000',fu*1e3)+
        ' . Осталось:'+inttostr(GS_Np*2-k)+' циклов, ');
    // возвращаем значения параметров ОС в исходной точке:
      CopyVector(pX,oldX,0,nVar);
```

```

end;

var
  f0,r: float;
begin
  // сохраняем исходные данные:
  f0:=fu;
  CopyVector(oldX,pX,0,nVar);
  mn:=f0;
  imn:=GS_Np;
  // запускаем цикл обхода пространства варьируемых параметров:
  for i:=1 to GS_Np do
    begin
      // очередное смещение по переменным с шагом vRange/GS_Np:
      r:=i*vRange/GS_Np;
      // "-" и к толщинам, т.к. в sq2ro d не изменит знак, а обнулится.
      GScycle(-r); // 0 => -vRange
      // R также не сколлапсирует, но будет всегда больше полудиаметра
      GScycle(r); // 0 => +vRange
    end;
    if (mn < f0) then
      // сохраняем найденные переменные
      begin
        CopyVector(pX,Xt,0,nVar);
        fu:=sq2ro(pX);
      end
    else
      // возвращаемся в исходное положение
      begin
        fu:=f0;
        CopyVector(pX,oldX,0,nVar);
      end;
    end;
end;

{=====}

```

9. ВВОД В ПРОГРАММУ НОВОЙ ОПТИЧЕСКОЙ СИСТЕМЫ

OSpar | АП | ListOS | TestParams | dR-dC | FLam

Таблица параметров текущей ОС:

N	R	d	Glas	Dw	Xw	Вес, кг
0	390,5711	0,0000	+Air	118,000	4,482	5,710E-1
1	-338,1648	21,2400	+CaF2	116,294	-5,037	4,500E-1
2	-344,1094	0,0000	+Air	116,294	-4,948	1,989E-2
3	4584,7112	14,1600	+K8	115,447	0,363	1,540E-2
4	54,1953	1016,0871	+Air	36,653	3,193	0,000E0
5	-56,4646	9,0000	+CaF2	34,413	-2,685	0,000E0
6	-57,9888	0,0000	+Air	34,409	-2,611	0,000E0
7	268,2785	5,0000	+K8	33,281	0,517	0,000E0
8	flat	91,3307	+Air	8,998	0,000	0,000E0
9			+Air			
10						
11						
12						
13						
14						
15						
16						
17						
18						
19						

Line № | | | | ЦЭ | Nцэ: |

Слева от таблицы «внешних» параметров, в левом блокноте, расположена вкладка «OSpar».

Вкладка «OSpar».

На этой вкладке находится таблица внутренних параметров рабочей ОС и управляющая панелька «Line №» с двумя кнопками «Inp» и «Del» для добавления/удаления параметров в/из ОС.

В системах с центральным экранированием (ЦЭ) входного зрачка необходимо об этом дать указание программе: поставить флажок в чек-боксе рядом с его названием ЦЭ, а в редакторе Nцэ указать номер поверхности, вызывающей наибольшее экранирование.

Кнопка «NormR» предназначена для приведения номиналов радиусов разработанной ОС в соответствие с каталогом заводских пробных стекол (см. далее раздел «Нормализация радиусов»).

При вводе новой ОС пустые графы таблицы параметров заполняются непосредственными данными. Панелью ввода / удаления строк пользуются для вставки / удаления новой поверхности между уже введенными, т.е. для изменения структуры уже разработанной ОС.

Содержание столбцов таблицы параметров:

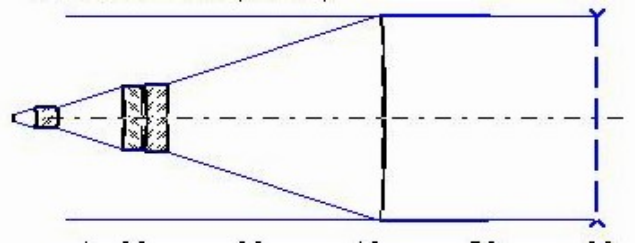
R – радиусы кривизны исполнительных (рабочих) поверхностей, в миллиметрах,
d – толщины (или воздушные зазоры между деталями) вдоль оптической оси системы, мм,
Glas – материалы сред (Air – воздух) по каталогам оптических стекол,
Dw – световые диаметры поверхностей с учетом поля 2w (заполняются программно), мм,
Xw - стрелки на Dw (заполняются программно), мм,
Вес, кг – веса деталей (заполняются программно).

Программа РОС располагает обширной базой данных, и достаточно «поднять» соответствующий *.dat-файл, в список которого входит ОС, имеющая требуемую структуру, отмас-

штабировать ее и произвести в ней необходимые изменения. Нередко, тем не менее, приходится заново вводить систему, поэтому рассмотрим этот процесс подробнее.

На вкладке **ListOS** программы нажимаем кнопку **NewOS**: программа РОС очищает таблицы «внутренних» и «внешних» параметров и подготавливает свое рабочее пространство к приему новой системы.

ОС с отрицательным значением расстояния от ВЗ до первой поверхности (этот приём использован для совмещения входного зрачка с 2х-линзовым компенсатором).



Начнем с заполнения **Таблицы «внутренних» параметров.**

При вводе данных необходимо иметь в виду следующее:

File MakeDocs Настройки Help

OSpar АП ListOS TestParams dR-dC FLam

Таблица параметров асферических поверхностей текущей ОС:

N	R	exc	K1	K2	K3	K4	d30,мк
0	1957,6300	1,206E0	6,832E-4	4,855E-5	1,118E-6	0	7,849E1
1	-565,8144	1,989E0	1,754E-3	3,667E-5	0	0	4,025E1
2	-806,6047	5,452E-1	3,073E-3	0	0	0	5,103E0
3	flat	0	0	0	0	0	0
4							
5							
6							
7							
8							
9							
10							
11							
12							
13							
14							
15							
16							
17							
18							
19							

АП ВП

- Таблица «внутренних» параметров описывает ОС, включая фокальную поверхность. ОС начинается от входного зрачка (ВЗ), фиктивная плоскость которого на оптической схеме (рис. 3.5) обозначается штриховой жирной линией синего цвета с обратными стрелками на концах. Плоскость ВЗ в ОС не входит – входное окно отнесено к «внешним» параметрам (см. далее), поэтому оно НЕ НУМЕРУЕТСЯ.

Вкладка «АП» (AsSurfs).

В профессиональных программах типа ЗеМакс положению ВЗ отводится особое внимание и его плоскости придан статус дополнительной исполнительной поверхности системы. В РОС применен упрощенный подход, основанный на понимании того, что для хорошо скорректированных ОС, как правило, величина аберраций не зависит от положения ВЗ. Тем не менее, в программе предусмотрена возможность

смещения положения ВЗ внутрь системы или вовне;

- количество поверхностей в ОС ограничено числом 20. Астрономический телескоп – в отличие от всевозможных «скопов» – является прецизионным инструментом, точность которого зависит от числа и качества изготовления и юстировки его рабочих поверхностей, а, поскольку программа ориентирована на любителя, то откуда и как в любительских условиях возьмутся еще более точные средства для контроля и юстировки многоэлементного прибора? Кроме того, изготовление даже одной точной поверхности – для любителя проблема, а тем более, несколько их десятков;

- нумерация параметров ОС начинается с нуля;

- первая среда заполняет пространство от входного зрачка до первой исполнительной поверхности ОС, и первое расстояние (с номером 0) – это расстояние от ВЗ до первой (номер 0) рабочей поверхности ОС и, если ВЗ расположен справа от первой поверхности (см. рис. 3.4), то это расстояние берется со знаком минус, но знак 0-среды при этом остается положительным.

Для параметра с соответствующим номером N нужно ввести:

R - радиус кривизны исполнительной или – для АП – вершинной сферы,

d - осевое расстояние, начиная с первого (нулевого) расстояния от ВЗ до первой (нулевой) поверхности,

Glas – 6-символьное название материала среды, заполняющей это расстояние, (обозначение материала среды берется из таблицы Glas Catalog, расположенной **на вкладке «GlsCat»**); перед обозначением марки стекла необходимо поставить знак, соответствующий направлению движения света в этой среде: "+" - слева-направо, "-" – справа-налево; например: +Air, +K8, -STK19; при этом в обозначениях марок стекол регистр значим, т.е. «г» и «R» – разные символы, а цифры и знаки пишутся слитно с буквами,

Таблица «внешних» параметров программы РОС.

Если ОС содержит асферические поверхности (АП), то переходим на вкладку «АП» (рис. 3.6) и заполняем соответствующие графы таблицы (столбец радиусов присутствует здесь для справки и заполняется программой автоматически).

exс – вводятся квадраты эксцентриситетов асферических поверхностей. Для planoидной поверхности сюда в миллиметрах вводится значение параметра d30 (вершинной асферичности 3го порядка поверхности);
K3 – K6 – коэффициенты высокого порядка в ряду представления АП в форме:

$$y^2 + z^2 = 2rx + (e^2 - 1) * x^2 + K3 * x^3 + K4 * x^4 + K5 * x^5 + K6 * x^6;$$

и, если в системе нет АП, то эти графы не заполняются (остаются нулевыми).

ВНИМАНИЕ!

В ПРОГРАММЕ РОС НЕ ПРЕДУСМОТРЕНО ОТОБРАЖЕНИЕ ПРОСТРАНСТВЕННЫХ ПОВОРОТОВ ОПТИЧЕСКОЙ ОСИ НА ПЛОСКИХ ЗЕРКАЛАХ ИЛИ В ПРИЗМАХ, А ПРИЗМЫ ДОЛЖНЫ ЗАДАВАТЬСЯ В «РАЗВЕРНУТОМ» ПРЕДСТАВЛЕНИИ – В ВИДЕ ПЛОСКОПАРАЛЛЕЛЬНЫХ ПЛАСТИН.

После заполнения таблицы «внутренних» параметров переходим к заполнению **Таблицы «внешних» параметров**, которая находится в середине Главного окна (рис. 3.7).

После нажатия кнопки «NewOS» программа присваивает новой ОС ее номер (OS N: ...) и подготавливает для нее рабочее пространство **в конце** текущего списка ОС.

Вместо вопросов в Таблице внешних параметров вписываются следующие данные:

- Имя – имя новой ОС, состоящее из 12 символов (букв и цифр),
- D – диаметр входного зрачка, мм,
- 2Lw – поле зрения (диагональ матрицы или кадра), мм,
- F/D – фокальный делитель (фокдель),
- Rf – радиус кривизны фокальной поверхности (flat или 9e20 – для плоскости).

Остальные графы заполняются РОС автоматически в процессе работы.

Затем перейдите на вкладку GlsCat, в комбо-боксе «Catalog» из выпавшего списка выберите соответствующий каталог стекла. Затем под меткой Lam, на этой же странице, укажите в микронах крайние значения длин волн (минимальную, а ниже - максимальную) рабочего диапазона спектра, в редакторе nnSpLns укажите число рабочих спектральных линий (максимум – 9, минимум – 2).

На вкладке Тест левого блокнота в панели «Линии спектра» => «Рабочая линия» в окне № введите номер ведущей линии спектра. Например, для видимого диапазона (0.38 – 0.77 мк) при четырех линиях спектра ведущая линия № 1 будет иметь длину волны 0.51 мк.

Во все время заполнения необходимых данных программа РОС терпеливо дожидается основного для нее события – нажатия кнопки **“TestOS”** – нажмите ее.

Перед тестированием новой системы РОС в том же порядке обходит таблицы с рабочими параметрами ОС и проверяет все данные на корректность и полноту и через оконные сообщения попросит Вас восполнить пропуски и исправить «опечатки». На все вопросы о значении параметра Scale введите единицу (1), а Offset – нули (0). По окончании этого процесса РОС произведет автофокусировку системы, установив фокальную плоскость по центральному пучку лучей (если переключатель Sensor select на вкладке Тест установлен в положение Visual), или по крайней полевой точке изображения (если переключатель Sensor установлен в положение Matrix).

После успешного ввода и тестирования сохраните в памяти ПК новую систему, нажав кнопку «**SaveOS**». Можно сохранить ОС в другой файл или даже в свой собственный, нажав кнопку «**OSaveAs...**». Затем, войдя в меню **File** программы РОС, выберите команду **SaveListOS**: по этой команде сохранится и ОС в файле с рабочим списком, и все рабочие настройки программной среды, включая уставки оптимизатора.

Не забывайте сохранять свои изменения: эту инициативу РОС оставляет за Вами.

10. ИСПОЛЬЗОВАНИЕ ОС ИЗ БАЗЫ ДАННЫХ РОС

При нажатии пункта меню File из строки меню выпадает список команд, в котором нужно выбрать команду Open ListOS..., а в открывшемся системном окне «Открыть...» найти папку ...ROS\Data, в которой выбрать файл с расширением *.dat, содержащий список иско-

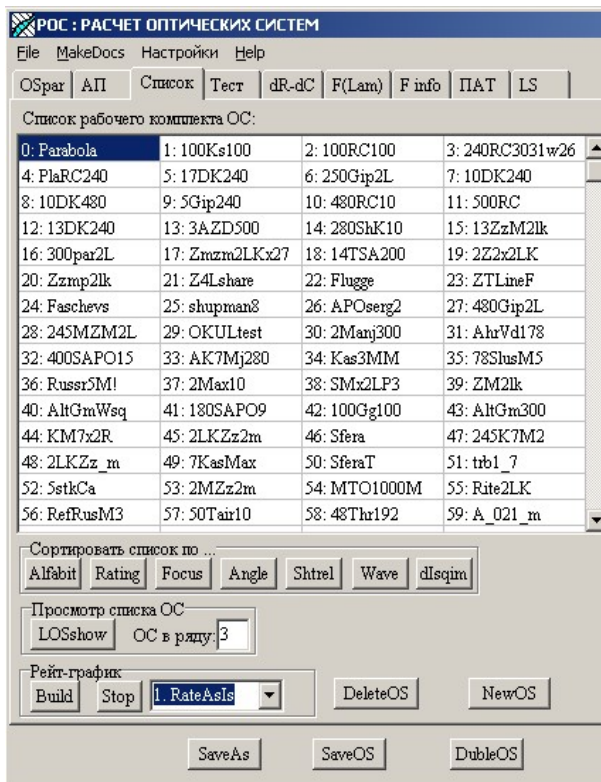
мых ОС. После загрузки этого файла необходимо открыть вкладку «Список» левого блокнота программы РОС и из него выбрать ОС, наиболее близко совпадающую по структуре с той ОС, которую необходимо разработать.

Вкладка «Список» левого блокнота программы РОС

Таблица со списком рабочего комплекта оптических систем размещается на вкладке ListOS левого блокнота.

Для выбора ОС из рабочего списка необходимо на вкладке «ListOS» щелкнуть левой кнопкой мышки по не подсвеченной ячейке таблицы со списком ОС. При этом выбранная система загрузится в рабочую область программы, и ее оптическая схема появится в Тест-окне.

Здесь же, на вкладке «ListOS», располо-



жены следующие кнопки:

- для удаления ОС из списка (**DeleteOS**),
- для подготовки программы к вводу новой ОС (**NewOS**),
- управляющие элементы
 - = для сортировки списка ОС (кнопки Alfabet, Rating, Focus, Angle, Shtrel, Wave, dlsqim),
 - = просмотра по нескольку ОС в одном окне (ListOSshow),
 - = построения графика рейтингов (Build).

11. УСТАНОВКА КАТАЛОГА СТЕКОЛ

На странице GlsCat правого блокнота пользователь может произвести необходимые манипуляции с каталогами стекол, параметрами стекол и выбрать или установить рабочие линии спектра.

Комбо-бокс Catalog позволяет выбрать один из 11 каталогов стекол по их сокращениям:

'cornng', – каталог стекол зарубежной фирмы «Корнинг»;

'gost', – каталог отечественных стекол, соответствующих требованиям ГОСТ;

'Izosm', – последний каталог стекол ЛЗОС;

'hikari', – каталог стекол зарубежной фирмы «Хикари»;

Вкладка GlsCat правого блокнота программы .

'hoaya', – каталог стекол зарубежной фирмы «Хойя»;

'Izos_5', – вариант каталога стекол завода ЛЗОС;

'Izos_w', – вариант каталога стекол завода ЛЗОС с префиксом W;

'ohara', – каталог стекол зарубежной фирмы «Охара»;

'opal', – каталог отечественных стекол, взятый из

программы ОПАЛ;

'schott', – каталог стекол зарубежной фирмы «Шотт»;

'sumita' – каталог стекол зарубежной фирмы «Сумита»;

Список каталогов стекол.

Радио-бнок «Formula», расположенный под таблицей стекол текущего каталога, позволяет выбрать, по какой формуле будут рассчитываться показатели преломления рабочих стекол системы. Эта опция задействуется после нажатия кнопки Reorg AGF: программа производит изменения в базе данных рабочего каталога, которые на диске не сохраняются, но используются только во время работы с ОС.

По нажатии кнопки incGCatalog открывается системное окно «Открыть» и после выбора пользователем нового каталога стекол программа РОС обрабатывает указанный AGF-файл, адаптирует его для своей работы и включает в свой список каталогов стекол.

Правая половина вкладки GlsCat используется для просмотра параметров конкретного стекла из текущего каталога, а также для установки для Вашей ОС рабочих линий спектра:

Glass – название стекла из текущего каталога,

Nd – каталожное значение показателя преломления для d-линии спектра,

Vd – каталожное значение числа Аббе для d-линии спектра,

Herzberger – название формулы, принятой в текущем каталоге для расчета показателей преломления рабочих стекол во время работы программы,

TCE и TCN – каталожные значения коэффициентов теплового расширения и изменения показателя преломления для выбранного стекла,

A0...A10 – значения коэффициентов в аппроксимирующей формуле для выбранного стекла, взятые из текущего каталога,

Lam и NLam – две крайние длины волн (минимальная и ниже – максимальная), определяющие рабочий диапазон спектра и устанавливаемые пользователем, и значения показателей преломления на этих длинах волн, заполняемые программой,

m_n, m_x – минимальная и максимальная длины волн рабочего диапазона для данной ОС, определенные программой по параметрам стекол, из которых составлена данная ОС,

nnSpLns – окно редактора, в котором пользователь устанавливает число линий спектра, по которым программа будет тестировать и оптимизировать данную ОС.

AltLam – информационное окно, в которое программа выводит во время своей работы значение длины волны, на которой производится тестирование ОС; номер тест-линии устанавливается пользователем в панели spLnSelect на вкладке Тест (см. раздел «Тестирование ОС»).

12. АСФЕРИЧЕСКИЕ ПОВЕРХНОСТИ В ОС

Программа РОС «понимает» три типа поверхностей:

1. АП 2-го порядка – сфера (в т.ч. плоскость), эллипсоид, параболоид и гиперboloид. При этом знак у квадратов эксцентриситетов для всех этих АП – положительный (в отличие от программы ZeMax). Для сплюснутого сфероида знак $e^2 < 0$ – отрицательный.

2. Планоидные поверхности типа профиля Кербера.

3. АП высокого порядка – ретушированные поверхности 2го порядка или планоидные поверхности (типа пластин Б. Шмидта) с составляющими высокого порядка – обобщенный профиль Кербера.

Профиль Кербера 3-го порядка описывается уравнением

$$x = \delta_0 * (m * \rho^2 - \rho^4),$$

где x - текущая абсцисса поверхности или «стрелка» профиля, $\rho = y/H_s$ - относительная ордината на световом окне поверхности, y – текущая ордината поверхности, H_s – полудиаметр поверхности (предельное значение ординаты Y на данной поверхности); m - параметр профиля, определяющий относительно оси положение точки перегиба профиля. При $m = 2$ для $y = H_s$: $x = \delta_0$. Параметр δ_0 характеризует численное отступление профиля от плоскости, касательной в его вершине – при параметре $m = 0$ и при $m = 2$, численно $\delta_0 = x(H_s)$.

Если АП представлена в полярных координатах, то профиль Кербера позволяет в едином ключе рассматривать все АП, которые предстают как одна АП с различными значениями вершинной асферичности: начинается со сплюснутого сфероида, затем – сфера, в конце этого ряда – гиперboloид. АП ВП удобно анализировать с помощью обобщенного профиля Кербера, определяя целесообразность усложнения вводимой асферической поверхности. Более подробно с описанным представлением АП можно познакомиться в курсе лекций «Основы формообразования оптических поверхностей», В.И. Каширин, Екатеринбург, УПИ, 2006.

Окно просмотра параметров АП

При нажатии на вкладке «AsSurfs» кнопки «ViewHiLevelAsfSurfaceis» открывается окно "Параметры АП ВП", в котором представлены результаты анализа структуры асферичности исполнительных поверхностей ОС относительно профилей Кербера различного порядка:

Параметры АП высокого порядка		Таблица сопоставления АП ВП с профилями Кербера								
N АП ВП:		го=y/H	Хбсс, мм	ХАП, мм	dX, мкм	dt, мкм	kerb3, мкм	dt-kerb3, нм	kerb5, нм	ddt, нм
DAP, мм: 298,117		0,1	0,080	0,080	0,328	0,33	0,33	0,39	0,39	0,00
Ro, мм: -1380,399		0,2	0,321	0,322	1,273	1,27	1,27	1,43	1,43	0,00
Rбсс, мм: -1386,107		0,3	0,722	0,724	2,715	2,71	2,71	2,71	2,72	0,00
exс: 1,420		0,4	1,283	1,287	4,457	4,45	4,45	3,70	3,70	0,00
d30, мкм: 33,10		0,5	2,005	2,011	6,219	6,21	6,21	3,79	3,79	0,00
d50, мкм: 0,12		0,6	2,888	2,896	7,645	7,63	7,63	2,61	2,61	0,00
sqv, нм: 0,00		0,7	3,933	3,941	8,296	8,27	8,27	0,20	0,20	0,00
		0,8	5,139	5,147	7,652	7,62	7,63	-2,61	-2,61	0,00
		0,9	6,507	6,512	5,115	5,09	5,09	-3,86	-3,86	0,00
		1,0	8,038	8,038	0,000	0,00	0,00	0,00	0,00	0,00

Окно анализа структуры асферичности АП.

В таблице "Параметры АП" приведены:

- D - световой диаметр АП, мм,
- Ro - радиус кривизны вершинной сферы, мм,
- Rбсс - радиус кривизны ближайшей (трех-точечной) сферы сравнения АП, мм,
- exс - квадрат эксцентриситета поверхности,
- d03 – вершинная асферичность 3-го порядка, мк,
- d05 – вершинная асферичность 5-го порядка, мк,
- sqv - остаточная среднеквадратичная ошибка АП, нм.

Таблица сопоставления АП с профилями Кербера представляет:

- го = y / H - относительная ордината на АП,
- Хбсс - абсцисса на ближайшей сфере сравнения,
- ХАП - абсцисса на АП,
- dX = Хбсс - ХАП - разность абсцисс,
- dt - пересчет разности по нормали к ближайшей сфере сравнения,
- kerb3 - абсцисса на профиле Кербера 3-го порядка,
- dt-kerb3 - разность между нормализованной асферичностью и профилем Кербера 3-го порядка,
- kerb5 - профиль Кербера 5-го порядка,
- ddt - остаточная ошибка АП.

Для указания программе РОС о том, что поверхность стала асферической необходимо:

1. В панели «exс» вкладки optVars в строке с порядковым номером асферизируемой поверхности ввести символ «v» в столбце Var; если АП луч проходит дважды, то в столбце «ric up» ввести номер поверхности, которую луч пересекает первой, а в столбце Scale указать коэффициент трансформации активной асферичности в пассивную.
2. Перейти на вкладку «AsSurfs».
3. В графе exс ввести значение квадрата эксцентриситета АП. Для planoидной поверхности здесь вводится "вершинная асферичность" d30, то есть максимальное отступление planoида от плоскости, касающейся его в вершине, в мм. Закон изменения профиля АП определяется профилем Кербера 3-го порядка.
4. Для АП высокого порядка ввести коэффициенты высокого порядка K3, K4, K5 и K6, определяемые из уравнения АП:

$$y^2 + z^2 = 2rx + (e^2 - 1) * x^2 + K3 * x^3 + K4 * x^4 + K5 * x^5 + K6 * x^6.$$

Рекомендуется установить следующие предварительные значения коэффициентов:

$$K3 = 1e-4, K4 = 1e-6, K5 = 1e-8, K6 = 1e-10.$$

5. Вернуться на вкладку «МПО» и откорректировать уставки МПО. Для успешной работы с АП ВП необходимо на панелях «Цель МПО», «Уменьшить» включить одновременно обе опции «2го» и «Wскв».
6. Нажать кнопку «TestOS» для принятия произведенных изменений.

7. Запустить МПО, нажав кнопку «Старт МПО».

13. ТЕСТИРОВАНИЕ ОПТИЧЕСКОЙ СИСТЕМЫ

Программа РОС оснащена большим набором средств для специального тестирования оптических систем. Назначение элементов вкладки «Тест» левого блокнота (Рис. 6.1).

1. Радио-боксы Lw. В положении «0» тестируется центральная точка изображения, в положении Lw – точка на краю поля зрения.

2. На панели «Линии спектра» можно выбрать из рабочего спектрального диапазона номер рабочей спектральной линии, на которой программа будет производить тестирование ОС; при выборе крайних линий, ОС тестируется на минимальной или максимальной длине волны (см. раздел «Работа с каталогами оптических стекол»).

3. Бокс «Зональная ошибка» предназначен для оценки влияния осесимметричных кольцевых ошибок на качество изображения, даваемого разрабатываемой ОС:

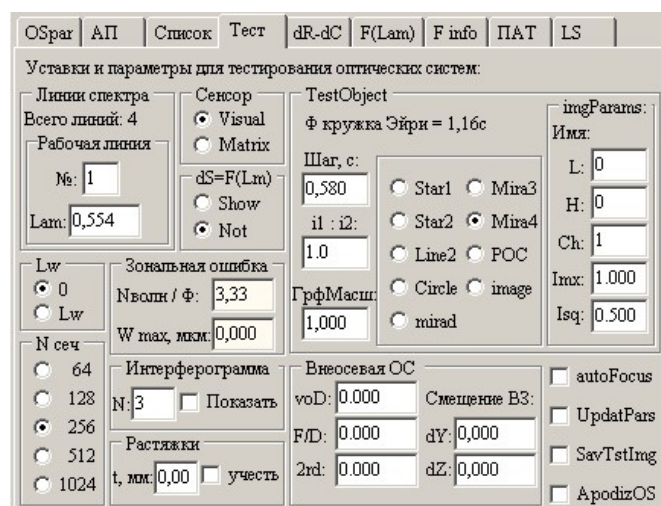
- число волн N зональной ошибки, имеющей синусоидальную форму, которые могут уложиться на диаметре входного зрачка. По умолчанию устанавливается число 3.333, как наиболее действенное;

- амплитуда Wmax зональной ошибки в микронах. При Wmax = 0 эта опция игнорируется.

4. Волновая ошибка ОС может отображаться, как в кольцах Ньютона, так и в полосах (при установке флажка «Показать» на панели «Интерферограмма»); число полос устанавливается в окне «N».

5. Радио-боксы «Сенсор»: при выборе Visual фокусировка производится на плоскость Гаусса по центральной точке изображения, а при Matrix - фокусировка производится по минимуму среднеквадратичного значения пятна рассеяния, осредненного по спектру и полю. Разные системы показывают лучшие результаты при установке только на «свой» тип сенсора.

6. Панель «TstObjct» предназначена для выбора объекта для тестирования: по 1й и 2м искусственным звездам, по 2м щелям, а также по радиальной или 3х/4х-штриховой мише. В этой панели можно изменить шаг между элементами изображения – угловое расстояние в секундах между звездами/штрихами; для справки здесь приведен угловой размер дифракционного кружка Эйри (2rd) для ОС, находящейся в данный момент в работе.



пани можно изменить шаг между элементами изображения – угловое расстояние в секундах между звездами/штрихами; для справки здесь приведен угловой размер дифракционного кружка Эйри (2rd) для ОС, находящейся в данный момент в работе.

Рис. 6.1. Страница «Тест» с уставками для тестирования оптических систем.

В окна `ImgParams` выводятся параметры цифрового тест-изображения, загруженного из файла: L – ширина кадра в пикселях, H – высота кадра в пикселях, Isq – среднеквадратичная яркость пикселя в изображении, Imx – максимальное значение яркости пикселя, Ch – цветность изображения (1 или 3 канала).

7. Редактор «ГрфМасш» предназначен для изменения масштаба у графика интенсивностей в поперечном сечении тест-изображения.

8. Панель $dS = F(\text{Lam})$ предназначена для включения или отключения опции построения зависимости смещения фокальной плоскости от длины волны в рабочем диапазоне спектра.

9. В панели «N сеч» можно выбрать число сечений входного зрачка, одинаковых для меридионального и сагиттального направлений, которые РОС использует в своих вычислениях ФРТ, ЧКХ и др. По требованию процедуры БПФ это число производно от двойки: 64, 128 и т.д.; при N , большем 1024, время выполнения тест-процедур становится неприемлемо большим.

10. Панель «Растяжки» предназначена для изменения в редакторе «t» значения толщины растяжек в Вашем рефлекторе. При установке флажка «Учесть» будет производиться тестирование и расчет критериев качества системы с учетом дифракции на растяжках.

11. Панель «Внеосевая ОС» заполняется в том случае, если ОС внеосевая:

- dY – смещение центра входного зрачка (ВЗ) поперёк оптической оси в меридиональной плоскости;

- dZ – смещение центра ВЗ поперёк оптической оси в сагиттальной плоскости.

- voD – диаметр внеосевого ВЗ.

Редакционные окна `F/D` и `2rd` заполняются автоматически.

12. При установке флажка `autoFocus` программа перед тестированием производит подфокусировку ОС по минимуму среднеквадратичного значения пятна рассеяния, осредненного по спектру и полю зрения; при снятом флажке автофокусировка не производится.

13. Чекбокс `UpdateMast` необходимо включать для масштабирования параметров текущей ОС (при изменении её диаметра или фокдела).

14. При установке флажка `SaveTestImg` пользователю будет предложена возможность сохранить дифракционное изображение тест-объекта, построенное тестируемой системой.

15. При установке флажка в чек-боксе `Apodization` волновая ошибка системы обнуляется по всему входному зрачку и её тестирование производится так, как если бы она была идеальной. Практически этого можно достичь путем полной асферизации или модификации пропускания.

2d- и 3d-графики частотно-контрастных характеристик

На второй вкладке правого блокнота (ЧКХ) находятся две кнопки: `2d_ЧКХ` и `3d_ЧКХ`: при нажатии первой выдается график ЧКХ в меридиональном сечении системы, при нажатии второй – псевдо-объемное изображение ЧКХ в координатах меридионального и сагиттального сечений.

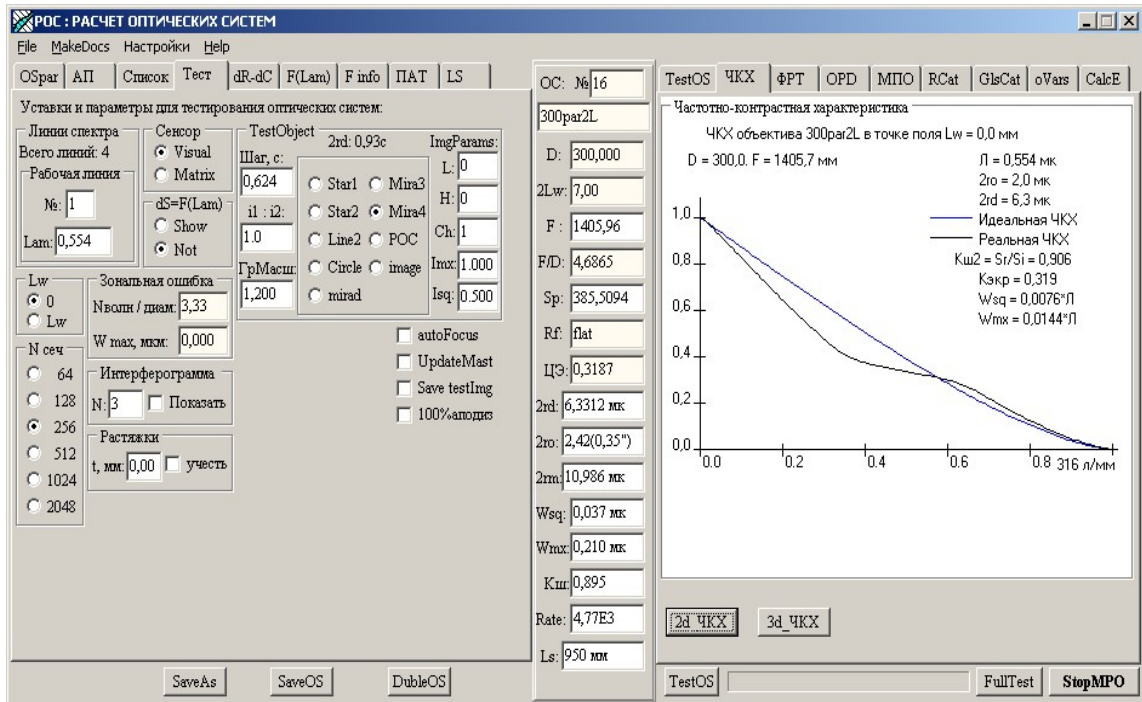


Рис. 6.2. Программа РОС при тестировании ОС по ЧКХ.

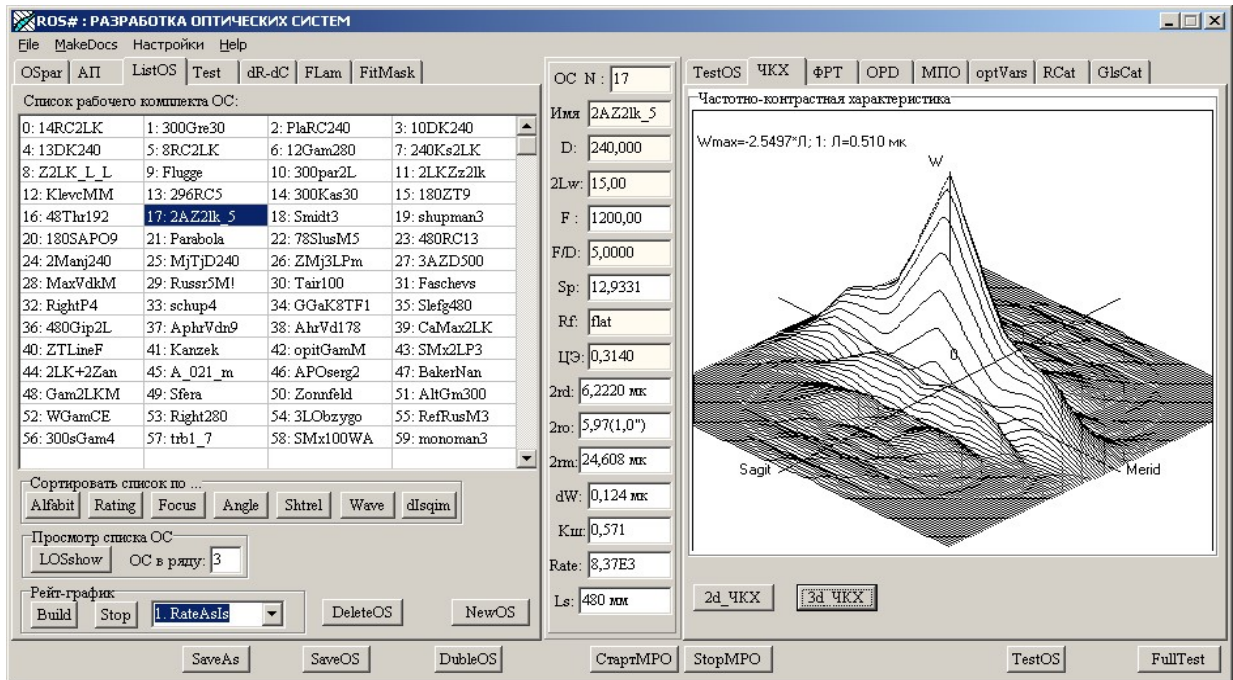


Рис. 6.3. 3d-график ЧКХ.

Функция рассеяния точки (PSF) и дифракционные тесты по синтезированным звездам, щелям и МИрам

На третьей вкладке правого блокнота (ФРТ) имеются две кнопки: ФРТ и Image-TEST. При нажатии первой выдается объемный график функции рассеяния точки, при нажатии второй рисуется дифракционная картина изображения тест-объекта. На панели TestObjct вкладки «Тест» левого блокнота можно выбрать тип тест-объекта, установить угловое расстояние между (Шаг) звездами/пикселями/штрихами по угловому размеру дифракционного кружка Эйри (2rd); для 2х звёзд установить соотношение их яркостей (i1 : i2) и указать масштаб (ГрМасш) для графиков распределения яркости (интенсивности) в сечениях дифракционных картин.

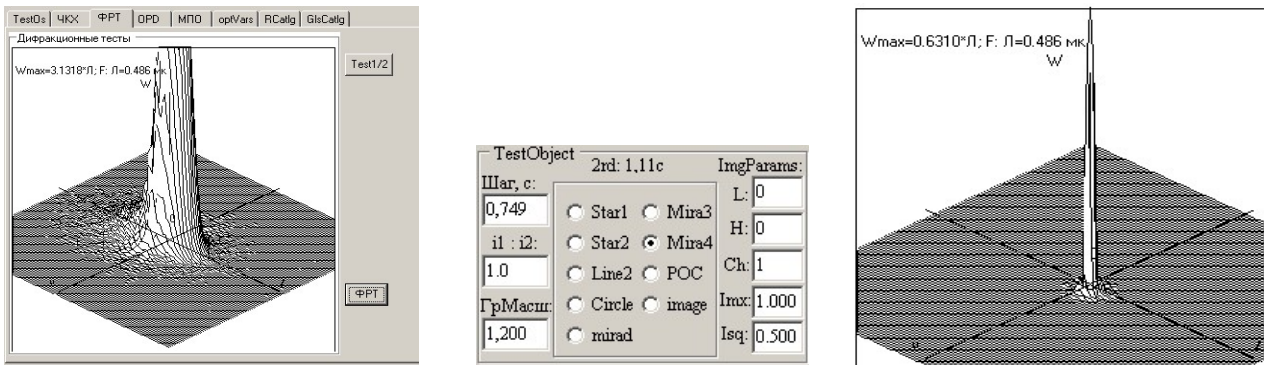


Рис. 6.4. ФРТ на краю поля (слева) и в центре (справа); в середине – панель TestObjct на вкладке «Тест».

Контраст между звездами и штрихами можно определить по сечениям на дифракционных картинах, направление обхода которых обозначено пунктирными линиями. Приведенное на графиках значение контраста $S/N(0,0)$ определено для центра дифракционной картины.

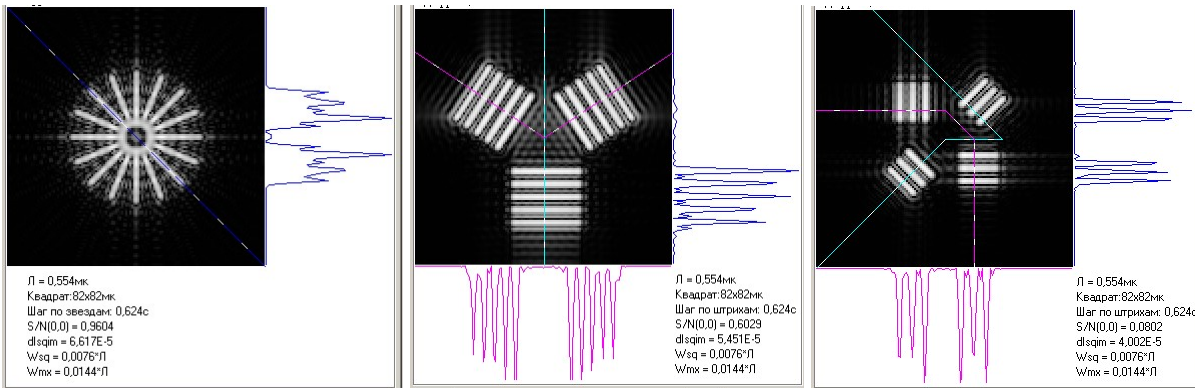
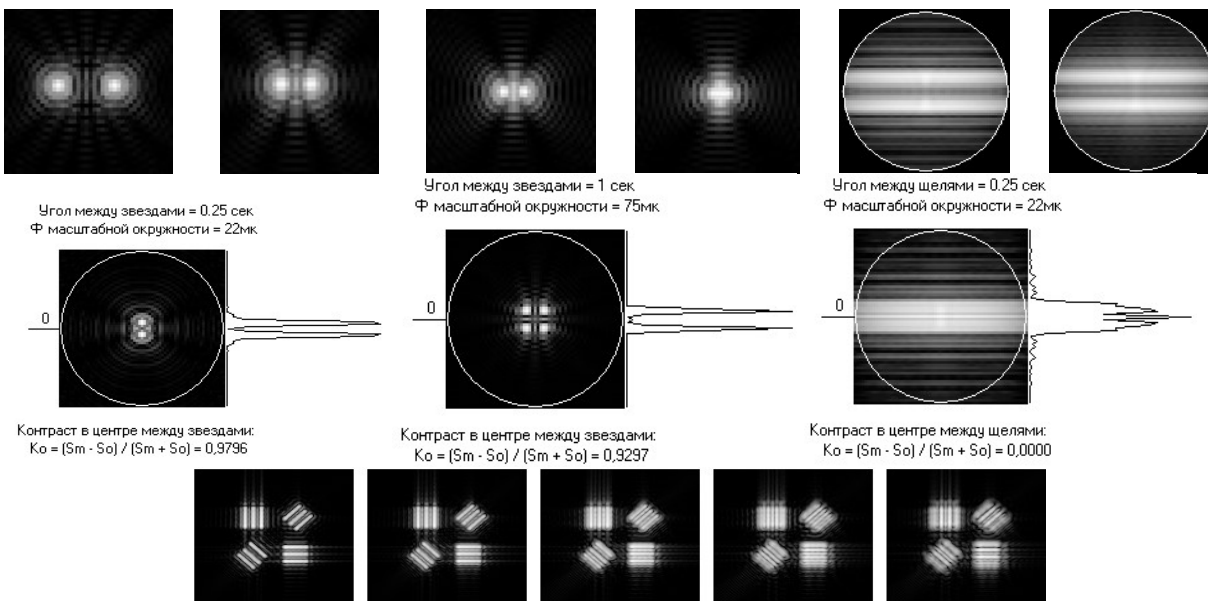


Рис. 6.5. Направление обхода тест-изображения миры при построении графика интенсивности.

На рисунке 6.6 представлено несколько дифракционных изображений тест-объектов.



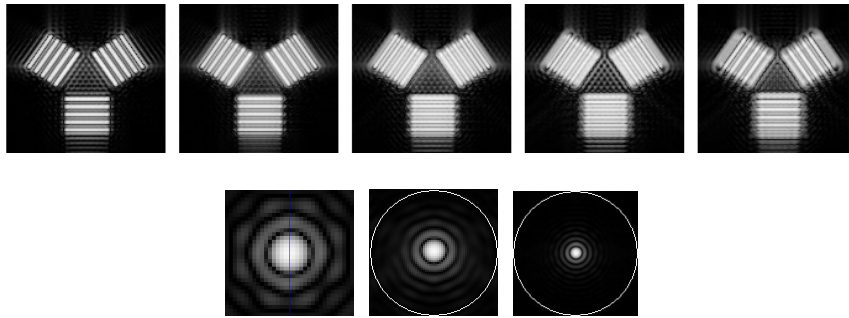


Рис. 6.6. Дифракционные изображения звезд, щелей и элементов штриховых миш.

В нижнем ряду на рисунке 6.6 представлено дифракционное изображение искусственной звезды при разных увеличениях (значениях коэффициента `difrImgMast`, устанавливаемое на вкладке «ФРТ»). Надо иметь в виду, что при `difrImgMast > 2` происходит отсечение краёв у зрачковой функции, что приводит к искажению результатов преобразований процедурой БПФ и образованию артефактов на дифракционных изображениях в виде прерывистости и некруглости дифракционных колец и ядер.

2х и 3х-мерные графики OPD и волновая ошибка в кольцах Ньютона

На 4й вкладке правого блокнота находятся три кнопки «Кольца Ньютона», `View_W` и `Interference`, а также панелька `GrfDim` для выбора размерности графика.

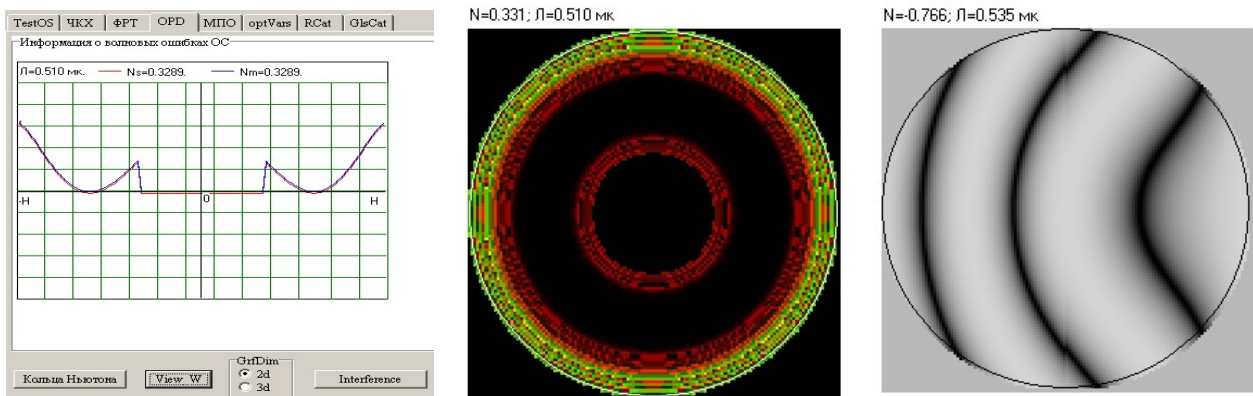


Рис. 6.7. Вкладка OPD (Optical Path Difference) и интерференция в кольцах Ньютона и в полосах.

При нажатии кнопок «Кольца Ньютона» или `Interference` выдаются изображения колец Ньютона или полос, которые можно было бы увидеть в воздушном зазоре между волновым фронтом, вышедшим из оптической системы, и ближайшей сферой сравнения к нему.

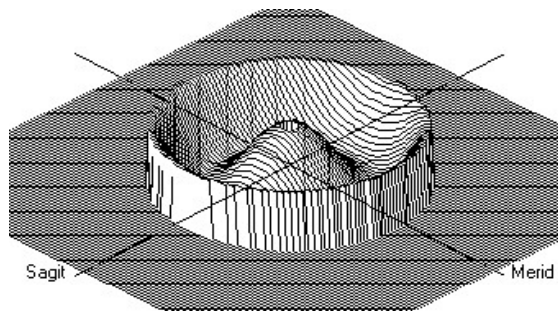
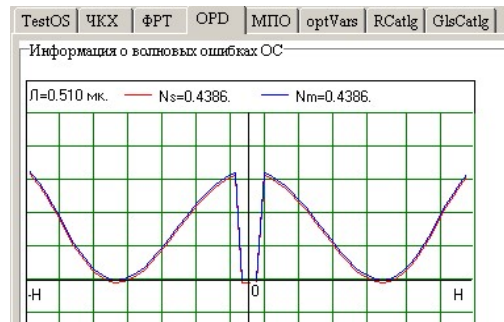
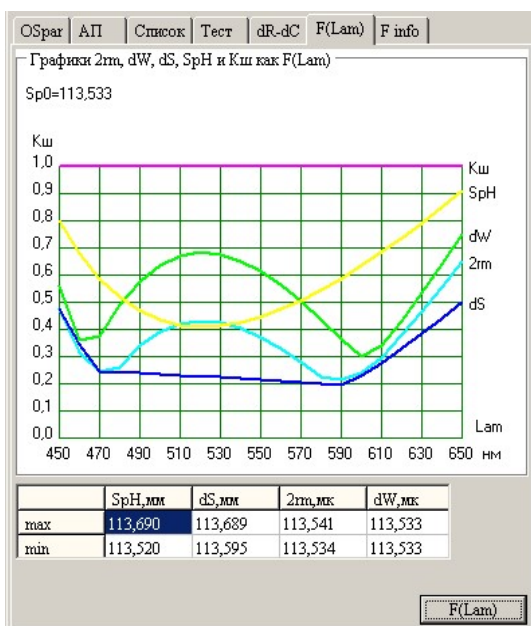


Рис. 6.8. Слева – волновая ошибка в меридиональном и сагиттальном сечениях; справа – ее 3d-график.

При нажатии кнопки View_W выводятся 2х или 3х-мерные графики волновой ошибки системы (зрачковой функции, Pupil Function). Необходимо отметить однозначную корреляцию волновой ошибки dW с величиной среднеквадратичной разности яркостей на идеальном и реальном изображениях (dI_{sqim}): чем меньше у ОС волновая ошибка dW , тем меньше dI_{sqim} . Такой же взаимосвязи, например, между ЧКХ и dI_{sqim} , не наблюдается.

Зависимость критериев качества оптической системы от длины волны

На вкладке F(Lam) представлены кривые зависимости от длины волны коэффициента Штреля, Кш, и среднеквадратичных значений размера наибольшего пятна рассеяния $2m$, волновой ошибки dW , значений последнего отрезка SpH для края входного зрачка и размаха продольной ошибки dS тестируемой системы.



Sp_0 – исходное значение последнего отрезка.
В Таблице под графиком указаны максимальные и минимальные значения, по которым можно определить масштаб для соответствующего параметра. Градуировка ординаты от 0 до 1 произведена для Кш.

Рис. 6.9. Зависимость параметров ОС от длины волны.

Построение графиков производится при открытии вкладки Flam левого блокнота или по нажатии кнопки F(Lam).

Построение каустики и определение положения фокальной «перетяжки»



Тестирование ОС или ее элементов в любительской практике обычно производится теневым методом Фуко. В этом случае полезно иметь сведения о положении как парааксиального (Гауссового), так и краевого фокусов.

Известны трудности точного определения парааксиального фокуса. Поэтому сначала определяется крайовой фокус, для чего необходимо перекрыть входной зрачок ОС центральным

экраном (ЦЭ), оставив на краю входного зрачка узкий кольцевой зазор.

Рис. 6.10. График каустики для ОС Райта Ф280/4.

Затем относительно полученного краевого фокуса определяются положения остальных фокусов: минимального пятна и краевого для отверстия в главном зеркале. Гауссов фокус целесообразнее вычислять теоретически.

Особый интерес представляет положение минимального пятна, совпадающее с положением «перетяжки» на каустике – минимума на кривой, огибающей пучок лучей, сходящихся к фокусу системы.

На вкладке «F info» левого блокнота строится график каустики для выбранной спектральной линии, в таблицу заносятся расчетные данные:

- Sp1 и Sp2 – определяют диапазон последних отрезков; под ними – значения полудиаметров каустики в микрометрах;
- Sp(H) и Sp(0) – последние отрезки для края и центра входного зрачка; под ними – величина ошибки определения размера этих пятен, обусловленная дискретностью шага по оси абсцисс;
- SpMin – положение «перетяжки» на каустике относительно последней поверхности ОС; под этим значением выведен минимальный полудиаметр каустики в микрометрах;
- Sp00 – исходное значение последнего отрезка, установленного программой по минимуму суммарного пятна рассеяния.

Полное тестирование оптической системы

При нажатии в Главном окне кнопки «FullTestOS» открывается новое окно «Полный тест ОС ...», в котором расположена кнопка «Старт»: по ее нажатии производится полный тест, по результатам которого можно проследить за динамикой роста aberrаций в зависимости от размера поля зрения системы.

В левом верхнем углу окна «Полный тест» приводится копия обычного тест-окна программы с графиком продольных ошибок $dS = F(Lam)$, справа от которой расположена сокращенная Таблица с параметрами ОС. В этой Таблице указано число сечений Nsec входного зрачка, использованное программой при анализе ОС, а также значение последнего отрезка optSp, оптимизированного на минимум волновой ошибки. Знаком «*» отмечаются асферические поверхности.

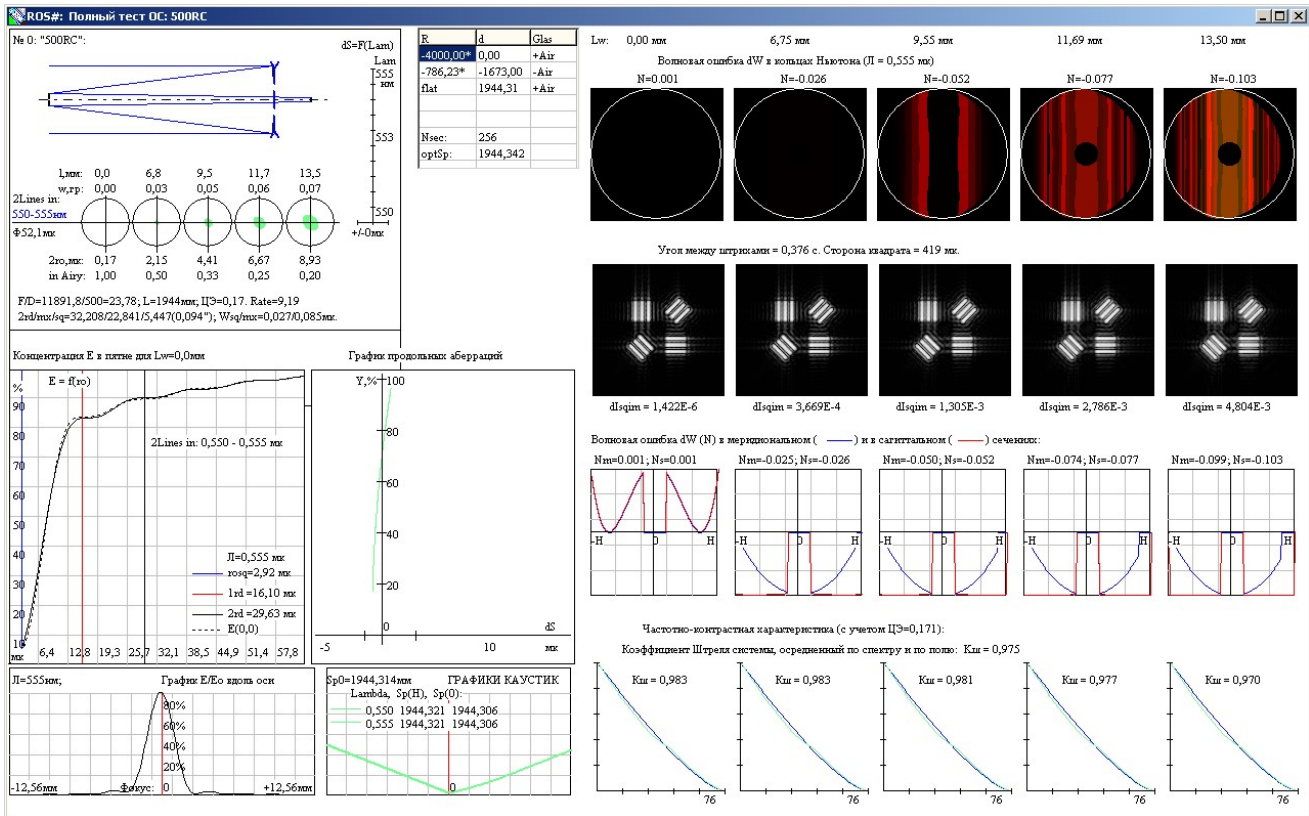


Рис. 6.11. Окно с информацией о полном тестировании системы 500RC Ф500/23.78. В качестве тест-объекта использована синтезированная 4х штриховая мира.

Под копией тест-окна располагается график концентрации излучения в пятне рассеяния, построенный для заданной пользователем полевой точки (0 или Lw) и для линии спектра, выбранной на вкладке Тест. Штриховой линией построен график концентрации энергии в пятне для ОС, имеющей нулевое значение волновой ошибки, по формуле

$$E = 1 - J_1^2(ro),$$

где J_1 – функция Бесселя первого рода первого порядка.

Вертикальными прямыми на графике $E = f(ro)$ для ведущей линии спектра отмечены значения первого (красный цвет) и второго (черный) дифракционного минимумов, а также среднеквадратическое значение половины диаметра пятна рассеяния, $rosq$ (синий).

Графики продольных ошибок $dS = F(y)$ вычисляются для меридионального сечения ОС для всех рабочих линий спектра.

Еще ниже приведен график расфокусировок (изменения интенсивности сфокусированного системой излучения вдоль оптической оси) для ведущей линии спектра, а также графики каустик.

В правой части окна полного тестирования ОС расположены картины колец Ньютона (или интерференционных полос) и дифракционных изображений тест-объекта, графики волновой ошибки в меридиональном и сагиттальном сечениях, а также графики ЧКХ – в зависимости от линейного размера поля зрения. Здесь же указано значение коэффициента Штреля, осредненное по полю и спектру.

Графики концентрации энергии, ЧКХ и каустик приведены для всех рабочих линий спектра.

При разрешении дисплея менее 1024x768 полное тестирование не производится.

Тестирование ОС по всем тест-объектам в одном окне

При нажатии в Главном окне кнопки «AllObjTest» открывается новое окно «Тест по всем объектам ОС: ...», в котором расположена кнопка «StartTest»: по ее нажатии производится тестирование ОС с использованием семи синтезированных тест-объектов по всему полю зрения, начиная от его центра, к краю. Для остановки процесса тестирования нажмите любую клавишу, после чего закройте Тест-окно.

По результатам тестирования можно проследить за качеством изображения в зависимости от размера поля зрения системы и типа тест-объекта.

Первые четыре тест-объекта (одна искусственная звезда, две ИЗ, две линии и кольцо) представлены в 2х-кратном увеличении, остальные три (радиальная мира, 3х- и 4х-штриховая миры) изображаются в масштабе 1 : 1. Над изображением каждого тест-объекта в относительных единицах указан уровень фона в нём.

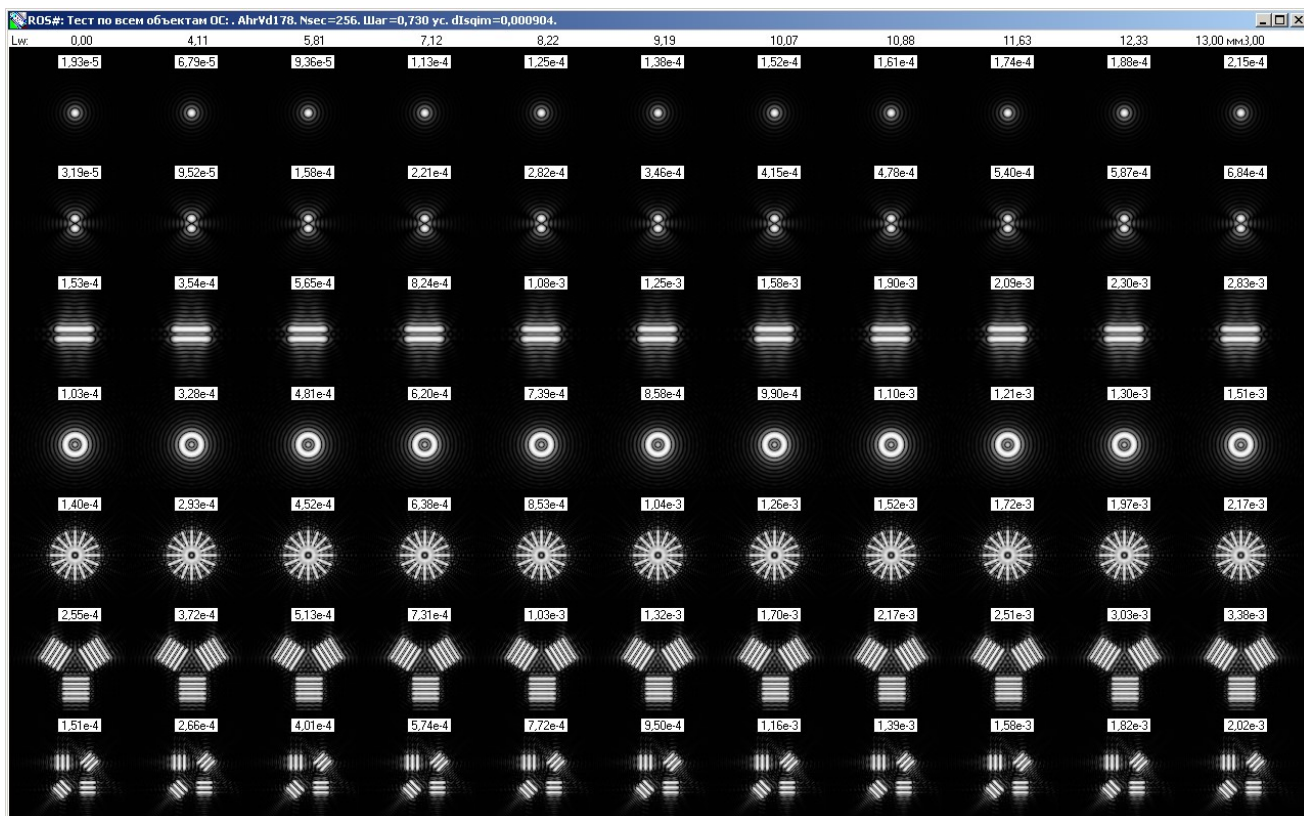


Рис. 6.12. Тестирование 60-мм поля изображения системы AhrVd178 по семи тест-объектам.

В строке названия Тест-окна приведены следующие данные: Nsec – число сечений входного зрачка, использованное при вычислении зрачковой функции; «Шаг» - расстояние между искусственными звездами в тест-объектах, в угловых секундах; dIsqim – среднеарифметическое значение уровня фона, в %, определённое по всем изображениям.

Выбором числа сечений на вкладке «Тест» левого блокнота программы можно обеспечить необходимый масштаб изображения тест-объектов.

При разрешении дисплея менее 1024x768 тестирование по всем тест-объектам не производится.

Тест по снимкам реальных объектов

На странице «Тест» левого блокнота в боксе TstObjct выберите image (рис. 6.13), перейдите на страницу ФРТ правого блокнота и нажмите кнопку Image-TEST – откроется системное окно «Открыть». В окне «Открыть» в папке ros\docs\imgs\ выберите нужный файл с расширением *.fit для тестирования своей системы по изображению реального объекта.

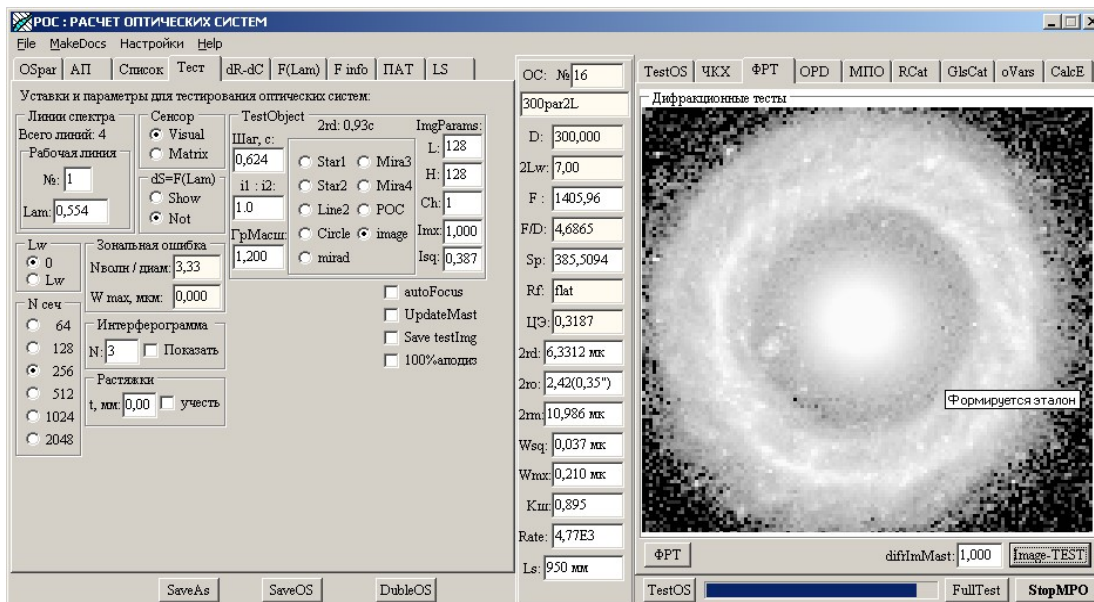


Рис. 6.13. РОС после вывода на вкладку ФРТ изображения выбранного тест-объекта.

РОС приступит к выполнению первого этапа тестирования – формированию эталонной зрачковой функции по изображению тест-объекта, которую имел бы Ваш объектив, не будь у него aberrаций. На рисунке 6.13 программа сигнализирует о ходе обработки тест-изображения: заполняет окно прогресс-бара и выводит на изображение взятое в рамку сообщение «Формируется эталон».

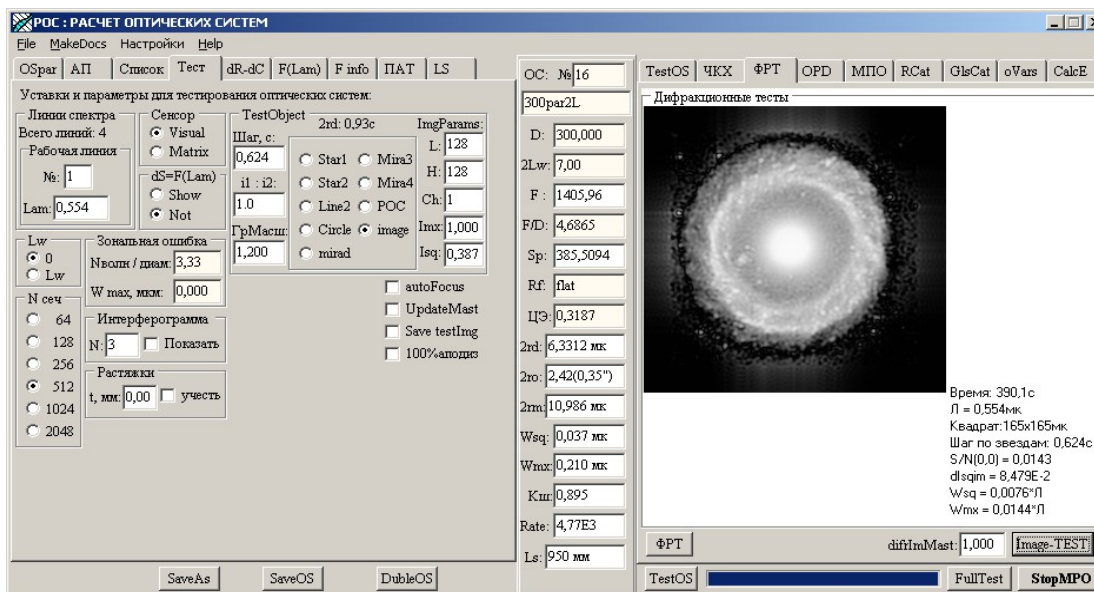


Рис. 6.14. РОС после тестирования реальной системы по тест-объекту.

На втором этапе через реальный объектив формируется дифракционное изображение тест-объекта, которое выводится в окно «Дифракционные тесты» правого блокнота.

Тест-объект должен быть в FIT-файле в формате IEEE Float, а его размеры не превышать 256x256 пикселей, так как программа создает десятки тысяч дублей исходной зрачковой функции тестируемого объектива и при тактовой частоте процессора 1.8 ГГц время обработки одного кадра размером 128x128 пикселей при NSec = 1024 составляет более 10 минут.

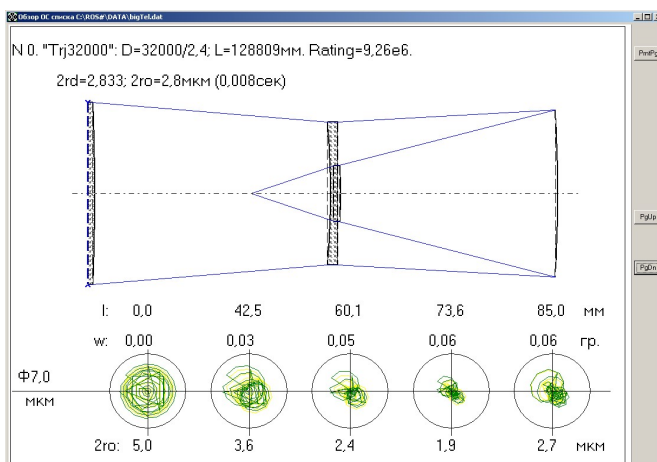
14. МАСШТАБИРОВАНИЕ ОПТИЧЕСКОЙ СИСТЕМЫ

Масштабирование размеров ОС в программе РОС производится посредством изменения в Таблице «внешних» параметров одного из двух внешних параметров: D – диаметра входного зрачка и/или фокалея F/D – фокального делителя. Для вступления в силу этой опции необходимо на странице «Тест» левого блокнота поставить флажок в чекбоксе UpdateMast.

После изменения этих параметров нажмите мышкой на **кнопку «TestOS»**, в результате чего все параметры (кроме размера поля зрения) будут преобразованы пропорционально изменению диаметра ОС или ее фокалея и система будет протестирована.

По окончании процедуры масштабирования, чтобы обеспечить в дальнейшем стабильность измененных параметров, необходимо на странице «Тест» левого блокнота убрать флажок в чекбоксе UpdateMast.

Масштабный эффект



При разработке крупногабаритной оптики обнаруживается линейная зависимость размера пятна рассеяния от габаритных размеров ОС. Приходится применять различные ухищрения, чтобы достичь приемлемое качество (см. рис. 11.1). Когда уже

Крупногабаритная система Теребижа.

Хроматизм ограничивает разрешающую способность системы и применение ее возможно только на линиях спектра d и e (желтая и зеленая).

ничто не помогает, приходится маскировать

недостатки системы под обтекаемым термином «субсекундное качество изображения», означающее, что гигантский профессиональный телескоп по качеству изображения уравнивается со школьным.

Масштабирование ОС с использованием МП-оптимизатора

Введите новую ОС или откройте уже существующую и на вкладке МРО произведите следующие изменения:

- a. Задайте новый размер максимального пятна, введя его значение в строку $2m$. Эта величина должна быть равна размеру кружка Эйри, который будет давать масштабируемая ОС.
- b. Откорректируйте списки оптимизируемых параметров.
- c. В боксе «Цель МПО» установите флажок «Удержать» F'.
- d. Нажмите кнопку «Старт» МРО.

РОС произведет перерасчет радиусов кривизны ОС и их асферичностей, а также осевых расстояний. В результате изменения параметров ОС приобретет фокусное расстояние с равными между собой размерами кружка Эйри и $2m$. После этого программа приступит к оптимизации отмасштабированной таким образом ОС. Тут ее можно притормозить, нажав на кнопку МРО => Stop, и продолжить дальнейшую работу с системой.

15. НОРМАЛИЗАЦИЯ РАЗМЕРОВ РАДИУСОВ

Для изготовления на оптическом заводе радиусы исполнительных поверхностей ОС должны быть нормализованы по каталогу пробных стекол.

При нажатии кнопки "**NormR**", расположенной на вкладке «**OSpar**», РОС производит подстановку вместо расчетного значения радиуса – значение ближайшего к нему номинала из таблицы **RCatalog** на вкладке «**RCatlg**».

При ухудшении качества изображения вернитесь к первоначальным параметрам, снова выбрав ОС из списка ОС, и, отмасштабировав ее одним из вышеописанных способов, попытайтесь "поймать" качество, наилучшее из возможных.

Если настаиваете на своих номиналах радиусов, то при заказе придется оплачивать изготовление эталонов (пробных стекол), каждый номинал которых обойдется Вам по цене всей Вашей ОС.

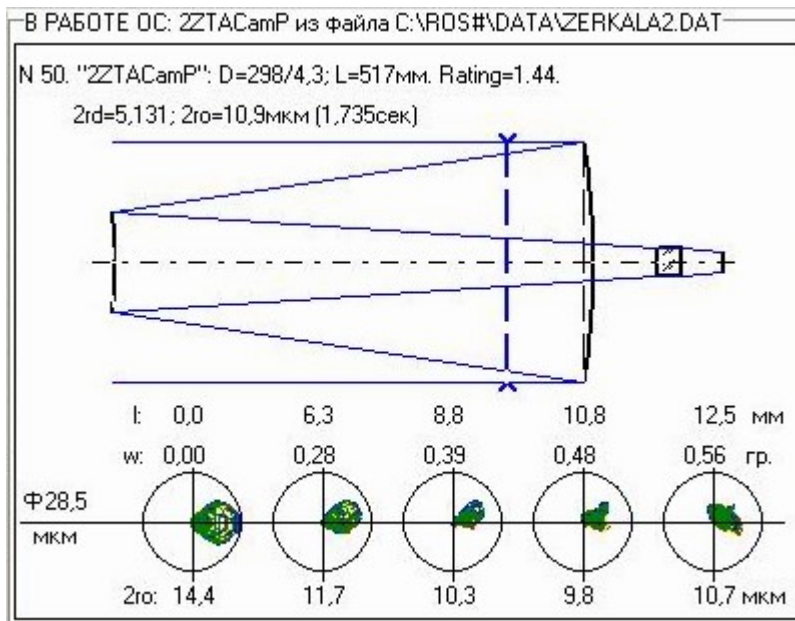
Если Вы сами изготавливаете оптику, полагаясь на свои методы контроля, то процедуру нормализации радиусов можно не использовать.

После введения допусков и нажатия на кнопку **"Input dC"** РОС протестирует "косую ОС" и представит результаты тестирования в тест-окне. В **информационном окне вкладки "dR – dC"** появятся значения допустимой расфокусировки для дифракционного и максимального ($2r_m$, выставленного на вкладке МПО) пятен рассеяния.

По нажатии кнопки **"Calc dC"** производится определение расчетных значений допусков.

В качестве критерия принимается одно из значений Максимум – $2r_o$, $2r_{mx}$, Кш или dW , указываемого пользователем в окне редактора «MaxToler».

После введения рассчитанных допусков «косая» ОС тестируется (см. рис. 10.2). При расчете допусков и тестировании производится подфокусировка ОС.



Результат тестирования «косой» ОС.

Полученные в результате расчета величины допусков вписываются РОС в таблицы «Требования к изготовлению» при распечатке эскизов оптических деталей.

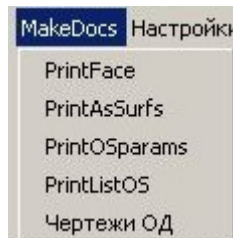
На этой же вкладке можно оценить влияние изменения температуры на качество изображения (см. рис.10.1, бокс «Термо-абберации»). После введения ожидаемого перепада температуры и выбора материала трубы телескопа, нажмите кнопку «Termo Test». В процессе термо-тестирования системы программа удерживает неизменным последний отрезок.

17. РАЗРАБОТКА И ПЕЧАТЬ ЭСКИЗОВ ДЕТАЛЕЙ

В программе РОС имеется возможность создания эскизов оптических деталей, входящих в состав ОС, включая склейки.

Войдите в **Меню «MakeDocs»** (см. рис. 9.1) и выберите пункт **"Чертежи ОД"**. Будут сгенерированы стандартные бланки, на которых изображены эскизы деталей и оптическая схема разработанной ОС. Эта документация будет сохранена в формате *.jpg в папке ... \ROS#\DATA\DOCS\nameOS (при этом старая папка будет затерта); здесь nameOS – имя ОС, находящейся в данный момент в работе.

Команды Меню «MakeDocs».



Если в Настройках РОС выставлен флажок "Печатать" и Вы не забыли включить принтер, то вся указанная документация будет распечатана на принтере в формате A11 (210x297 мм).

Распечатка на принтере

Оптическая схема и эскизы деталей сохраняются на диске в формате *.jpg и могут быть проанализированы в любом графическом редакторе и распечатаны на принтере.

Однако в программе РОС имеется собственная служба печати.

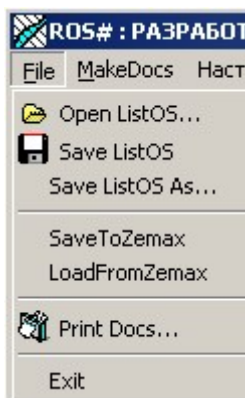
Во-первых, в настройках программы РОС (пункт Меню Настройки) необходимо выставить флажок "Печать".

Во-вторых, в Меню программы MakeDocs (рис. 9.1) выберите одну из четырех команд:

- PrintFace – распечатка Главного окна программы РОС, как есть,
- PrintOSparams – распечатка таблицы внутренних параметров ОС,
- PrintListOS – распечатка списка ОС, входящих в открытый файл,
- Чертежи ОД – сохранение и распечатка эскизов ОД.

18. СВЯЗЬ С ПРОГРАММОЙ ZEMAX

Параметры разработанной ОС могут быть переданы в программу ZeMax. Для этого войдите в Меню File и выберите команду «Save to ZeMax», укажите папку, в которой необходимо сохранить файл с данными ОС и дайте имя этому файлу с расширением nameOS.zmx. Затем, во время работы в программе ZeMax, загрузите сохраненный файл с параметрами своей системы. Поскольку в РОС входной значок не является рабочей поверхностью ОС, но, тем не



менее, фигурирует, то программой ZeMax он воспринимается, как первая рабочая поверхность ОС. Можно удалить ее, но можно оставить и для зеркальных систем использовать в качестве экрана: параметры экранирования в *.zmx-файл передаются.

Установите параметры функции качества системы по умолчанию, откорректируйте (при необходимости) рабочие длины волн и углы поля зрения и продолжите работу со своей системой в программе ZeMax.

Команды меню для связи РОС с программой ZeMax.

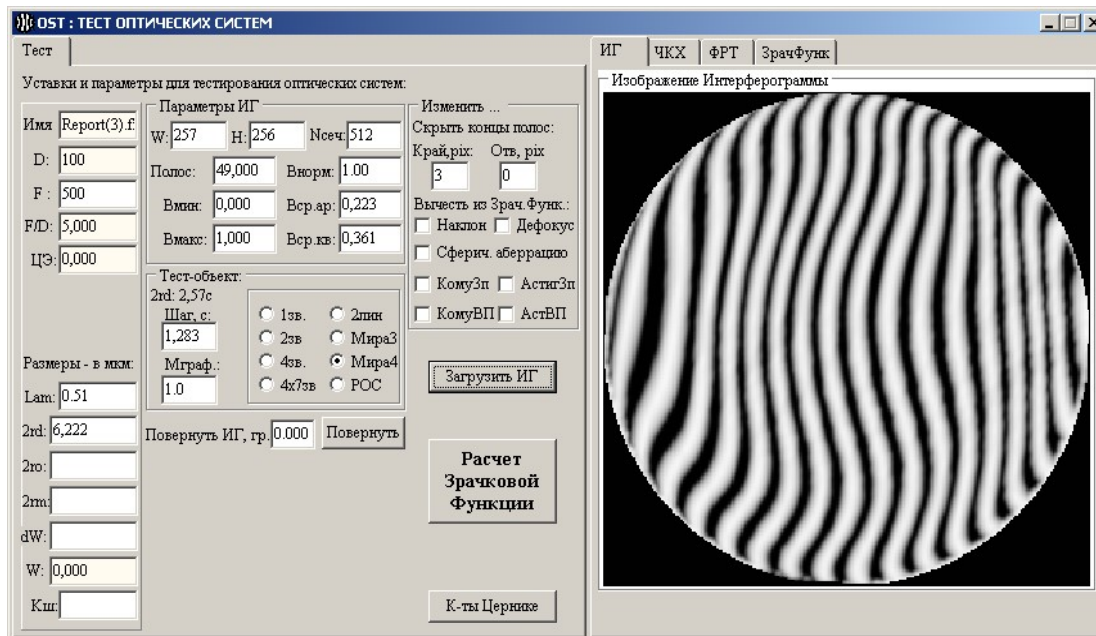
РОС может загрузить ОС, разработанную в программе ZeMax.

Для этого в программе РОС войдите в Меню File и выберите команду «Load from ZeMax», затем выберите папку и *.zmx -файл с искомой ОС.

При этом необходимо иметь в виду, что РОС воспринимает ОС только со стандартными параметрами, но не работает с анаморфотами и прочими ОС. Эксцентриситеты асферических поверхностей в РОС имеют обратные знаки, чем в программе ZeMax. Кроме того, не все каталоги стекол введены в программу РОС, на что и будет указано при загрузке ZeMax -системы.

II. Программа ОСТ

ТЕСТ-ОКНО ПРОГРАММЫ



Внешний вид программы «Оптических систем тестирование»

В левой половине Главного окна расположена вкладка «Тест», на которую выводятся все уставки программы и параметры тестируемой ОС:

- Имя - название оптической системы (по имени открытого файла);
- D – диаметр входного зрачка ОС в миллиметрах;
- F – фокусное расстояние ОС (мм);
- F/D - фокальный делитель;
- ЦЭ - относительная величина центрального экранирования системы;
- dSmx – продольная ошибка ОС, мм (для Фукограмм);
- Lam – длина волны излучения, на которой снята ИГ, (мк);
- 2rd - диаметр дифракционного кружка Эйри для ведущей линии спектра, в микрометрах (мк),
- 2ro – размер осредненного по полю и спектру пятна рассеяния (мк),
- 2rm – размер максимального пятна рассеяния (мк),
- dW – среднеквадратическая величина волновой ошибки ОС (мк);
- W – размах волновой ошибки ОС (мк);
- К_ш – коэффициент Штреля, определенный по ЧКХ.

В этой таблице обязательными к заполнению являются величины D, F, F/D, ЦЭ и Lam. Первые три используются для вычисления вспомогательных параметров ОС, а также для оцифровки координатных осей ЧКХ, ЦЭ – гарантирует корректность считывания данных с ИГ, значение длины волны обеспечивает правильность отображения численных значений волновых ошибок. При качественной оценке ОС ввод параметров D, F, F/D и Lam необязателен.

По нажатию кнопки «Загрузить ИГ» открывается окно выбора файла с изображением ИГ. Программа ОСТ считывает изображение ИГ в форматах *.JPG или *.FIT, но корректная работа пока гарантирована только с форматом *.FIT.

После загрузки в правом блокноте на вкладке «ИГ» появляется изображение ИГ, а на вкладке «Тест» левого блокнота, в боксе «Параметры изображения ИГ» выводятся следующие значения:

- W – ширина изображения ИГ, в пикселях,
- H – высота изображения ИГ, в пикселях,
- Nсеч – число сечений входного зрачка, используемое в процедурах БПФ,
- Вмин – минимальная яркость пикселя на изображении ИГ,
- Вмак – максимальная яркость пикселя на изображении ИГ,
- Вsr.ar. – среднеарифметическое значение яркости пикселей на изображении ИГ,

- Вsr.кв. – среднеквадратическое значение яркости пикселей на изображении ИГ.
- Внорм – максимальная яркость пикселя на изображении ИГ, использованная для нормирования яркости пикселей по изображению ИГ.

По нажатии кнопки «Расчет Зрачковой Функции» программа ОСТ производит анализ изображения ИГ:

- определяет число ярких полос и в боксе «Параметры изображения ИГ» выводит это значение в окно «Nполос»;
- трассирует полосы, определяя координаты пикселей полосы, и отображает трассу на ИГ. Здесь имеется возможность исправить траекторию трассировок на краю ИГ, для чего в боксе «Изменить ...» имеется редактируемое окно – Край, рix – число пикселей на краю ИГ, у которых будет исправлена траектория,
- реконструирует по ИГ зрачковую функцию ОС, используя полиномы Цернике до 14й степени. Результаты этой работы можно посмотреть, нажав на кнопку «К-ты Цернике».

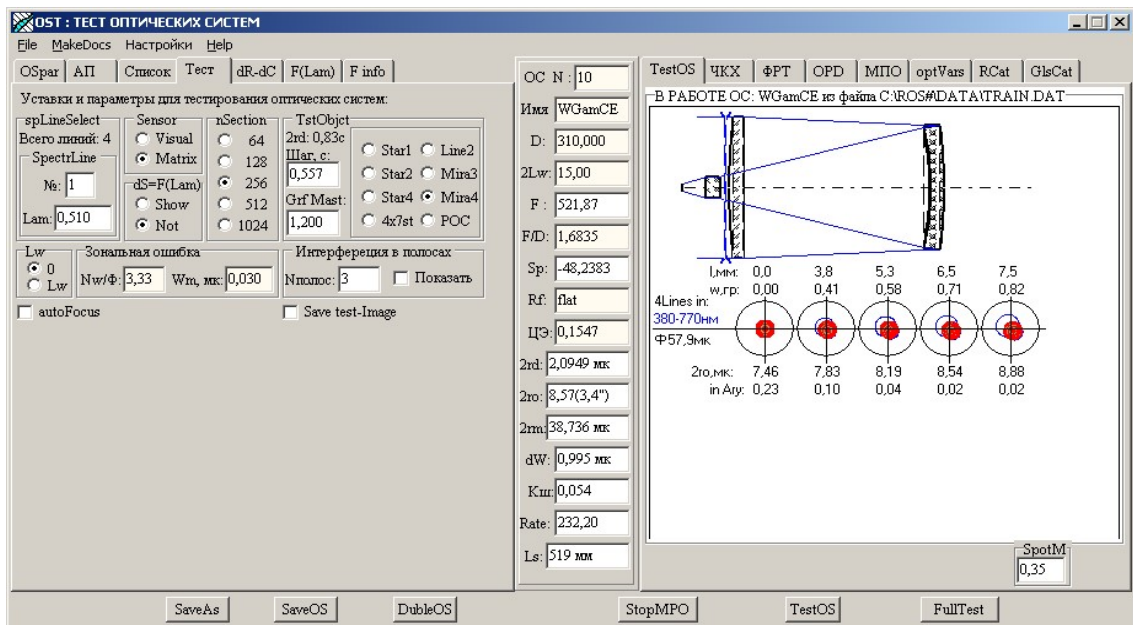
1. Интерферограмма и проблема восстановления фазы

О самом методе аттестации оптики по ИГ1

Точность фиксации распределения освещенности на ИГ ставит предел достоверности оценок качества оптики. Например, ИГ имеет размер 256x256 пикселей и 25 полос (традиционно рекомендуемое число). Тогда на одну полосу приходится $256/25 = 10$ пикселей. Следовательно, ошибка в один пиксель даст $1/10$ полосы, $1/20$ длины волны или, что при $\lambda = 632 \text{ нм} = 0.632 \text{ мкм}$ дает погрешность оценки ошибки системы 0.03 мкм .

Давайте оценим, много это или мало, 0.03 мк.

В программе РОС, предназначенной для расчета ОС, на вкладке «Тест» левого блокнота есть опция для оценки влияния зональной ошибки на качество изображения оптической системы:



Бокс «Зональная ошибка» на вкладке «Тест» программы РОС.

Воспользуемся этой возможностью.

Сначала при зональной ошибке $W_m = 0$ построим ЧКХ системы: $K_{ш} = 0.653$ (см. рисунок П2). Затем введем $W_m = 0.03$ мк: $K_{ш} = 0.597$ (рисунок П3).

При ошибке в 2 пикселя ($\lambda/10 = 0.06$ мк) $K_{ш} = 0.494$ (рисунок П4). Имеет место понижение любимого критерия на четверть (!).

Вот такая печальная арифметика.

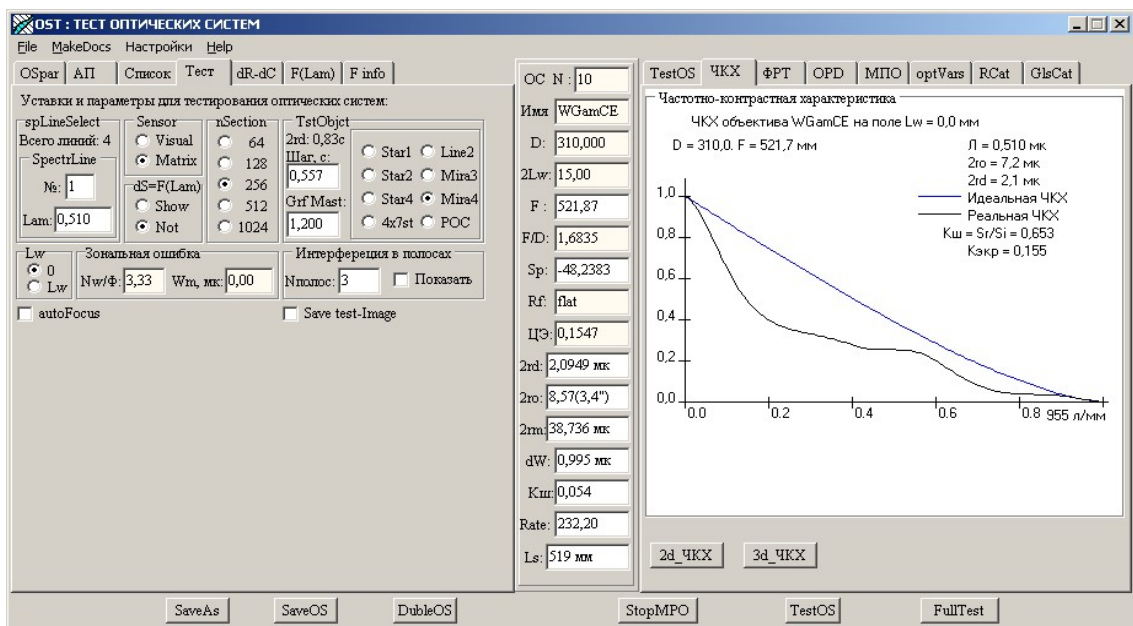


Рис. П2. Исходная ЧКХ и первоначальное значение $K_{ш} = 0.653$.

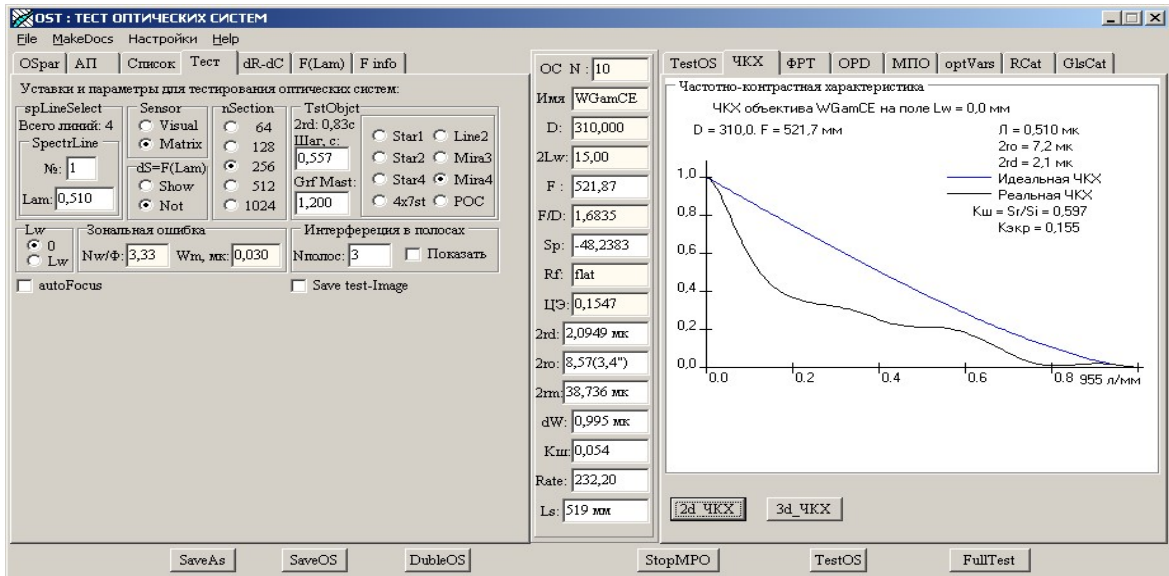


Рис. П3. ЧКХ и Кш при зональной ошибке $W_m = 0.03$ мк.

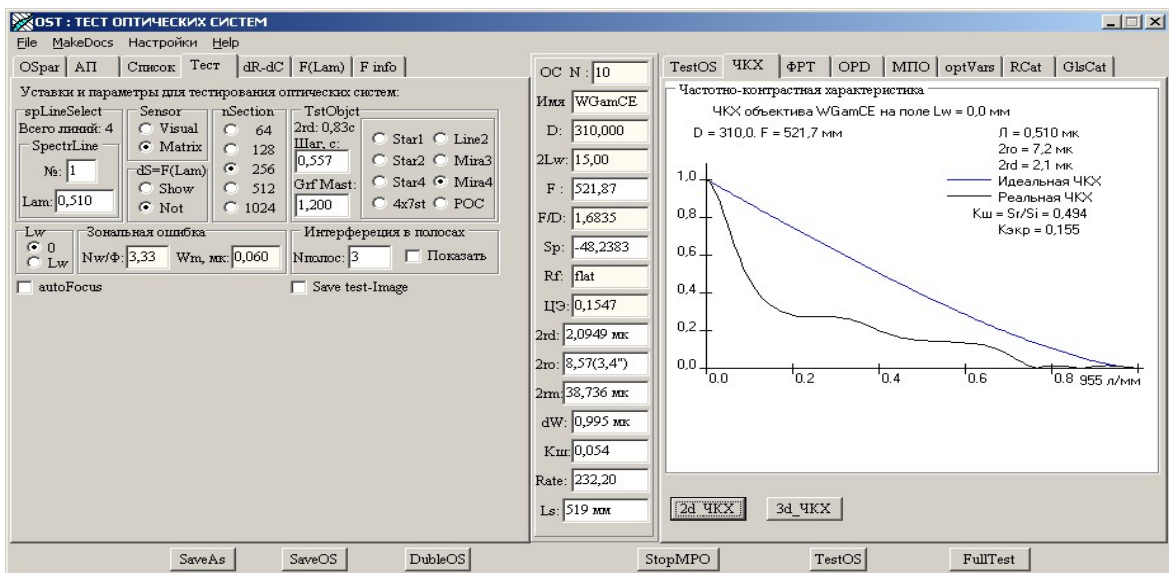


Рис. П4. ЧКХ и Кш при зональной ошибке $W_m = 0.06$ мк.

Из проведённого анализа следует, что точность оценки ОС можно повысить, уменьшая число полос на ИГ. Однако при этом полосы на краях приобретают значительное искривление, которое при их трассировке вносит большую краевую ошибку. В ОСТ предусмотрена коррекция трассировки, когда до края остается несколько пикселей, и удовлетворительная оценка ОС производится при числе полос от 9 до 20.

Как известно, точность графического решения, например, определения корней уравнений, составляет 5%, т.е. $0.05 = 1/20$, что полностью соответствует точности оценки волновой ошибки у ОС в долях длины волны. И, как ни прискорбно, но никакие математические ухищрения (различного типа регрессии, сплайны и т.д. и т.п.) не позволяют улучшить эту ситуацию.

Недавно появилась программа DFTFringe, в которой восстановление фазы волновой ошибки производится не по результатам сканирования полос, а посредством Фурье-преобразования ИГ. Применение быстрого преобразования Фурье несколько уточняет полученную оценку точности, но вряд ли более, чем в два раза.

Однако в программе DFTFringe обработке подвергается не один снимок ИГ, а несколько ИГ, отснятых в видео-ролике. Такой подход, в принципе, способен на порядок поднять результирующую точность.

2. Трассировка полос

Первой процедурой при обработке изображения интерференционной картины, называемой интерферограммой или сокращённо ИГ, является определение числа вертикальных полос в пределах измеряемого диаметра и формирование массива с координатами центров полос в срединном сечении ВЗ.

Найденные координаты центров полос используются на следующем этапе для попиксельного движения вдоль соответствующих полос.

После нахождения очередного максимума на полосе его координаты из целочисленного значения, путём использования значения яркостей соседних пикселей, переводятся в действительное значение посредством применения синусоидальной аппроксимации графика яркостей в поперечном сечении полосы.

Если у аттестуемой ОС нет центрального экранирования (ЦЭ), то на ИГ отсутствуют разрывы интерференционных полос. В этом случае используется следующая функция.

```
function DefPolos:float;
// число вертикальных полос в горизонтальном сечении в ОС без ЦЭ
var
  i,j,k,ibn,ied,pmx,pmn: integer;
  a1,a2,x1,x2: float;
begin
  i:=0;
  k:=q;
  pmx:=0;
  pmn:=0;
  j:=k*w;
  a1:=Crooks^[j+i];
  a2:=Crooks^[j+i+1];
  inc(i);
  while i<=w do
  if a2>a1 then
    repeat
      a1:=a2;
      a2:=Crooks^[j+i];
      if a2<a1 then
        begin
          mxPosV[pmx].x:=i;
          mxPosV[pmx].y:=q;
          inc(pmx);
        end;
      inc(i);
    until ((a2<a1) or (i=w))
  else
    repeat
      a1:=a2;
      a2:=Crooks^[j+i];
      if a2>a1 then
        begin
          mnPos[pmn].x:=i;
          mnPos[pmn].y:=q;
          inc(pmn);
        end;
      inc(i);
    until ((a2<a1) or (i=w))
  end;
end;
```

```

until ((a2>a1) or (i=w));
i:=mnPos[0].x;
j:=mxPosV[0].x;
if i<j then
  ibn:=i
else
  ibn:=j;
i:=mnPos[pmn].x;
if i>w then
  i:=w;
j:=mxPosV[pmx].x;
if j>w then
  j:=w;
if i>j then
  ied:=i
else
  ied:=j;
result:=(pmx+1-(ied-ibn)/w;
end;

```

Если же ОС имеет ЦЭ, о чём пользователь программы ОСТ должен ей сообщить, введя в редакционное окно «ЦЭ» число Секг, соответствующее величине ЦЭ в относительных единицах от диаметра ВЗ контролируемой ОС.

В этом случае программа ОСТ использует более сложный алгоритм подсчета числа полос.

На первом этапе производится сканирование посередине ИГ поперёк полос и подсчёт их числа, начиная с левого края ВЗ, до левого края центрального экрана ОС.

На втором этапе производится сканирование и подсчёт числа полос на уровне верхнего края ЦЭ, начиная от левого края центрального экрана и заканчивая правым краем ЦЭ.

На третьем этапе сканируются и подсчитываются полосы на уровне нижнего края ЦЭ, также в пределах центрального экрана.

На последнем, четвёртом, этапе программа заканчивает подсчёт полного числа полос, сканируя поперёк полос посередине ИГ от правого края ЦЭ до правого края ВЗ.

Процедуры DefVKrayCE и DefNKrayCE используются для подсчёта числа полос, соответственно, на уровне верхнего и нижнего краёв ЦЭ.

Чтобы при поперечном сканировании полос избежать случайного выхода в заэкранированную зону, сканирование полос производится на 2 пикселя выше/ниже ЦЭ. Именно поэтому верхняя граница ЦЭ ограничена величиной 0.7, т.е Секг должно быть не более 0.7.

```

procedure DefVKrayCE (
  xv: integer; // xBeg of Crook
  var x: integer // xEnd of Crook
);
var
  i,k,qe: integer;
  a1,a2,a3: float;
begin
  k:=xv;
  i:=q;
  qe:=q-qce-1;
  while (i>qe) do
  begin
    a1:=crooks^[w*i+k-1];
    a2:=crooks^[w*i+k];

```

```

    a3:=crooks^[w*i+k+1];
    if ((a1>a2) and (a1>a3)) then
        dec(k);
    if ((a3>a1) and (a3>a2)) then
        inc(k);
        dec(i); // на пиксель выше
end;
x:=k;
end;

```

```

procedure DefNKrayCE(
    xv: integer; // xBeg of Crook
    var x: integer // xEnd of Crook
);
var
    i,k,qe: integer;
    a1,a2,a3: float;
begin
    k:=xv;
    i:=q;
    qe:=q+qce+1;
    while (i<qe) do
    begin
        a1:=crooks^[w*i+k-1];
        a2:=crooks^[w*i+k];
        a3:=crooks^[w*i+k+1];
        if ((a1>a2) and (a1>a3)) then
            dec(k);
        if ((a3>a1) and (a3>a2)) then
            inc(k);
        inc(i); // на пиксель ниже
    end;
    x:=k;
end;

```

```

function DefFullPlsV:float;
// число вертикальных полос над ЦЭ: Goriz/Circ/Goriz
var
    i,j,k,m,n,x2,x3,y,
    np1,np2,np3,ib,ied,ibn,ibx,ien,iex,pmx,pmn,qe: integer;
    a1,a2: float;
    mxPos2,mxPos3: array [0..49] of IPoint;
begin
// от левого края ВЗ до правого края ЦЭ
    i:=0;
    pmx:=0;
    pmn:=0;
    j:=q*w;
    qe:=q-qce; // левый край ЦЭ
    a1:=Crooks^[j];
    a2:=Crooks^[j+1];
    inc(i);
    while (i<=qe) do
        if a2>a1 then

```

```

repeat
  a1:=a2;
  a2:=Crooks^[j+i];
  if a2<a1 then
    begin
      mxPosV[pmx].x:=i;
      mxPosV[pmx].y:=q;
      inc(pmx);
    end;
  inc(i);
until ((a2<a1) or (i>qe))
else
  repeat
    a1:=a2;
    a2:=Crooks^[j+i];
    if a2>a1 then
      begin
        mnPos[pmn].x:=i;
        mnPos[pmn].y:=q;
        inc(pmn);
      end;
    inc(i);
  until ((a2>a1) or (i>qe));
np1:=pmx;
ibn:=mnPos[0].x;
ibx:=mxPosV[0].x;
// левый узел над ЦЭ:
if qce>0 then
  DefVKrayCE(mxPosV[np1-1].x,x2);
// от правого края ЦЭ до правого края ВЗ
pmx:=0;
pmn:=0;
i:=q+qce;
j:=q*w;
a1:=Crooks^[j+i];
a2:=Crooks^[j+i+1];
inc(i);
while (i<w) do
if a2>a1 then
  repeat
    a1:=a2;
    a2:=Crooks^[j+i];
    if a2<a1 then
      begin
        mxPos3[pmx].x:=i;
        mxPos3[pmx].y:=q;
        inc(pmx);
      end;
    inc(i);
  until ((a2<a1) or (i=w))
else
  repeat
    a1:=a2;
    a2:=Crooks^[j+i];

```

```

if a2>a1 then
begin
  mnPos[pmn].x:=i;
  mnPos[pmn].y:=q;
  inc(pmn);
end;
inc(i);
until ((a2>a1) or (i=w));
np3:=pmx;
ien:=mnPos[pmn-1].x;
iex:=mxPos3[pmx-1].x;
if qce>0 then
begin
// правый узел над ЦЭ:
DefVKrayCE(mxPos3[0].x,x3);
// от левого до правого края и над ЦЭ, параллельно оси
pmx:=0;
pmn:=0;
qe:=x3-1;
y:=q-qce-1;
i:=x2+1;
j:=y*w;
a1:=Crooks^[j+i];
a2:=Crooks^[j+i+1];
inc(i);
while (i<qe) do
if a2>a1 then
repeat
  a1:=a2;
  a2:=Crooks^[j+i];
  if a2<a1 then
  begin
    mxPos2[pmx].x:=i;
    mxPos2[pmx].y:=y;
    inc(pmx);
  end;
  inc(i);
until ((a2<a1) or (i=qe))
else
repeat
  a1:=a2;
  a2:=Crooks^[j+i];
  if a2>a1 then
  begin
    mnPos[pmn].x:=i;
    mnPos[pmn].y:=y;
    inc(pmn);
  end;
  inc(i);
until ((a2>a1) or (i=qe));
np2:=pmx;
for i:=0 to np2-1 do
begin
  mxPosV[np1+i].x:=mxPos2[i].x;

```

```

    mxPosV[np1+i].y:=mxPos2[i].y;
end;
end
else
  np2:=0;
for i:=0 to np3-1 do
begin
  mxPosV[np1+np2+i].x:=mxPos3[i].x;
  mxPosV[np1+np2+i].y:=mxPos3[i].y;
end;
pmx:=np1+np2+np3;
i:=ibn;
j:=ibx;
if i<j then
  ibn:=i
else
  ibn:=j;
i:=ien;
if i>w then
  i:=w;
j:=iex;
if j>w then
  j:=w;
if i>j then
  ied:=i
else
  ied:=j;
result:=pmx+1-(ied-ibn)/w;
end;

function DefFullPlsN:float;
// число вертикальных полос под ЦЭ: Goriz/Circ/Goriz
var
  i,j,k,m,n,x2,x3,y,
  np1,np2,np3,ib,ied,ibn,ibx,ien,iex,pmx,pmn,qe: integer;
  a1,a2: float;
begin
// от левого края ВЗ до правого края ЦЭ
i:=0;
pmx:=0;
pmn:=0;
j:=q*w;
qe:=q-qce; // левый край ЦЭ
a1:=Crooks^[j];
a2:=Crooks^[j+1];
inc(i);
while (i<=qe) do
if a2>a1 then
  repeat
  a1:=a2;
  a2:=Crooks^[j+i];
  if a2<a1 then
  begin
    mxPosN[pmx].x:=i;

```

```

    mxPosN[pmx].y:=q;
    inc(pmx);
end;
inc(i);
until ((a2<a1) or (i>qe))
else
repeat
a1:=a2;
a2:=Crooks^[j+i];
if a2>a1 then
begin
mnPos[pmn].x:=i;
mnPos[pmn].y:=q;
inc(pmn);
end;
inc(i);
until ((a2>a1) or (i>qe));
np1:=pmx;
ibn:=mnPos[0].x;
ibx:=mxPosN[0].x;
// левый узел под ЦЭ:
if qce>0 then
DefNKrayCE(mxPosN[np1-1].x,x2);
// от правого края ЦЭ до правого края ВЭ
pmx:=0;
pmn:=0;
i:=q+qce;
j:=q*w;
a1:=Crooks^[j+i];
a2:=Crooks^[j+i+1];
inc(i);
while (i<w) do
if a2>a1 then
repeat
a1:=a2;
a2:=Crooks^[j+i];
if a2<a1 then
begin
mxPos3[pmx].x:=i;
mxPos3[pmx].y:=q;
inc(pmx);
end;
inc(i);
until ((a2<a1) or (i=w))
else
repeat
a1:=a2;
a2:=Crooks^[j+i];
if a2>a1 then
begin
mnPos[pmn].x:=i;
mnPos[pmn].y:=q;
inc(pmn);
end;

```

```

    inc(i);
    until ((a2>a1) or (i=w));
np3:=pmx;
ien:=mnPos[pmn-1].x;
iex:=mxPos3[pmx-1].x;
// правый узел под ЦЭ:
if qce>0 then
begin
    DefNKrayCE(mxPos3[0].x,x3);
// от левого до правого края и под ЦЭ, параллельно оси
pmx:=0;
pmn:=0;
qe:=x3-1;
y:=q+qce+1;
i:=x2+1;
j:=y*w; // под ЦЭ
a1:=Crooks^[j+i];
a2:=Crooks^[j+i+1];
inc(i);
while (i<qe) do
if a2>a1 then
repeat
    a1:=a2;
    a2:=Crooks^[j+i];
    if a2<a1 then
begin
    mxPos2[pmx].x:=i;
    mxPos2[pmx].y:=y;
    inc(pmx);
end;
    inc(i);
until ((a2<a1) or (i=qe))
else
repeat
    a1:=a2;
    a2:=Crooks^[j+i];
    if a2>a1 then
begin
    mnPos[pmn].x:=i;
    mnPos[pmn].y:=y;
    inc(pmn);
end;
    inc(i);
until ((a2>a1) or (i=qe));
np2:=pmx;
for i:=0 to np2-1 do
begin
    mxPosN[np1+i].x:=mxPos2[i].x;
    mxPosN[np1+i].y:=mxPos2[i].y;
end;
end
else
np2:=0;
for i:=0 to np3-1 do

```

```

begin
  mxPosN[np1+np2+i].x:=mxPos3[i].x;
  mxPosN[np1+np2+i].y:=mxPos3[i].y;
end;
pmx:=np1+np2+np3;
i:=ibn;
j:=ibx;
if i<j then
  ibn:=i
else
  ibn:=j;
i:=ien;
if i>w then
  i:=w;
j:=iex;
if j>w then
  j:=w;
if i>j then
  ied:=i
else
  ied:=j;
result:=pmx+1-(ied-ibn)/w;
end;

```

После получения для полос координат «вершин хребтов» производится сканирование вдоль полос, начиная – в отсутствие ЦЭ – со середины полосы, в сторону её верхнего и нижнего концов. В случае ЦЭ сканирование вдоль полосы производится, начиная от конца, прилегающего к кромке ЦЭ, в сторону края ВЗ.

3. ПРИМЕНЕНИЕ ПОЛИНОМОВ ЦЕРНИКЕ И МЕТОДА НАИМЕНЬШИХ КВАДРАТОВ ПРИ ВОССТАНОВЛЕНИИ ЗРАЧКОВОЙ ФУНКЦИИ ОС

В результате сканирования N полос образуется N массивов, содержащих координаты «вершин хребтов». Задачей дальнейших преобразований является восстановление по искривлению интерференционных полос формы зрачковой функции ОС, т.е. величины волновых ошибок и их распределения по ВЗ.

Для этого целесообразно использовать некую априорную универсальную функцию, какую, например, мы использовали при описании асферических поверхностей (обобщенный профиль Кербера). Однако профиль Кербера основан на степенном базисе ρ^{2k} , где $\rho = y/H$ – относительная ордината на оптической поверхности, а $2k$ – представляет собой её четную степень. С помощью степенного базиса удобно описывать осесимметричные ошибки, но затруднительно – более сложные отклонения волнового фронта.

Целесообразнее оказываются полиномы Цернике. Они составляют ортогональный базис, особенностью которого является независимость друг от друга полиномов, описывающих разнородные искажения волнового фронта – комы, астигматизма и др. Это позволяет после восстановления зрачковой функции ОС производить её поабберационный анализ путём выборочного вычленения той или иной аберрации.

Определение коэффициентов, входящих в состав полиномов Цернике, в программе ОСТ производится методом наименьших квадратов (МНК).

На первом этапе формируется информационная матрица, состоящая из членов, полученных преобразованием искривления интерференционных полос в первоначальное, приближённое, значение волновой ошибки. Назначение МНК состоит в том, чтобы путём статистической обработки и осреднения экспериментальных данных, рафинировать результат, значительно повысив его точность.

Затем вычисляется детерминант информационной матрицы и значения коэффициентов Цернике. В конце производится коррекция коэффициентов с учётом их весов.

Ниже приведён комплект функций $kc11 - ks122$ и $ks11 - ks122$, вычисляющих значения соответствующих полиномов Цернике, как при формировании информационной матрицы для МНК, так и при вычислении непосредственных значений зрачковой функции исследуемой ОС.

```
function kc11(r,cs:float):float;
begin
  result:=r*cs;
end;
```

```
function ks11(r,sn:float):float;
begin
  result:=r*sn;
end;
```

```
function kc20(r2:float):float;
begin
  result:=(r2*2-1);
end;
```

```
function kc22(r2,cs2:float):float;
begin
  result:=r2*cs2;
end;
```

```

function ks22 (r2,sn2:float) :float;
begin
  result:=r2*sn2;
end;

function kc31 (r,r2,cs:float) :float;
begin
  result:=(r2*3-2)*r*cs;
end;

function ks31 (r,r2,sn:float) :float;
begin
  result:=(r2*3-2)*r*sn;
end;

function kc33 (r,r2,cs3:float) :float;
begin
  result:=r*r2*cs3;
end;

function ks33 (r,r2,sn3:float) :float;
begin
  result:=r*r2*sn3;
end;

function kc40 (r2:float) :float;
begin
  result:=((r2*6-6)*r2+1);
end;

function kc42 (r2,cs2:float) :float;
begin
  result:=(r2*4-3)*r2*cs2;
end;

function ks42 (r2,sn2:float) :float;
begin
  result:=(r2*4-3)*r2*sn2;
end;

function kc44 (r2,cs4:float) :float;
begin
  result:=sqr (r2) *cs4;
end;

function ks44 (r2,sn4:float) :float;
begin
  result:=sqr (r2) *sn4;
end;

function kc51 (r,r2,cs:float) :float;
begin
  result:=((r2*10-12)*r2+3)*r*cs;

```

```

end;

function ks51(r,r2,sn:float):float;
begin
  result:=((r2*10-12)*r2+3)*r*sn;
end;

function kc53(r,r2,cs3:float):float;
begin
  result:=r*r2*(r2*5-4)*cs3;
end;

function ks53(r,r2,sn3:float):float;
begin
  result:=r*r2*(r2*5-4)*sn3;
end;

function kc55(r,r2,cs5:float):float;
begin
  result:=sqr(r2)*r*cs5;
end;

function ks55(r,r2,sn5:float):float;
begin
  result:=sqr(r2)*r*sn5;
end;

function kc60(r2:float):float;
begin
  result:=((r2*20-30)*r2+12)*r2-1;
end;

function kc62(r2,cs2:float):float;
begin
  result:=((r2*15-20)*r2+6)*r2*cs2;
end;

function ks62(r2,sn2:float):float;
begin
  result:=((r2*15-20)*r2+6)*r2*sn2;
end;

function kc64(r2,cs4:float):float;
begin
  result:=(r2*6-5)*sqr(r2)*cs4;
end;

function ks64(r2,sn4:float):float;
begin
  result:=(r2*6-5)*sqr(r2)*sn4;
end;

function kc66(r2,cs6:float):float;
begin

```

```

    result:=r2*sqr(r2)*cs6;
end;

function ks66(r2,sn6:float):float;
begin
    result:=r2*sqr(r2)*sn6;
end;

function kc71(r,r2,cs:float):float;
begin
    result:=((r2*35-60)*r2+30)*r2-4)*r*cs;
end;

function ks71(r,r2,sn:float):float;
begin
    result:=((r2*35-60)*r2+30)*r2-4)*r*sn;
end;

function kc73(r,r2,cs3:float):float;
begin
    result:=(r2*21-30)*r2+10)*r2*r*cs3;
end;

function ks73(r,r2,sn3:float):float;
begin
    result:=(r2*21-30)*r2+10)*r2*r*sn3;
end;

function kc75(r,r2,cs5:float):float;
begin
    result:=(r2*7-6)*sqr(r2)*r*cs5;
end;

function ks75(r,r2,sn5:float):float;
begin
    result:=(r2*7-6)*sqr(r2)*r*sn5;
end;

function kc77(r,r2,cs7:float):float;
begin
    result:=r2*sqr(r2)*r*cs7;
end;

function ks77(r,r2,sn7:float):float;
begin
    result:=r2*sqr(r2)*r*sn7;
end;

function kc80(r2:float):float;
begin
    result:=(((r2*70-140)*r2+90)*r2-20)*r2+1);
end;

function kc82(r2,cs2:float):float;

```

```

begin
  result:=(((r2*56-105)*r2+60)*r2-10)*r2*cs2;
end;

function ks82(r2,sn2:float):float;
begin
  result:=(((r2*56-105)*r2+60)*r2-10)*r2*sn2;
end;

function kc84(r2,cs4:float):float;
begin
  result:=((r2*28-42)*r2+15)*sqr(r2)*cs4;
end;

function ks84(r2,sn4:float):float;
begin
  result:=((r2*28-42)*r2+15)*sqr(r2)*sn4;
end;

function kc86(r2,cs6:float):float;
begin
  result:=(r2*8-7)*sqr(r2)*r2*cs6;
end;

function ks86(r2,sn6:float):float;
begin
  result:=(r2*8-7)*sqr(r2)*r2*sn6;
end;

function kc91(r,r2,cs:float):float;
begin
  result:=(((r2*126-280)*r2+210)*r2-60)*r2+5)*r*cs;
end;

function ks91(r,r2,sn:float):float;
begin
  result:=(((r2*126-280)*r2+210)*r2-60)*r2+5)*r*sn;
end;

function kc93(r,r2,cs3:float):float;
begin
  result:=((r2*84-168)*r2+105)*r2-20)*r2*r*cs3;
end;

function ks93(r,r2,sn3:float):float;
begin
  result:=((r2*84-168)*r2+105)*r2-20)*r2*r*sn3;
end;

function kc95(r,r2,cs5:float):float;
begin
  result:=((r2*36-56)*r2+21)*sqr(r2)*r*cs5;
end;

```

```

function ks95(r,r2,sn5:float):float;
begin
  result:=((r2*36-56)*r2+21)*sqr(r2)*r*sn5;
end;

function kc100(r2:float):float;
begin
  result:=((((r2*252-630)*r2+560)*r2-210)*r2+30)*r2-1);
end;

function kc120(r2:float):float;
begin
  result:=((((r2*924-2772)*r2+3150)*r2-1680)*r2+420)*r2-42)*r2+1);
end;

function kc140(r2:float):float;
begin
  result:=((((((r2*3432-12012)*r2+16632)*r2-11550)*r2+4200)*r2-
756)*r2+56)*r2-1);
end;

function kc111(r,r2,cs:float):float;
begin
  result:=((((r2*462-1260)*r2+1260)*r2-560)*r2+105)*r2-6)*r*cs;
end;

function ks111(r,r2,sn:float):float;
begin
  result:=((((r2*462-1260)*r2+1260)*r2-560)*r2+105)*r2-6)*r*sn;
end;

function kc113(r,r2,cs3:float):float;
begin
  result:=(((r2*330-840)*r2+756)*r2-280)*r2+35)*r2*r*cs3;
end;

function ks113(r,r2,sn3:float):float;
begin
  result:=(((r2*330-840)*r2+756)*r2-280)*r2+35)*r2*r*sn3;
end;

function kc131(r,r2,cs:float):float;
begin
  result:=((((((r2*1716-5544)*r2+6930)*r2-4200)*r2+1260)*r2-
168)*r2+7)*r*cs;
end;

function ks131(r,r2,sn:float):float;
begin
  result:=((((((r2*1716-5544)*r2+6930)*r2-4200)*r2+1260)*r2-
168)*r2+7)*r*sn;
end;

function kc102(r2,cs2:float):float;

```

```

begin
  result:=(((r2*210-504)*r2+420)*r2-140)*r2+15)*r2*cs2;
end;

function ks102(r2,sn2:float):float;
begin
  result:=(((r2*210-504)*r2+420)*r2-140)*r2+15)*r2*sn2;
end;

function kc104(r2,cs4:float):float;
begin
  result:=((r2*120-252)*r2+168)*r2-35)*sqr(r2)*cs4;
end;

function ks104(r2,sn4:float):float;
begin
  result:=((r2*120-252)*r2+168)*r2-35)*sqr(r2)*sn4;
end;

function kc122(r2,cs2:float):float;
begin
  result:=((((r2*792-2310)*r2+2520)*r2-1260)*r2+280)*r2-21)*r2*cs2;
end;

function ks122(r2,sn2:float):float;
begin
  result:=((((r2*792-2310)*r2+2520)*r2-1260)*r2+280)*r2-21)*r2*sn2;
end;

// вычисление коэффициентов Цернике методом МНК
procedure CSZernike;
var
  wk, // dW на точке в долях полосы
  ro,ro2, // r/H0, r2/H2
  cs,cs2,cs3,cs4,cs5,cs6,cs7, // sin/cos(N*fi)
  sn,sn2,sn3,sn4,sn5,sn6,sn7: float;
  sv: PVector; // colomn of free
  pH: PMatrix; // matrix

procedure Moderow(k:integer;pr:float);
begin
  pH^[k]^ [0] :=pH^[k]^ [0]+pr;
  pH^[k]^ [1] :=pH^[k]^ [1]+kc11(ro,cs)*pr;
  pH^[k]^ [2] :=pH^[k]^ [2]+ks11(ro,sn)*pr;
  pH^[k]^ [3] :=pH^[k]^ [3]+kc20(ro2)*pr;
  pH^[k]^ [4] :=pH^[k]^ [4]+kc22(ro2,cs2)*pr;
  pH^[k]^ [5] :=pH^[k]^ [5]+ks22(ro2,sn2)*pr;
  pH^[k]^ [6] :=pH^[k]^ [6]+kc31(ro,ro2,cs)*pr;
  pH^[k]^ [7] :=pH^[k]^ [7]+ks31(ro,ro2,sn)*pr;
  pH^[k]^ [8] :=pH^[k]^ [8]+kc33(ro,ro2,cs3)*pr;
  pH^[k]^ [9] :=pH^[k]^ [9]+ks33(ro,ro2,sn3)*pr;
  pH^[k]^ [10] :=pH^[k]^ [10]+kc40(ro2)*pr;
  pH^[k]^ [11] :=pH^[k]^ [11]+kc42(ro2,cs2)*pr;
  pH^[k]^ [12] :=pH^[k]^ [12]+ks42(ro2,sn2)*pr;

```

```

pH^ [k] ^ [13] :=pH^ [k] ^ [13]+kc44 (ro2 , cs4) *pr ;
pH^ [k] ^ [14] :=pH^ [k] ^ [14]+ks44 (ro2 , sn4) *pr ;
pH^ [k] ^ [15] :=pH^ [k] ^ [15]+kc51 (ro , ro2 , cs) *pr ;
pH^ [k] ^ [16] :=pH^ [k] ^ [16]+ks51 (ro , ro2 , sn) *pr ;
pH^ [k] ^ [17] :=pH^ [k] ^ [17]+kc53 (ro , ro2 , cs3) *pr ;
pH^ [k] ^ [18] :=pH^ [k] ^ [18]+ks53 (ro , ro2 , sn3) *pr ;
pH^ [k] ^ [19] :=pH^ [k] ^ [19]+kc55 (ro , ro2 , cs5) *pr ;
pH^ [k] ^ [20] :=pH^ [k] ^ [20]+ks55 (ro , ro2 , sn5) *pr ;
pH^ [k] ^ [21] :=pH^ [k] ^ [21]+kc60 (ro2) *pr ;
pH^ [k] ^ [22] :=pH^ [k] ^ [22]+kc62 (ro2 , cs2) *pr ;
pH^ [k] ^ [23] :=pH^ [k] ^ [23]+ks62 (ro2 , sn2) *pr ;
pH^ [k] ^ [24] :=pH^ [k] ^ [24]+kc64 (ro2 , cs4) *pr ;
pH^ [k] ^ [25] :=pH^ [k] ^ [25]+ks64 (ro2 , sn4) *pr ;
pH^ [k] ^ [26] :=pH^ [k] ^ [26]+kc66 (ro2 , cs6) *pr ;
pH^ [k] ^ [27] :=pH^ [k] ^ [27]+ks66 (ro2 , sn6) *pr ;
pH^ [k] ^ [28] :=pH^ [k] ^ [28]+kc71 (ro , ro2 , cs) *pr ;
pH^ [k] ^ [29] :=pH^ [k] ^ [29]+ks71 (ro , ro2 , sn) *pr ;
pH^ [k] ^ [30] :=pH^ [k] ^ [30]+kc73 (ro , ro2 , cs3) *pr ;
pH^ [k] ^ [31] :=pH^ [k] ^ [31]+ks73 (ro , ro2 , sn3) *pr ;
pH^ [k] ^ [32] :=pH^ [k] ^ [32]+kc75 (ro , ro2 , cs5) *pr ;
pH^ [k] ^ [33] :=pH^ [k] ^ [33]+ks75 (ro , ro2 , sn5) *pr ;
pH^ [k] ^ [34] :=pH^ [k] ^ [34]+kc77 (ro , ro2 , cs7) *pr ;
pH^ [k] ^ [35] :=pH^ [k] ^ [35]+ks77 (ro , ro2 , sn7) *pr ;
pH^ [k] ^ [36] :=pH^ [k] ^ [36]+kc80 (ro2) *pr ;
pH^ [k] ^ [37] :=pH^ [k] ^ [37]+kc82 (ro2 , cs2) *pr ;
pH^ [k] ^ [38] :=pH^ [k] ^ [38]+ks82 (ro2 , sn2) *pr ;
pH^ [k] ^ [39] :=pH^ [k] ^ [39]+kc84 (ro2 , cs4) *pr ;
pH^ [k] ^ [40] :=pH^ [k] ^ [40]+ks84 (ro2 , sn4) *pr ;
pH^ [k] ^ [41] :=pH^ [k] ^ [41]+kc86 (ro2 , cs6) *pr ;
pH^ [k] ^ [42] :=pH^ [k] ^ [42]+ks86 (ro2 , sn6) *pr ;
pH^ [k] ^ [43] :=pH^ [k] ^ [43]+kc91 (ro , ro2 , cs) *pr ;
pH^ [k] ^ [44] :=pH^ [k] ^ [44]+ks91 (ro , ro2 , sn) *pr ;
pH^ [k] ^ [45] :=pH^ [k] ^ [45]+kc93 (ro , ro2 , cs3) *pr ;
pH^ [k] ^ [46] :=pH^ [k] ^ [46]+ks93 (ro , ro2 , sn3) *pr ;
pH^ [k] ^ [47] :=pH^ [k] ^ [47]+kc95 (ro , ro2 , cs5) *pr ;
pH^ [k] ^ [48] :=pH^ [k] ^ [48]+ks95 (ro , ro2 , sn5) *pr ;
pH^ [k] ^ [49] :=pH^ [k] ^ [49]+kc100 (ro2) *pr ;
pH^ [k] ^ [50] :=pH^ [k] ^ [50]+kc102 (ro2 , cs2) *pr ;
pH^ [k] ^ [51] :=pH^ [k] ^ [51]+ks102 (ro2 , sn2) *pr ;
pH^ [k] ^ [52] :=pH^ [k] ^ [52]+kc104 (ro2 , cs4) *pr ;
pH^ [k] ^ [53] :=pH^ [k] ^ [53]+ks104 (ro2 , sn4) *pr ;
pH^ [k] ^ [54] :=pH^ [k] ^ [54]+kc111 (ro , ro2 , cs) *pr ;
pH^ [k] ^ [55] :=pH^ [k] ^ [55]+ks111 (ro , ro2 , sn) *pr ;
pH^ [k] ^ [56] :=pH^ [k] ^ [56]+kc113 (ro , ro2 , cs3) *pr ;
pH^ [k] ^ [57] :=pH^ [k] ^ [57]+ks113 (ro , ro2 , sn3) *pr ;
pH^ [k] ^ [58] :=pH^ [k] ^ [58]+kc120 (ro2) *pr ;
pH^ [k] ^ [59] :=pH^ [k] ^ [59]+kc122 (ro2 , cs2) *pr ;
pH^ [k] ^ [60] :=pH^ [k] ^ [60]+ks122 (ro2 , sn2) *pr ;
pH^ [k] ^ [61] :=pH^ [k] ^ [61]+kc131 (ro , ro2 , cs) *pr ;
pH^ [k] ^ [62] :=pH^ [k] ^ [62]+ks131 (ro , ro2 , sn) *pr ;
pH^ [k] ^ [63] :=pH^ [k] ^ [63]+kc140 (ro2) *pr ;
sv^ [k] :=sv^ [k]+wk*pr ;
end;

```

```

var
  mm,w0: float;

procedure FormMatrix;

  procedure MatrixMod(x,y:float);
  var
    a,r: float;
  begin
    r:=sqrt(sqr(x)+sqr(y));
    if ((r+pix)>H0) or ((r-pix)<Hv)) then
      exit;
    ro:=r/H0;
    ro2:=sqr(ro);
    if (x=0) or (r=0) then
      begin
        if y>=0 then
          a:=0
        else
          a:=pi;
        end
      else
        a:=arccos(y/r);
        if (x<0) then
          a:=-a;
        cs:=cos(a);
        sn:=sin(a);
        cs2:=cos(a*2);
        sn2:=sin(a*2);
        cs3:=cos(a*3);
        sn3:=sin(a*3);
        cs4:=cos(a*4);
        sn4:=sin(a*4);
        cs5:=cos(a*5);
        sn5:=sin(a*5);
        cs6:=cos(a*6);
        sn6:=sin(a*6);
        cs7:=cos(a*7);
        sn7:=sin(a*7);
        Moderow(0,1);
        Moderow(1,kc11(ro,cs));
        Moderow(2,ks11(ro,sn));
        Moderow(3,kc20(ro2));
        Moderow(4,kc22(ro2,cs2));
        Moderow(5,ks22(ro2,sn2));
        Moderow(6,kc31(ro,ro2,cs));
        Moderow(7,ks31(ro,ro2,sn));
        Moderow(8,kc33(ro,ro2,cs3));
        Moderow(9,ks33(ro,ro2,sn3));
        Moderow(10,kc40(ro2));
        Moderow(11,kc42(ro2,cs2));
        Moderow(12,ks42(ro2,sn2));
        Moderow(13,kc44(ro2,cs4));
        Moderow(14,ks44(ro2,sn4));

```

```

Moderow(15, kc51(ro, ro2, cs));
Moderow(16, ks51(ro, ro2, sn));
Moderow(17, kc53(ro, ro2, cs3));
Moderow(18, ks53(ro, ro2, sn3));
Moderow(19, kc55(ro, ro2, cs5));
Moderow(20, ks55(ro, ro2, sn5));
Moderow(21, kc60(ro2));
Moderow(22, kc62(ro2, cs2));
Moderow(23, ks62(ro2, sn2));
Moderow(24, kc64(ro2, cs4));
Moderow(25, ks64(ro2, sn4));
Moderow(26, kc66(ro2, cs6));
Moderow(27, ks66(ro2, sn6));
Moderow(28, kc71(ro, ro2, cs));
Moderow(29, ks71(ro, ro2, sn));
Moderow(30, kc73(ro, ro2, cs3));
Moderow(31, ks73(ro, ro2, sn3));
Moderow(32, kc75(ro, ro2, cs5));
Moderow(33, ks75(ro, ro2, sn5));
Moderow(34, kc77(ro, ro2, cs7));
Moderow(35, ks77(ro, ro2, sn7));
Moderow(36, kc80(ro2));
Moderow(37, kc82(ro2, cs2));
Moderow(38, ks82(ro2, sn2));
Moderow(39, kc84(ro2, cs4));
Moderow(40, ks84(ro2, sn4));
Moderow(41, kc86(ro2, cs6));
Moderow(42, ks86(ro2, sn6));
Moderow(43, kc91(ro, ro2, cs));
Moderow(44, ks91(ro, ro2, sn));
Moderow(45, kc93(ro, ro2, cs3));
Moderow(46, ks93(ro, ro2, sn3));
Moderow(47, kc95(ro, ro2, cs5));
Moderow(48, ks95(ro, ro2, sn5));
Moderow(49, kc100(ro2));
Moderow(50, kc102(ro2, cs2));
Moderow(51, ks102(ro2, sn2));
Moderow(52, kc104(ro2, cs4));
Moderow(53, ks104(ro2, sn4));
Moderow(54, kc111(ro, ro2, cs));
Moderow(55, ks111(ro, ro2, sn));
Moderow(56, kc113(ro, ro2, cs3));
Moderow(57, ks113(ro, ro2, sn3));
Moderow(58, kc120(ro2));
Moderow(59, kc122(ro2, cs2));
Moderow(60, ks122(ro2, sn2));
Moderow(61, kc131(ro, ro2, cs));
Moderow(62, ks131(ro, ro2, sn));
Moderow(63, kc140(ro2));
inc(NPoints);
end;

```

// формирование информационной матрицы для МНК

```

var

```

```

    i,j,m,n: integer;
    ww,x0: float;
begin
    for i:=0 to NpV-1 do
        begin
// коррекция начала BegPlsV и длины LenPlsV полос по уставке dend пользователя:
            m:=BegPlsV^[i]+dend;
            n:=LenPlsV^[i]-dend*2;
            if (m>0) and (n>0) then
// основной программный блок перевода кривизны полосы в фазу волновой ошибки:
                begin
                    x0:=plsX0[i]; // абсцисса максимума в середине полосы
                    for j:=m to m+n-1 do
                        if abs(MarkPlsV[i]^[j].a)>0.2 then // 0.2 - отсекающий порог для
краёв полос
                            begin
// вычисление искажения полосы и учет целочисленного приращения:
                                wk:=w0+(MarkPlsV[i]^[j].x-x0)*mm+i;
// формирование информационной матрицы относительно центра ИГ:
                                MatrixMod(MarkPlsV[i]^[j].x-xc,yc-MarkPlsV[i]^[j].y);
                            end;
                        end;
                    end;
                end;
end;

var
    i,j,o: integer;
    d0,di: float;
    csz: PVector;
    pp: PMatrix;
// структура волновой ошибки через полиномы Цернике:
{w=c00+c20+c40+c60+c80+c100+c120+c140+
    c11+c31+c51+c71+c91+c111+c131+ =sn1
    c22+c42+c62+c82+c102+c122+      =sn2
    c33+c53+c73+c93+c113+           =sn3
    c44+c64+c84+c104+               =sn4
    c55+c75+c95+                   =sn5
    c66+c86+                       =sn6
    c77                             =sn7
4:15,6:28,8:45,10:66,12:91,14:120 полиномов}
begin
    DimMatrix(pH,63,63);
    DimMatrix(pp,63,63);
    DimVector(sv,63);
    DimVector(csz,63);
    NPoints:=0;
    mm:=(nPolos-1)/2/H0; // цена полосы/мм
    w0:=mm*MarkPlsV[0]^[q].x; // начало отсчёта, «исходный нуль»
// формирование информационной матрицы
    FormMatrix;
// нормирование информационной матрицы
    for i:=0 to 63 do
        begin
            for j:=0 to 63 do
                pH^[i]^[j]:=pH^[i]^[j]/Npoints;
            end;
        end;
    end;
end;

```

```

    sv^[i]:=sv^[i]/Npoints;
end;
copyMatrix(pp,pH,0,0,63,63);
// вычисление детерминанта информационной матрицы
o:=GaussJordan(pp,0,63,63,d0);
if o<>MAT_OK then
begin
    showMessage('d0 invalid');
    exit;
end;
// определения коэффициентов полиномов
for i:=0 to 63 do
begin
    copyMatrix(pp,pH,0,0,63,63);
    copyColfromVector(pp,sv,0,63,i);
    o:=GaussJordan(pp,0,63,63,di);
    if o<>MAT_OK then
    begin
        showMessage('d'+inttostr(i)+' invalid');
        exit;
    end;
    csz^[i]:=di/d0;
end;
// коррекция коэффициентов с учётом весовых множителей:
c00:=csz^[0];
c11:=csz^[1]*2;
s11:=csz^[2]*2;
c20:=csz^[3]*sqrt(3);
c22:=csz^[4]*sqrt(6);
s22:=csz^[5]*sqrt(6);
c31:=csz^[6]*sqrt(8);
s31:=csz^[7]*sqrt(8);
c33:=csz^[8]*sqrt(8);
s33:=csz^[9]*sqrt(8);
c40:=csz^[10]*sqrt(5);
c42:=csz^[11]*sqrt(10);
s42:=csz^[12]*sqrt(10);
c44:=csz^[13]*sqrt(10);
s44:=csz^[14]*sqrt(10);
c51:=csz^[15]*sqrt(12);
s51:=csz^[16]*sqrt(12);
c53:=csz^[17]*sqrt(12);
s53:=csz^[18]*sqrt(12);
c55:=csz^[19]*sqrt(12);
s55:=csz^[20]*sqrt(12);
c60:=csz^[21]*sqrt(7);
c62:=csz^[22]*sqrt(14);
s62:=csz^[23]*sqrt(14);
c64:=csz^[24]*sqrt(14);
s64:=csz^[25]*sqrt(14);
c66:=csz^[26]*sqrt(14);
s66:=csz^[27]*sqrt(14);
c71:=csz^[28]*4;
s71:=csz^[29]*4;
c73:=csz^[30]*4;

```

```

s73:=csz^[31]*4;
c75:=csz^[32]*4;
s75:=csz^[33]*4;
c77:=csz^[34]*4;
s77:=csz^[35]*4;
c80:=csz^[36]*3;
c82:=csz^[37]*sqrt(18);
s82:=csz^[38]*sqrt(18);
c84:=csz^[39]*sqrt(18);
s84:=csz^[40]*sqrt(18);
c86:=csz^[41]*sqrt(18);
s86:=csz^[42]*sqrt(18);
c91:=csz^[43]*sqrt(20);
s91:=csz^[44]*sqrt(20);
c93:=csz^[45]*sqrt(20);
s93:=csz^[46]*sqrt(20);
c95:=csz^[47]*sqrt(20);
s95:=csz^[48]*sqrt(20);
c100:=csz^[49]*sqrt(11);
c102:=csz^[50]*sqrt(22);
s102:=csz^[51]*sqrt(22);
c104:=csz^[52]*sqrt(22);
s104:=csz^[53]*sqrt(22);
c111:=csz^[54]*sqrt(24);
s111:=csz^[55]*sqrt(24);
c113:=csz^[56]*sqrt(24);
s113:=csz^[57]*sqrt(24);
c120:=csz^[58]*sqrt(13);
c122:=csz^[59]*sqrt(26);
s122:=csz^[60]*sqrt(26);
c131:=csz^[61]*sqrt(28);
s131:=csz^[62]*sqrt(28);
c140:=csz^[63]*sqrt(15);
end;
DelMatrix(pH,63,63);
DelMatrix(pp,63,63);
DelVector(sv,63);
DelVector(csz,63);
end;

```

Найденные коэффициенты используются для вычисления зрачковой функции ОС:

```

procedure ZernPF;
var
  i,j,k,n,q,q2,q4,dend: integer;
  Hkn,Hkv,
  a,c,r,ro,ro2,cs,cs2,cs3,cs4,cs5,sn,sn2,sn3,sn4,sn5,cs6,cs7,kk,
  sn6,sn7,sw,wdf,wtt,ws,wk1,wk3,wa2,wa4,pf,mn,mx,da,iy,jz,y2: float;
begin
  q:=nSec;
  q2:=q div 2;
  q4:=q2 div 2;
  da:=H0/q4;

```

```

mx:=0;
mn:=0;
sw:=0;
n:=0;
dend:=paraCorrInt('pixEnd',frmMain.pixEnd_Edit.text);
Hkn:=H0-da*dend;
for i:=q4 to q4+q2-1 do
begin
  c:=q2-i;
  if c<0 then
    iy:=da*(c-0.5)
  else
    iy:=da*(c+0.5);
  y2:=sqr(iy);
  for j:=q4 to q4+q2-1 do
  begin
    c:=(q2-j);
    if c<0 then
      jz:=da*(c-0.5)
    else
      jz:=da*(c+0.5);
    r:=sqrt(sqr(jz)+y2);
    if (r<=Hkn) and (r>=Hv) then
    begin
      ro:=r/H0;
      ro2:=sqr(ro);
      if (jz=0) or (r=0) then
      begin
        if iy>=0 then
          a:=0
        else
          a:=pi;
      end
    else
      a:=arccos(iy/r);
    if (jz<0) then
      a:=-a;
    cs:=cos(a);
    sn:=sin(a);
    cs2:=cos(a*2);
    sn2:=sin(a*2);
    cs3:=cos(a*3);
    sn3:=sin(a*3);
    cs4:=cos(a*4);
    sn4:=sin(a*4);
    cs5:=cos(a*5);
    sn5:=sin(a*5);
    cs6:=cos(a*6);
    sn6:=sin(a*6);
    cs7:=cos(a*7);
    sn7:=sin(a*7);
    wdf:=C00+c20*kc20(ro2);
    wtt:=c11*kc11(ro,cs)+s11*ks11(ro,sn);
    ws:=c40*kc40(ro2)+c60*kc60(ro2)+c80*kc80(ro2)+

```

```

    c100*kc100(ro2)+c120*kc120(ro2)+c140*kc140(ro2);
wk1:=c31*kc31(ro,ro2,cs)+s31*ks31(ro,ro2,sn)+
    c33*kc33(ro,ro2,cs3)+s33*ks33(ro,ro2,sn3)+
    c51*kc51(ro,ro2,cs)+s51*ks51(ro,ro2,sn)+
    c53*kc53(ro,ro2,cs3)+s53*ks53(ro,ro2,sn3)+
    c55*kc55(ro,ro2,cs5)+s55*ks55(ro,ro2,sn5);
wk3:=c71*kc71(ro,ro2,cs)+s71*ks71(ro,ro2,sn)+
    c73*kc73(ro,ro2,cs3)+s73*ks73(ro,ro2,sn3)+
    c75*kc75(ro,ro2,cs5)+s75*ks75(ro,ro2,sn5)+
    c77*kc77(ro,ro2,cs7)+s77*ks77(ro,ro2,sn7)+
    c91*kc91(ro,ro2,cs)+s91*ks91(ro,ro2,sn)+
    c93*kc93(ro,ro2,cs3)+s93*ks93(ro,ro2,sn3)+
    c95*kc95(ro,ro2,cs5)+s95*ks95(ro,ro2,sn5)+
    c111*kc111(ro,ro2,cs)+s111*ks111(ro,ro2,sn)+
    c113*kc113(ro,ro2,cs3)+s113*ks113(ro,ro2,sn3)+
    c131*kc131(ro,ro2,cs)+s131*ks131(ro,ro2,sn);
wa2:=c22*kc22(ro2,cs2)+s22*ks22(ro2,sn2)+
    c42*kc42(ro2,cs2)+s42*ks42(ro2,sn2)+
    c44*kc44(ro2,cs4)+s44*ks44(ro2,sn4)+
    c62*kc62(ro2,cs2)+s62*ks62(ro2,sn2)+
    c64*kc64(ro2,cs4)+s64*ks64(ro2,sn4)+
    c66*kc66(ro2,cs6)+s66*ks66(ro2,sn6);
wa4:=c82*kc82(ro2,cs2)+s82*ks82(ro2,sn2)+
    c84*kc84(ro2,cs4)+s84*ks84(ro2,sn4)+
    c86*kc86(ro2,cs6)+s86*ks86(ro2,sn6)+
    c102*kc102(ro2,cs2)+s102*ks102(ro2,sn2)+
    c104*kc104(ro2,cs4)+s104*ks104(ro2,sn4);

```

// комплектации волновой ошибки из независимых составляющих:

```
pf:=wtt+wdf+ws+wk1+wa2+wk3+wa4;
```

// удаление составляющей по уставкам программы пользователя:

```

with frmMain do begin
    if dFAber_ChBx.State=cbChecked then
        pf:=pf-wdf;
    if SferAber_ChBx.State=cbChecked then
        pf:=pf-ws;
    if Kom1Aber_ChBx.State=cbChecked then
        pf:=pf-wk1;
    if Ast2Aber_ChBx.State=cbChecked then
        pf:=pf-wa2;
    if KomaVP_ChBx.State=cbChecked then
        pf:=pf-wk3;
    if AstVP_ChBx.State=cbChecked then
        pf:=pf-wa4;
    if TiltAber_ChBx.State=cbChecked then
        pf:=pf-wtt;
end;
PuplFn^[j+i*q]:=pf;
sw:=sw+sqr(pf);
inc(n);
if abs(pf)>abs(mx) then
    mx:=pf;
if abs(pf)<abs(mn) then
    mn:=pf;
end;

```

```
    end;
end;
sw:=sqrt(sw/n);
maxW:=mx-mn;
if maxW=0 then
    maxW:=1;
with frmMain do
begin
    dW_Ed.Text:=FormatFloat('0.000',sw*Lambda/2);
    Wmx_Ed.Text:=FormatFloat('0.000',maxW*Lambda/2);
end;
end;
```

III. ПРИЛОЖЕНИЯ

1. Литература

1. Апенко М. Прикладная оптика / М. Апенко, А. Дубовик. – М.: Наука, 1971.
2. Борн М. Основы оптики / М. Борн, Э. Вольф. – М.: Наука, 1975.
3. Гвоздева Н.П. Теория оптических систем и оптические измерения / Н.П. Гвоздева, К.И. Коркина. – М.: Машиностроение, 1981.
4. Чуриловский В.Н. Теория оптических приборов / В.Н. Чуриловский. – М.-Л.: Машиностроение, 1966.
5. Чуриловский В.Н. Теория хроматизма и aberrаций 3-го порядка / В.Н. Чуриловский. – Л.: Машиностроение, 1968.
6. Слюсарев Г.Г. Расчет оптических систем / Г.Г. Слюсарев. – Л.: Машиностроение, 1975.
7. Слюсарев Г.Г. О возможном и невозможном в оптике / Г.Г. Слюсарев. – Л.: Машиностроение, 1953.
8. Русинов М. Техническая оптика / М. Русинов. – Л.: Машиностроение, 1979.
9. Русинов М.М. Несферические поверхности в оптике / М.М. Русинов. – М.: Недра, 1973.
10. Проектирование оптических систем. Под ред Р. Шеннона и Дж. Вайанта. – М.: Мир, 1983.
11. Джерард А. Введение в матричную оптику / А. Джерард, Дж.Н. Берг. – М.: Мир, 1978.
12. Леонова В.Б. Автоматизация расчётов оптических систем / В.Б. Леонова. – М.: Машиностроение, 1970.
13. Михельсон Н.Н. Оптические телескопы / Н.Н. Михельсон. – М.: Наука, 1976.
14. Теребиж В.Ю. Современные оптические телескопы / В.Ю. Теребиж. – М.: ФизматГиз, 2005.
15. Волосов Д.С. Фотографическая оптика / Д.С. Волосов. – М.: Искусство, 1978.
16. Каширин В.И. Универсальная асферическая поверхность / В.И. Каширин. Деп. в ВИНТИ 26 дек. 1986, № 8358-84; РЖФиз. 1985. № 3. ЗЛ 570.

17. Попов Г.М. Современная астрономическая оптика / Г.М. Попов. – М.: Наука, 1988.
18. Сокольский М.Н. Допуски и качества оптического изображения / М.Н. Сокольский. - Ленинград; Машиностроение, 1989.
19. Каширин В.И. Основы формообразования оптических поверхностей : курс лекций / В.И. Каширин. – Екатеринбург: ГОУ ВПО УГТУ – УПИ, 2006.
20. Программа ROS#: разработка оптических систем. Справочное руководство к программе РОС / Екатеринбург, 2015.
21. Грамматин А.П. Компьютерное моделирование при изучении дисциплин, связанных с расчётом оптических систем: методические указания к лабораторным работам / А.П. Грамматин, Г.Э. Романова, Е.А. Цыганок. – СПб, 2011.
22. Грамматин А.П. Методы проектирования. Автоматизация проектирования оптических систем: методические указания к лабораторным работам / А.П. Грамматин, Г.Э. Романова. – СПб: СПбГУ ИТМО, 2008.
23. Грамматин А.П. Расчёт и автоматизация проектирования оптических систем: учебное пособие / А.П. Грамматин, Г.Э. Романова, О.Н. Балащенко. – СПб: НИУ ИТМО, 2013.

2. ROS#: программа РОС для пользователя.

Режим доступа: <https://yadi.sk/d/vviS6jkzxqKq4>

3. prjROS#: проект Delphi программы РОС с исходным программным кодом на языке Паскаль.

Режим доступа: <https://yadi.sk/d/MWrp88SiEGk-CA>

4. ostPRJ: проект Delphi программы ОСТ с исходным программным кодом на языке Паскаль.

Режим доступа: <https://yadi.sk/d/1CS-Wnihbgser>

5. ОСТ: программа «Тестирование Оптических Систем» для пользователя.

Режим доступа: <https://yadi.sk/d/8X5RQIGEcEmUX>

6. Delphi7Lite: дистрибутив среды программирования фирмы Borland.

Режим доступа: <https://yadi.sk/d/N4u6GIV23pgYs>